

11281

3



UNIVERSIDAD NACIONAL AUTONOMA  
DE MEXICO

FACULTAD DE MEDICINA  
DIVISION DE ESTUDIOS DE POSGRADO E INVESTIGACION

CARACTERIZACION DE LOS MECANISMOS DE  
MOVILIZACION DE CALCIO INTRACELULAR EN EL  
MUSCULO LISO DE LAS VIAS AEREAS

TESIS CON LA CUAL  
BLANCA MARGARITA BAZAN PERKINS  
SUSTENTARA EL GRADO DE  
DOCTOR EN CIENCIAS BIOMEDICAS  
ORIENTACION EN FARMACOLOGIA

CIUDAD DE MEXICO.

ENERO DEL 2001



**UNAM – Dirección General de Bibliotecas**

**Tesis Digitales**  
**Restricciones de uso**

**DERECHOS RESERVADOS ©**  
**PROHIBIDA SU REPRODUCCIÓN TOTAL O PARCIAL**

Todo el material contenido en esta tesis está protegido por la Ley Federal del Derecho de Autor (LFDA) de los Estados Unidos Mexicanos (Méjico).

El uso de imágenes, fragmentos de videos, y demás material que sea objeto de protección de los derechos de autor, será exclusivamente para fines educativos e informativos y deberá citar la fuente donde la obtuvo mencionando el autor o autores. Cualquier uso distinto como el lucro, reproducción, edición o modificación, será perseguido y sancionado por el respectivo titular de los Derechos de Autor.

*La presente tesis*

## **CARACTERIZACIÓN DE LOS MECANISMOS DE MOVILIZACIÓN DE CALCIO INTRACELULAR EN EL MÚSCULO LISO DE LAS VÍAS AÉREAS**

*Se realizó en los Departamentos de Investigación en Asma del Instituto Nacional de Enfermedades Respiratorias (INER) y de Farmacología de la Facultad de Medicina de la UNAM.*

*Bajo la dirección del:*

**Dr. Luis Manuel Montaño Ramírez**

*la asesoría de los miembros del comité tutorial:*

**Dr. Carlos Barajas López**

**Dra. María G. Campos Lara**

**Dr. Marco González Martínez**

**Dr. Agustín Guerrero Hernández**

*y defendida ante el Jurado formado por:*

**Dr. Fermín Valenzuela Gómez-Gallardo**

**Dr. Ignacio Camacho Arroyo**

**Dr. Luis Manuel Montaño Ramírez**

**Dr. Moisés Selman Lama**

**Dr. Luis Vaca Domínguez**

**Dr. Rafael Villalobos Molina**

**Dr. Marco González Martínez**

*Financiada con apoyos de:*

**Fundación UNAM**

**CONACYT 5076A1**

**El Instituto Mexicano del Seguro Social**

**La Dirección General de Asuntos del Personal Académico DGAPA IN201995**

**La Coordinación General de Estudios de Posgrado, Facultad de Medicina PADEP-012304**

**El Programa Universitario de Investigación en Salud PUIS-UNAM 394-446/17-X-94**

**El Departamento de Fisiología de la Universidad de Massachusetts**

## DEDICATORIA

*A Edgar y a mi pequeña y hermosa Mariana*

*A mis padres Marilyn y Sergio*

*A Víctor, Beto y Dale*

*A David Bazán, David Sánchez, Stefy y Any*

*Al Dr. Yamaguchi (q.e.p.d.)*

*A María Gracia Bellman, Angélica, Eduardo y Diego García, Lucrecia Gallegos, Jacqueline Blando, Vero López, Paty Campos, Lala y Mimi de Anda.*

*A los miembros del Departamento de Investigación en Asma del INER:  
Jaime, José Luis, Luis, Mario, Paty, Pitis y Vero.*

*Si el Señor no construye la casa,  
de nada sirve que trabajen los constructores;  
si el Señor no protege la Ciudad,  
de nada sirve que la vigilen los centinelas.  
De nada sirve trabajar de sol a sol  
y comer un pan ganado con dolor,  
cuando Dios lo da a sus amigos mientras duermen.*

*Salmo 127,1-2*

## AGRADECIMIENTOS

A Dios, mi padre espiritual y principal asesor científico.

A los perritos que me dieron lo más valioso.

Correspondo al pueblo de México, a la Universidad Nacional Autónoma de México, al Instituto Nacional de Enfermedades Respiratorias y al Instituto Mexicano del Seguro Social la oportunidad de realizar mis estudios de Doctorado que culminan con la realización de esta tesis.

Al Dr. Luis Manuel Montaño Ramírez por su disposición durante mi formación como Doctor y por su amistad.

A los Doctores María G. Campos, Carlos Barajas, Marco González, Agustín Guerrero, Fernán Valenzuela, Ignacio Camacho, Moisés Selman, Luis Vaca, Rafael Villalobos e Hiroshi Yamaguchi (†) les agradezco la orientación y las valiosas sugerencias aportadas durante el desarrollo del presente trabajo.

A Edgar por ser un excelente discípulador, asesor, amigo, técnico, colega y pareja.

A Mariana Sánchez Bazán por portarse tan bien mientras compartimos el trabajo de laboratorio.

A la Pitis, Jamito y Lala por preocuparse por mí y estar dispuestos a aconsejarme, a Vero por su inapreciable ayuda técnica y a la Paty y José Luis por su contagiable buen humor.

Al Sr. Eligio Torres y al personal de Transporte del INER por el suministro de las tráqueas de bovino, y al personal del Bioterio por su ayuda técnica.

## ÍNDICE

	Página
I. LISTA DE FIGURAS.....	1
II. LISTA DE TABLAS.....	III
III. LISTA DE ABREVIATURAS.....	IV
IV. RESUMEN.....	V
V. ABSTRACT.....	VIII
INTRODUCCIÓN.....	1
1. EL Ca <sup>2+</sup> EN LAS CÉLULAS DE MÚSCULO LISO DE LAS VÍAS AÉREAS (MLVA) .....	2
El Ca <sup>2+</sup> extracelular.....	2
Entrada capacitativa de Ca <sup>2+</sup> .....	3
El Ca <sup>2+</sup> intracelular.....	4
Regulación de las [Ca <sup>2+</sup> ]i.....	5
Decremento de las [Ca <sup>2+</sup> ]i después de retirar los agonistas que movilizan Ca <sup>2+</sup> del retículo sarcoplasmico (RS). El undershoot..	6
2. LA CONTRACCIÓN DEL BRONQUIO COMPLETO Y DE LAS TIRAS DE MLVA.....	7
La contracción sostenida en el MLVA.....	7
La contracción sostenida en el MLVA en un medio sin Ca <sup>2+</sup> .....	8
Los canales tipo L en la contracción sostenida del MLVA en un medio sin Ca <sup>2+</sup> .....	8
HIPOTESIS .....	10
OBJETIVOS.....	11
MÉTODOS.....	12
ESTUDIOS EN CÉLULAS AISLADAS DE MLVA DE BOVINO.....	12
Obtención de miocitos traqueales .....	12
Determinación del Ca <sup>2+</sup> citosólico. ....	13
A) Fura-2.....	13
B) Determinación de las [Ca <sup>2+</sup> ]i con Fura-2 .....	14
C) Experimentos.....	15
ESTUDIOS <i>in vitro</i> EN MLVA DE BOVINO Y PERRO.....	17
Preparación del tejido de bovino. mediciones simultáneas de contracción y Ca <sup>2+</sup> intracelular .....	17
Preparación del tejido de perro.....	18
Contracción producida por el carbacol y la histamina en un medio sin Ca <sup>2+</sup> .....	19
Efecto de los inhibidores de la PKC en la contracción sostenida en medio sin Ca <sup>2+</sup> .....	21
Análisis estadístico .....	22
Farmacos .....	22
1) Acetilcolina .....	22
2) Ácido ciclopiazónico .....	23

3. Benzamil amilorida.....	23
4. Cafeína.....	24
5. Calfostina C.....	24
6. Cheleritrina..	25
7. Estaurosporina.....	25
8. Forskolina.....	26
9. Histamina.....	26
10. Metoxiverapamil.....	27
11. Nifedipina ..	27
<b>RESULTADOS.....</b>	<b>28</b>
<b>ESTUDIOS EN CÉLULAS AISLADAS DE ML TRAQUEAL DE BOVINO.</b>	
Efecto del contenido de $\text{Ca}^{2+}$ del RS en la basal de $\text{Ca}^{2+}$ citosólico .....	28
Contenido de $\text{Ca}^{2+}$ en el RS durante la incubación con cafeína.....	29
El <i>undershoot</i> producido después de retirar la cafeína. ....	31
Efecto del $\text{Ca}^{2+}$ extracelular en el <i>undershoot</i> .....	32
Papel de los canales tipo L y el intercambiador $\text{Na}^+/\text{Ca}^{2+}$ en el <i>undershoot</i> .....	33
Efecto de magnesio, lantano y níquel en el <i>undershoot</i> .....	35
Efecto del contenido de $\text{Ca}^{2+}$ del RS en la entrada de $\text{Ca}^{2+}$ extracelular	38
Efecto del magnesio, lantano y níquel en la entrada de $\text{Ca}^{2+}$ extracelular en células con el RS vacío.....	40
<b>ESTUDIOS <i>in vitro</i> EN EL ML TRAQUEAL DE BOVINO.....</b>	<b>42</b>
Registro simultáneo de los cambios en el $\text{Ca}^{2+}$ citosólico y la contracción de tiras de ML de bovino.....	42
<b>ESTUDIOS <i>in vitro</i> EN LAS TIRAS DE ML Y ANILLOS BRONQUIALES</b>	
DE PERRO .....	44
Respuestas de las tiras de ML y de los anillos bronquiales al carbacol y la histamina.....	44
Efecto de la PKC en la contracción de los anillos bronquiales inducida por carbacol y por histamina en medio sin $\text{Ca}^{2+}$ .....	47
<b>DISCUSIÓN... ..</b>	<b>48</b>
Parte I: Regulación de las $[\text{Ca}^{2+}]_i$ en las células aisladas de MLVA.....	48
La recuperación del <i>undershoot</i> .. .. .. ..	50
Regulación de la entrada de $\text{Ca}^{2+}$ por el contenido de $\text{Ca}^{2+}$ del RS .. .	53
Parte II: Almacenes membranales de $\text{Ca}^{2+}$ .....	56
<b>PERSPECTIVAS.....</b>	<b>62</b>
<b>REFERENCIAS.....</b>	<b>64</b>
<b>ANEXO I Artículo. Involvement of different <math>\text{Ca}^{2+}</math> pools during the canine bronchial         sustained contraction in <math>\text{Ca}^{2+}</math> free medium. Lack of effect of PKC         inhibition...</b>	<b>74</b>
<b>ANEXO II Artículo. Sarcoplasmic reticulum <math>\text{Ca}^{2+}</math> depletion by caffeine and changes         of <math>[\text{Ca}^{2+}]_i</math> during refilling in bovine smooth muscle cells.</b>	<b>75</b>

## I. LISTA DE FIGURAS

	Página
<b>Figura 1</b> Moléculas de Fura-2/AM y Fura-2 ácido.....	14
<b>Figura 2</b> Molécula de carbacol .....	22
<b>Figura 3</b> Molécula de ácido ciclopiazónico.....	23
<b>Figura 4</b> Molécula de benzamil amilorida.....	23
<b>Figura 5</b> Molécula de cafeína.....	24
<b>Figura 6</b> Molécula de calfostina C.....	24
<b>Figura 7</b> Molécula de cheleritrina.....	25
<b>Figura 8</b> Molécula de estaurosporina.....	25
<b>Figura 9</b> Molécula de forskolina.....	26
<b>Figura 10</b> Molécula de histamina.....	26
<b>Figura 11</b> Molécula de metoxiverapamul.....	27
<b>Figura 12</b> Molécula de nifedipina.....	27
<b>Figura 13</b> Dependencia del contenido de $\text{Ca}^{2+}$ del RS en el decremento de las $[\text{Ca}^{2+}]_i$ basales de células aisladas de ML traqueal de bovino incubadas en medio sin $\text{Ca}^{2+}$ .....	28
<b>Figura 14</b> Registro original del efecto del vaciado de los almacenes de $\text{Ca}^{2+}$ sensibles a cafeína en la respuesta carbacol en una célula aislada de ML traqueal de bovino.....	29
<b>Figura 15</b> Registros originales del efecto de la cafeína y la forskolina en la respuesta de contracción inducida por KCl en tiras de ML traqueal y en la movilización de $\text{Ca}^{2+}$ de células de ML traqueal estimuladas con carbacol. ....	30
<b>Figura 16</b> Registro original del efecto de la cafeína en los niveles de $[\text{Ca}^{2+}]_i$ de células aisladas de ML traqueal de bovino.....	31
<b>Figura 17</b> Efecto del $\text{Ca}^{2+}$ extracelular en la recuperación del <i>undershoot</i> y en la respuesta a cafeína de células aisladas de ML traqueal de bovino.....	32
<b>Figura 18</b> Registro original del efecto del benzamil amilorida en el incremento de las $[\text{Ca}^{2+}]_i$ producida por la reversión del intercambiador $\text{Na}^+/\text{Ca}^{2+}$ en células aisladas de ML traqueal de bovino. ....	33
<b>Figura 19</b> Registro original del efecto del magnesio en el <i>undershoot</i> generado por el lavado de cafeína en células aisladas de ML traqueal de bovino .....	35
<b>Figura 20</b> Efecto del lanthanio en el <i>undershoot</i> generado por el lavado de	

Figura 21	cafeína en células aisladas de ML traqueal de bovino .. . . . .	36
Figura 22	Curso temporal de efecto del níquel en la basal de $[Ca^{2+}]_i$ en una célula aislada de ML traqueal de bovino..... . . . . .	37
Figura 23	Efecto del níquel en la respuesta a cafeína y el <i>undershoot</i> en células aisladas de ML traqueal de bovino..... . . . . .	38
Figura 24	Efecto del contenido de $Ca^{2+}$ del RS en la recuperación de los niveles basales de $[Ca^{2+}]_i$ en células aisladas de ML traqueal de bovino... . . . . .	39
Figura 25	Efecto del magnesio y el lantano en la entrada de $Ca^{2+}$ extracelular después de vaciar el contenido de $Ca^{2+}$ del RS con estimulaciones con cafeína en medio sin $Ca^{2+}$ en células de ML traqueal de bovino .. . . . .	40
Figura 26	Efecto del níquel en la recuperación de los niveles basales de $[Ca^{2+}]_i$ después de incubar en medio sin $Ca^{2+}$ a células aisladas de ML traqueal de bovino..... . . . . .	41
Figura 27	Trazos representativos de las respuestas producidas por carbacol en una célula aislada y una tira de ML traqueal de bovino .. . . . .	42
Figura 28	Trazos representativos de las respuestas producidas por histamina en una célula aislada y una tira de ML traqueal de bovino..... . . . . .	43
Figura 29	Estimulaciones repetidas con carbacol o histamina en los anillos bronquiales y en tiras de ML de perro en medio sin $Ca^{2+}$ .. . . . .	44
Figura 30	Efecto del $Ca^{2+}$ del RS en las respuestas al carbacol y la histamina, y el $Ca^{2+}$ membranal en las respuestas de histamina en el bronquio de perro..... . . . . .	45
Figura 31	Efecto de la preincubación con nifedipina en la contracción sostenida de los anillos bronquiales inducida por histamina en medio sin $Ca^{2+}$ ..... . . . . .	46
	Efectos de la calfostina C, la estaurosporina y la cheleritrina en la contracción sostenida de los anillos bronquiales inducida por carbacol e histamina en medio sin $Ca^{2+}$ .. . . . .	47

## **II. LISTA DE TABLAS**

	Página
<b>Tabla 1</b> Efecto de la estimulación sucesiva con histamina de los anillos bronquiales de perro.....	20
<b>Tabla 2</b> Efecto de la preincubación de los inhibidores de la PKC en la respuesta a KCl 60 mM en medio con Ca <sup>2+</sup> .....	21
<b>Tabla 3</b> Efecto de la inhibición de los canales de Ca <sup>2+</sup> sensibles a voltaje y de la reversión del intercambiador Na <sup>+</sup> /Ca <sup>2+</sup> en el <i>undershoot</i> generado al lavar cafeína en células de ML traqueal de bovino..	34
<b>Tabla 4</b> Efecto de la inhibición del intercambiador Na <sup>+</sup> /Ca <sup>2+</sup> con benzamil amilorida en el <i>undershoot</i> generado al lavar cafeína.. ..	34

### III. LISTA DE ABREVIATURAS

[Ca <sup>2+</sup> ]i	Concentración de calcio libre intracelular
μM	Micromolar
ACP	Ácido ciclopiazónico
ADN	Ácido desoxirribonucleico
ADNasa	Ácido desoxirribonucleasa
AMPc	Monofosfato de adenosina cíclica
ATP	Adenosintrifosfato
ATPasa	Adenosintrifosfatasa
BASA	Barrera superficial amortiguadora de calcio
Ca <sup>2+</sup>	Calcio
CaCl <sub>2</sub>	Cloruro de calcio
Cal	Calfostina C
Cch	Carbacol
CE <sub>50</sub>	Concentración efectiva 50%
Che	Chelertrina
cm	Centímetro
CO <sub>2</sub>	Bióxido de carbono
D600	Metoxiverapamil
DV	Canales de calcio dependientes de voltaje
EGTA	Etilen glicol-bis(β-aminoetil eter) N,N,N',N' ácidotetraacético
Fig.	Figura
Fura-2/AM	Fura-2 con grupo acetoximetilo
g	Gramos
h	Hora
His	Histamina
IC	Concentración inhibitoria
I <sub>CRAC</sub>	Corriente de Ca <sup>2+</sup> activada por el vaciado del retículo sarcoplásmico <i>(Ca<sup>2+</sup> release-activated Ca<sup>2+</sup> current)</i>
IP <sub>3</sub>	Inositol 1,4,5 trifosfato
iv	Intravenoso
KCl	Cloruro de potasio
Kd	Constante de disociación
kDa	Kilodatons
Kg	Kilogramo
KH <sub>2</sub> PO <sub>4</sub>	Fosfato de potasio monobásico
KRH	Krebs-Ringer-Henseleit
M	Molar
mg	Miligramo
MgCl <sub>2</sub>	Cloruro de magnesio
MgSO <sub>4</sub> .7H <sub>2</sub> O	Sulfato de magnesio heptahidratado

<b>min</b>	Minutos
<b>ml</b>	Mililitro
<b>ML</b>	Músculo liso
<b>MLVA</b>	Músculo liso de las vías aéreas
<b>mm</b>	Milímetro
<b>mM</b>	Milimolar
<b>Na<sup>+</sup></b>	Sodio
<b>Na<sub>2</sub>CO<sub>3</sub></b>	Carbonato de sodio
<b>NaCl</b>	Cloruro de sodio
<b>NaH<sub>2</sub>PO<sub>4</sub>·H<sub>2</sub>O</b>	Fosfato de sodio monobásico y monohidratado
<b>NaHCO<sub>3</sub></b>	Bicarbonato de sodio
<b>Nif</b>	Nifedipina
<b>nM</b>	Nanomolar
<b>nm</b>	Nanómetros
<b>OR</b>	Canales catiónicos inespecíficos operados por receptor
<b>PDB</b>	4-β-forbol 12,13-dibutirato
<b>PKC</b>	Cinasa de proteína C
<b>PMCA</b>	Bomba de calcio de la membrana plasmática <i>(Plasma membrane calcium ATPase)</i>
<b>PTI</b>	<i>Photon Technology International</i>
<b>R</b>	Cociente 340nm/380nm
<b>R<sub>max</sub></b>	Cociente 340nm/380nm en presencia de calcio saturante y ionomicina.
<b>R<sub>min</sub></b>	Cociente 340nm/380nm en ausencia de calcio + EGTA
<b>RS</b>	Retículo sarcoplásmico
<b>s</b>	Segundos
<b>SERCA</b>	Bomba de calcio del retículo sarcoplásmico <i>(Sarco-endoplasmic reticulum Ca<sup>2+</sup>-ATPase)</i>
<b>St</b>	Estaurosporina
<b>U</b>	Unidades de proteína

#### IV. RESUMEN

El Ca<sup>2+</sup> es uno de los principales mensajeros celulares de la contracción del músculo liso de las vías aéreas (MLVA). Este catión se almacena primordialmente en el retículo sarcoplasmico (RS). Recientemente se ha descrito que cuando se vacía el contenido de Ca<sup>2+</sup> del RS, se induce la entrada de este catión a la célula hasta llenar el almacén. Este fenómeno es conocido como "Entrada capacitativa de Ca<sup>2+</sup>". Una maniobra que permite el vaciado del Ca<sup>2+</sup> del RS en el MLVA es la adición de cafeína. Se ha observado que cuando se retira esta xantina del medio, se decrementa transitoriamente la concentración de Ca<sup>2+</sup> libre intracelular ([Ca<sup>2+</sup>]<sub>i</sub>). Este decremento transitorio es denominado *undershoot*. Nuestro objetivo inicial fue determinar si durante la fase de recuperación de las [Ca<sup>2+</sup>]<sub>i</sub> durante el *undershoot* se producía la entrada capacitativa de Ca<sup>2+</sup> en las células de MLVA. Se utilizaron células de músculo liso traqueal de bovino disgregadas por digestión enzimática. El Ca<sup>2+</sup> intracelular de las células aisladas se determinó mediante la técnica de microfluorescencia utilizando Fura-2/AM como marcador fluorescente. La adición de cafeína (10 mM) produjo un incremento transitorio de las [Ca<sup>2+</sup>]<sub>i</sub> y en presencia de esta xantina el carbacol (10 μM) no indujo respuesta. Comprobamos que este bloqueo se debió principalmente a que el RS se encontraba vacío. El lavado de la cafeína indujo siempre un decremento transitorio de las [Ca<sup>2+</sup>]<sub>i</sub>, i.e. un *undershoot*. La recuperación de las [Ca<sup>2+</sup>]<sub>i</sub> basales durante el *undershoot* fue inhibida en medio sin Ca<sup>2+</sup>. Adicionalmente, el *undershoot* no fue modificado cuando las células fueron depolarizadas con alto KCl, ni cuando se inhibieron los canales tipo L con D600 (30 μM) o el intercambiador Na<sup>+</sup>/Ca<sup>2+</sup> con benzamil amilorida (25 μM), ni con la adición de lantano (200 μM) o magnesio (4 mM). Con respecto al níquel (1 mM), este metal produjo un decremento de las [Ca<sup>2+</sup>]<sub>i</sub> hasta crear un nuevo estado basal de las [Ca<sup>2+</sup>]<sub>i</sub> y del RS. En estas condiciones, el níquel inhibió la fase de recuperación de las [Ca<sup>2+</sup>]<sub>i</sub> del *undershoot*.

Por otro lado, la incubación de las células con medio sin Ca<sup>2+</sup> produjo un decremento pasivo de las [Ca<sup>2+</sup>]<sub>i</sub> y fue mayor cuando se incubó previamente con cafeína (10 mM). Adicionalmente, los registros con níquel (1 mM) mostraron que, durante el reposo, en estas células se produce una importante entrada pasiva de Ca<sup>2+</sup>. Despues de incubar en medio sin Ca<sup>2+</sup>, la reincorporación de este catión al medio de perfusión generó la recuperación de las [Ca<sup>2+</sup>]<sub>i</sub> basales, y la velocidad de esta recuperación no dependió del contenido de Ca<sup>2+</sup> en el RS. Sin embargo cuando el RS se encontraba vacío, esto es cuando la cafeína no producía respuesta (10 min en medio sin Ca<sup>2+</sup>), la recuperación fue más rápida. Esta recuperación rápida no fue inhibida con lantano (0.2 mM) ni con magnesio (1 mM) o por la despolarización de las células con alto KCl. De esta primera parte del trabajo

se sugiere que el contenido de  $\text{Ca}^{2+}$  del RS no regula la velocidad del flujo de  $\text{Ca}^{2+}$  a través de la membrana plasmática; sin embargo este flujo es incrementado solo cuando el RS estaba prácticamente vacío. Adicionalmente se propone que los canales involucrados en la entrada capacitativa de  $\text{Ca}^{2+}$  en estas células son insensibles al lantano y al magnesio.

Con respecto a la recuperación del *undershoot*, se observó que no depende de los canales dependientes de voltaje ni del intercambiador  $\text{Na}^+/\text{Ca}^{2+}$ , ni es sensible al lantano ni al magnesio pero es sensible al níquel.

En una segunda parte del proyecto, exploramos la funcionalidad de un posible almacén membranal de  $\text{Ca}^{2+}$ . Este proyecto se llevó a cabo evaluando la contracción en anillos bronquiales de perro, ya que no fue posible obtenerlos de bovino. La contracción producida en anillos de bronquios de tercera generación y en tiras de músculo liso de bronquios de primera generación de perro fueron sostenidas en medio con  $\text{Ca}^{2+}$  (2.5 mM). En medio sin  $\text{Ca}^{2+}$  se observaron dos patrones de contracción: uno sostenido en los anillos bronquiales, aunque de menor magnitud que en medio con  $\text{Ca}^{2+}$  y otro transitorio en las tiras de músculo liso. En los anillos bronquiales, observamos que después del vaciado de los almacenes sensibles a histamina (10  $\mu\text{M}$ ) en medio sin  $\text{Ca}^{2+}$ , el carbachol (0.42  $\mu\text{M}$ ) aún produjo una respuesta sostenida cercana al 50% de su respuesta inicial y fue inhibida con un bloqueador de la bomba de  $\text{Ca}^{2+}$  del RS, el ácido ciclopiazónico (10  $\mu\text{M}$ , ACP). La primer contracción sostenida inducida por histamina en los anillos bronquiales en medio sin  $\text{Ca}^{2+}$  fue inhibida con nifedipina (1  $\mu\text{M}$ ) y por altas concentraciones de EGTa (1 mM). Ninguna de las respuestas al carbachol o la histamina en medio sin  $\text{Ca}^{2+}$  fue afectada por los inhibidores de la cinasa de proteína C (PKC), cheleritrina, estaurosporina o calfostina C. Con estos resultados se concluyó que la contracción bronquial sostenida en medio sin  $\text{Ca}^{2+}$  es independiente de la actividad de la PKC, y el  $\text{Ca}^{2+}$  necesario para la respuesta inducida por carbachol proviene de dos fuentes, la sensible al ACP, el RS, y una fuente de la membrana plasmática sensible a 1 mM de EGTa, posiblemente las caveolae y el glicocalix. La histamina aparentemente sólo moviliza  $\text{Ca}^{2+}$  de la fuente de  $\text{Ca}^{2+}$  de la membrana plasmática, a través de los canales de  $\text{Ca}^{2+}$  tipo L. Finalmente, en este proyecto no se pudo corroborar la posible existencia de un almacén de membrana que pudiese participar durante el *undershoot* en las células disgregadas de bovino, pues este almacén pierde su funcionalidad cuando se disecan las estructuras adyacentes al músculo liso como el cartílago y el tejido conectivo.

## V. ABSTRACT

$\text{Ca}^{2+}$  is an essential messenger involved in airway smooth muscle (ASM) contraction. This cation is mainly stored in the sarcoplasmic reticulum (SR) from the cell. Recently, it has been described that when the SR- $\text{Ca}^{2+}$  content was empty, a  $\text{Ca}^{2+}$  entry pathway is opened until the store is refilled. This phenomenon is known as "Capacitative  $\text{Ca}^{2+}$  entry". Caffeine removes  $\text{Ca}^{2+}$  from SR and the xantine washout generates a fast decrease in the intracellular free  $\text{Ca}^{2+}$  concentration ( $[\text{Ca}^{2+}]_i$ ) followed by a slow recovery to resting values, this phenomenon is known as "undershoot". The first objective of this work was to evaluate if capacitive  $\text{Ca}^{2+}$  entry is involved in the  $\text{Ca}^{2+}$  undershoot induced by caffeine washout. ASM cells from fresh bovine trachea were disaggregated by enzymatic digestion. ( $[\text{Ca}^{2+}]_i$  from isolated cells were recorded by microfluorescence with Fura-2 AM as fluorescence dye. Caffeine (10 mM) produced a transient increase of  $[\text{Ca}^{2+}]_i$  and blocked the carbachol (10  $\mu\text{M}$ ) response. This blockade is a consequence of SR- $\text{Ca}^{2+}$  depletion. The caffeine washout always induced a  $\text{Ca}^{2+}$  undershoot. The  $[\text{Ca}^{2+}]_i$  recovery during the undershoot was inhibited by  $\text{Ca}^{2+}$ -free medium. Additionally,  $\text{Ca}^{2+}$  undershoot was not modified by high KCl-induced depolarization, neither by the inhibition of the L-type channels with D600 (30  $\mu\text{M}$ ) or the  $\text{Na}^+/\text{Ca}^{2+}$  exchanger with benzamil amiloride (25  $\mu\text{M}$ ), nor with lanthanum (0.2 mM) or magnesium (4 mM). Nickel (1 mM) induced a decrease of  $[\text{Ca}^{2+}]_i$  until a new cytosolic  $\text{Ca}^{2+}$  baseline was reached. In these conditions, nickel inhibited the  $\text{Ca}^{2+}$  undershoot recovery.

On the other hand,  $\text{Ca}^{2+}$ -free medium induced a passive decrease of  $[\text{Ca}^{2+}]_i$  that was accelerated by a previous caffeine (10 mM) incubation. Additionally, nickel (1 mM) reduced the basal  $[\text{Ca}^{2+}]_i$  showing that an important passive  $\text{Ca}^{2+}$  entry exists in ASM cells. After  $\text{Ca}^{2+}$ -free medium incubation,  $\text{Ca}^{2+}$  back (2 mM) generates the recovery of the  $[\text{Ca}^{2+}]_i$  baseline. This recovery rate did not depend on SR- $\text{Ca}^{2+}$  content, but when the SR was depleted of its  $\text{Ca}^{2+}$  content by incubating the cells in  $\text{Ca}^{2+}$ -free medium for 10 min, the  $\text{Ca}^{2+}$  undershoot recovery was accelerated. This accelerated recovery was not modified by lanthanum (0.2 mM) neither by magnesium (4 mM) nor

by depolarization with high KCl. This first part of the study suggests that SR-Ca<sup>2+</sup> content does not regulate the Ca<sup>2+</sup> influx rate. However, Ca<sup>2+</sup> influx increases only when the SR was empty. Additionally, the capacitative Ca<sup>2+</sup> entry is not sensitive to lanthanum or magnesium in these cells

In relation to Ca<sup>2+</sup> undershoot recovery, this phenomenon was independent of the voltage operated Ca<sup>2+</sup> channels and the Na<sup>+</sup>/Ca<sup>2+</sup> exchanger; also it was insensitive to lanthanum and magnesium but was sensitive to nickel.

In the second part of the project, it was explored the possible existence of a membrane Ca<sup>2+</sup> store. In this study we measured contraction in canine bronchial rings. The contraction of third order bronchial rings and smooth muscle strips from first order bronchial were always sustained in Ca<sup>2+</sup> containing medium. There were two patterns of contraction in Ca<sup>2+</sup>-free medium: a sustained response in bronchial rings and a transient contraction in smooth muscle strips. In bronchial rings, after depleting the histamine (10 μM) sensitive Ca<sup>2+</sup> stores in Ca<sup>2+</sup>-free medium, carbachol (0.42 μM) still induced a sustained contraction that reached 50% of the initial response in Ca<sup>2+</sup>-free medium; this response was inhibited by the SR-Ca<sup>2+</sup> pump blocker cyclopiazonic acid (10 μM, ACP). Also, nifedipine (1 μM) and high levels of EGTA (1 mM) inhibited the first sustained contraction induced by histamine in Ca<sup>2+</sup>-free medium. Protein kinase C (PKC) inhibitors, chelethrone (0.66 μM), staurosporine (10 nM) and calphostine C (1 μM) did not modify the first response to carbachol or histamine in Ca<sup>2+</sup>-free medium. In conclusion, the bronchial rings sustained contraction in Ca<sup>2+</sup>-free medium is independent of PKC activity; carbachol mobilizes Ca<sup>2+</sup> from two different sources: from ACP-sensitive one, the SR, and an additional source from extracellular membrane stores sensitive to high EGTA concentrations, the caveolae. Histamine only mobilizes Ca<sup>2+</sup> from the extracellular membrane store and this source is L-type Ca<sup>2+</sup> channels dependent. Finally, it was not possible to evaluate if the extracellular membrane Ca<sup>2+</sup> store participates in Ca<sup>2+</sup> undershoot after caffeine washout because its functionality was lost when ASM was dissected from adjacent structures as cartilage and epithelium

## INTRODUCCIÓN

Hace más de un siglo Sidney Ringer demostró la importancia del calcio ( $\text{Ca}^{2+}$ ) como regulador de la contracción muscular cardiaca. Desde entonces se ha descubierto que este catión participa como mensajero en los procesos fisiológicos de las células, incluyendo al músculo liso de las vías aéreas (MLVA). Este músculo, constituyente de la tráquea y los bronquios, mantiene bajas concentraciones de  $\text{Ca}^{2+}$  libre intracelular ( $[\text{Ca}^{2+}]_i$ ) en reposo (Kajita y Yamaguchi, 1993). Cuando el MLVA es estimulado por agonistas que inducen contracción, las  $[\text{Ca}^{2+}]_i$  se incrementan induciendo la interacción de la calmodulina con la subunidad catalítica de la cinasa de la cadena ligera de miosina. La formación del complejo  $\text{Ca}^{2+}$ -calmodulina-cinasa de la cadena ligera de miosina permite la fosforilación de la cadena ligera de miosina en la serina 19. Esta fosforilación produce una cadena de eventos que inician con la activación de la adenosintrifosfatasa (ATPasa) de miosina, facilitando la interacción de los filamentos de actina y miosina, iniciando el desarrollo de tensión muscular (Giembycz y Raeburn, 1992; Rodger, 1985). Cuando el  $\text{Ca}^{2+}$  disminuye, la cinasa de la cadena ligera de miosina se inactiva, la miosina se desfosforila y el músculo se relaja. El  $\text{Ca}^{2+}$  es entonces un mensajero capaz de iniciar las señales en cascada involucradas en la contracción del MLVA y en este trabajo se mostrarán los resultados de la investigación sobre algunos mecanismos que regulan a este ión en tres preparaciones de MLVA y provenientes de dos especies diferentes.

## 1. EL Ca<sup>2+</sup> EN LAS CÉLULAS DE MLVA

En 1994 Somlyo y Somlyo propusieron dos mecanismos de ensamble entre las diferentes fuentes de Ca<sup>2+</sup> y la contracción muscular conocidos como acoplos fármaco- y electromecánicos. El acople **farmacomecánico** depende de mecanismos de señalización celular que involucra a los segundos mensajeros, mientras que el **electromecánico** obedece a cambios en el potencial de membrana que generan la entrada de Ca<sup>2+</sup> a la célula. Ambos acoplos coinciden en el incremento de las [Ca<sup>2+</sup>]<sub>i</sub> para inducir contracción.

### EL Ca<sup>2+</sup> EXTRACELULAR

En las células de MLVA el gradiente de Ca<sup>2+</sup> es 20,000 veces mayor en el medio extracelular en comparación al intracelular. Este gradiente facilita la entrada de Ca<sup>2+</sup> cuando canales como los catiónicos inespecíficos **operados por receptor** (OR) y los canales de Ca<sup>2+</sup> tipo L (alto umbral, i.e., se activan a -35 mV) y T (bajo umbral, i.e., se activan a -60 mV) **dependientes de voltaje** (DV) se abren (Kotlikoff, 1988; Janssen, 1997). En el MLVA los diferentes tipos de canales OR están acoplados, en su mayoría, a un sistema de segundos mensajeros y sus principales agonistas son la acetilcolina, la histamina, los leucotrienos y los tromboxanos (Barnes, 1998; Cuthbert y col., 1994). Los canales DV, L y T, se activan cuando las células se despolarizan y se desactivan por repolarización o hiperpolarización. Los tipo L también se inactivan cuando las [Ca<sup>2+</sup>]<sub>i</sub> se incrementan (Wade y col., 1996). Janssen (1996) observó que el potencial de membrana del MLVA en el perro depende de la permeabilidad al potasio y el decremento de la conductancia de este ion facilita la despolarización.

Las corrientes de potasio y cloro pueden activarse por el incremento de las [Ca<sup>2+</sup>]<sub>i</sub> durante la excitación del MLVA (Janssen y Sims, 1993) y se ha observado que ambas corrientes son hiperpolarizantes e inhiben a la excitación del MLVA (Janssen, 1996; Janssen y col., 1998). Adicionalmente, existen otras subpoblaciones de canales de potasio como el rectificador tardío que se activa transitoriamente durante la despolarización y que también

juega un papel importante en la disminución de la excitabilidad del MLVA (Waldron y col., 1998).

#### ENTRADA CAPACITATIVA DE Ca<sup>2+</sup>

En células no excitables hay canales que se abren al vaciar los almacenes intracelulares de Ca<sup>2+</sup> produciendo el fenómeno conocido como **entrada capacitativa de Ca<sup>2+</sup>** (Putney, 1986). Por analogía con un capacitor en un circuito eléctrico, en la entrada capacitativa los almacenes intracelulares de Ca<sup>2+</sup> previenen el ingreso de este ión cuando están llenos y promueven su entrada tan pronto como los almacenes se descargan. La entrada capacitativa, conocida actualmente como "Modelo de entrada de Ca<sup>2+</sup> operada por los depósitos de Ca<sup>2+</sup>", fue descrita recientemente por Amrani y colaboradores (1995) en el MLVA de humano. Recientemente Gibson y colaboradores (1998) propusieron que la entrada capacitativa de Ca<sup>2+</sup> puede jugar un papel importante en la regulación del tono del ML.

La entrada capacitativa de Ca<sup>2+</sup> ha sido estudiada mediante diferentes protocolos donde se induce el vaciado de los almacenes intracelulares y coinciden en que todos activan corrientes de Ca<sup>2+</sup> virtualmente idénticas (Berridge, 1995, Parekh y Penner, 1997). Estas corrientes, conocidas como  $I_{CRAC}$  ( $Ca^{2+}$  release-activated  $Ca^{2+}$  current), fueron observadas por primera vez por Hoth y Penner en 1993 y desde entonces se han descrito en muchos tipos celulares, especialmente no excitables (Vaca y Kunze, 1994), pero a la fecha no se han estudiado estas corrientes en ningún músculo liso (ML). Las corrientes  $I_{CRAC}$  no se activan por voltaje y son inhibidas de manera no específica por: lantano > zinc > cadmio > berilio = cobalto = manganeso > níquel > estroncio > bario (Hoth y Penner, 1993). Adicionalmente Yoshimura y colaboradores (1996) observaron en ML vascular que el magnesio (5 mM) bloquea la entrada capacitativa de Ca<sup>2+</sup>.

Por otro lado, se ha propuesto que los canales TRP (*Transient receptor potential*), pudiesen estar involucrados en la entrada capacitativa de Ca<sup>2+</sup> (Vaca y col., 1994,

Birnbaumer y col , 1996). Estos canales comparten muchas similitudes con los canales DV, pero no tienen el sensor de potencial del segmento S4 de los DV (Harteneck y col., 2000) Actualmente no se ha encontrado ninguna relación entre las los canales TRP y las corrientes  $I_{CRAC}$ , lo que ha creado mucha controversia (Birnbaumer y col., 1996, Putney, 1999) Los canales TRP fueron observados por primera vez en el fotoreceptor de *Drosophila* y posteriormente se determinaron 7 subtipos en mamíferos, de los cuales el TRP1, el TRP3, el TRP4 y el TRP5 se expresan en células excitables (Philip y col., 1998; Harteneck y col., 2000). Se ha observado que solo los subtipos del TRP1 al TRP5 pudiesen participar en la entrada capacitativa de  $\text{Ca}^{2+}$  (Harteneck y col., 2000).

#### EL $\text{Ca}^{2+}$ INTRACELULAR

En el retículo sarcoplásmico (RS) de las células de MLVA se depositan altas concentraciones de  $\text{Ca}^{2+}$ . Se ha determinado que en el lumen del RS las concentraciones de  $\text{Ca}^{2+}$  libre están en el rango de 5 a 10 mM (Edes y Kranias, 1998). Este ión se libera al citoplasma mediante dos tipos de receptor-canal catiónicos no selectivos (Taylor y Traynor, 1995). Uno es sensible al inositol 1,4,5 trifosfato ( $\text{IP}_3$ ), un mensajero que se forma por la activación de un receptor de membrana acoplado a una proteína  $G_q$ (insensible a la toxina de *B. pertussis*, activando a la fosfolipasa C $\beta$  que hidroliza al fosfatidilinositol 4,5 bifosfato en  $\text{IP}_3$  y 1,2 diacilglicerol (Berridge, 1993, Challis y col., 1993).

El otro receptor-canal es sensible a la rianodina, un alcaloide neutral de la raíz de *Ranya speciosa*. Este receptor se activa fisiológicamente cuando las  $[\text{Ca}^{2+}]_i$  se incrementan alrededor de 1  $\mu\text{M}$  (Iino, 1989, Zucchi y Ronca-Testoni, 1997) Farmacológicamente los receptores sensibles a rianodina se pueden manipular con cafeína que los sensibiliza para que se abran a niveles de  $\text{Ca}^{2+}$  citosólico donde normalmente no se activan (Iino, 1989, 1990; Pessah y col . 1987)

Basandose en la clonacion del ADN complementario en varios tejidos, se han isolado tres isofomas del receptor de  $\text{IP}_3$ . Este receptor es un homotetramero de ~310 kDa

por subunidad (Parys y col., 1996), y los tres subtipos se pueden expresar en el mismo tejido (De y col., 1994; Morgan y col., 1996). De manera similar, existen tres isoformas del receptor sensible a rianodina, que también es un tetrámero de ~560 kDa por subunidad, y la subunidad Ryr3 se ha observado en el ML (Ogawa, 1994). Ambos receptores son similares, están modulados por ATP, y la salida de  $\text{Ca}^{2+}$  termina con la inhibición de los receptores debido al incremento de las concentraciones de  $\text{Ca}^{2+}$  (Al-Hassani y col., 1993; Kajita y Yamaguchi, 1993; Sneyd y Kalachev, 1994; Zucchi y Ronca-Terstioni, 1997, Clapham, 1995).

#### REGULACIÓN DE LAS $[\text{Ca}^{2+}]_i$

El  $\text{Ca}^{2+}$  citosólico no puede ser metabolizado como otros segundos mensajeros, por lo que su regulación en el MLVA depende no sólo de proteínas amortiguadoras de  $\text{Ca}^{2+}$  como la calreticulina, la calcsecuestrina o la calbindina (Clapham, 1995), sino también de tres sistemas: Las bombas de  $\text{Ca}^{2+}$  plasmática y del RS y el intercambiador  $\text{Na}^+/\text{Ca}^{2+}$ .

La **bomba plasmática de  $\text{Ca}^{2+}$**  es un sistema de baja capacidad pero de gran afinidad al  $\text{Ca}^{2+}$  que funciona continuamente permitiendo la salida de una mol de  $\text{Ca}^{2+}$  por molécula de ATP hidrolizada (Edes y Kranias, 1998). Esta bomba permite mantener un estado estacionario con respecto al contenido total de  $\text{Ca}^{2+}$ , contrarrestando la entrada de este. Se han descrito 4 isoformas de la bomba, conocidas como PMCA (*Plasma membrane calcium ATPase*), de las cuales se encuentran expresadas en pulmón la PMCA1, -2 y -4 (Carafoli y Stauffer, 1994). Se le considera una bomba electroneutra por permitir que por cada ión de  $\text{Ca}^{2+}$  se introduzcan dos protones (Carafoli y Stauffer, 1994).

El **intercambiador  $\text{Na}^+/\text{Ca}^{2+}$**  es un sistema de transporte de la membrana plasmática, también electroneutro, con baja afinidad pero alta capacidad para transportar  $\text{Ca}^{2+}$ , y cuya funcionalidad parece no contribuir mucho en la homeostasis de  $\text{Ca}^{2+}$  de las células del MLVA (Janssen y col., 1997). Se ha propuesto que el intercambiador permite la

entrada de dos iones de sodio por ión de  $\text{Ca}^{2+}$  que sale, aunque puede actuar bidireccionalmente dependiendo de los gradientes electroquímicos de sodio (Bridge, 1998)

Finalmente, la **bomba de  $\text{Ca}^{2+}$  del RS**, considerado como uno de los sistemas más importantes de transporte de  $\text{Ca}^{2+}$ , es la proteína más grande de la membrana de este organelo (Edes y Kranias, 1998). Utilizando ADN recombinante se ha descrito una familia de bombas de  $\text{Ca}^{2+}$  del RS conocidas como SERCA (*Sarco-endoplasmic reticulum  $\text{Ca}^{2+}$ -ATPase*). En el MLVA se expresa la isoforma SERCA2b (Amrani y col., 1995). Esta bomba electrogénica transporta 2 moles de  $\text{Ca}^{2+}$  por mol de ATP hidrolizado hacia el interior del RS a cambio de protones y iones potasio (Carafoli y Stauffer, 1994).

#### DECREMENTO DE LAS $[\text{Ca}^{2+}]_i$ DESPUÉS DE RETIRAR A LOS AGONISTAS QUE MOVILIZAN $\text{Ca}^{2+}$ DEL RS: EL UNDERSHOOT

Desde 1992 se ha descrito que después de remover a los agonistas que movilizan  $\text{Ca}^{2+}$  del RS en células excitables, como la acetilcolina y la cafeína, se produce un decremento abrupto en las  $[\text{Ca}^{2+}]_i$  (Friel y Tsien, 1992; Ganitkevich e Isenberg, 1992; Baró y col., 1993; Yoshikawa y col., 1996; Kimball y col., 1996, Sims y col., 1996). Este fenómeno conocido como *undershoot* ha sido documentado en células de ganglio simpático de sapo (Friel y Tsien, 1992), ML vascular y ventricular de rata (Baró y col., 1993), en neuronas mientéricas (Kimball y col., 1996), ML de vejiga urinaria (Ganitkevich e Isenberg, 1992; Yoshikawa y col., 1996) y MLVA de cobayos (Sims y col., 1996). Algunos de estos autores concluyeron que el *undershoot* es resultado de la captura de  $\text{Ca}^{2+}$  por el RS (Friel y Tsien, 1992; Baró y col., 1993, Ganitkevich e Isenberg, 1992, Sims y col., 1996), lo que sugiere que antes de iniciarse el *undershoot* el RS contiene poco  $\text{Ca}^{2+}$ . Uno de los objetivos de este trabajo es describir los mecanismos involucrados en la recuperación de la basal de las  $[\text{Ca}^{2+}]_i$  durante el *undershoot*, en especial la posible participación de la entrada capacitativa de  $\text{Ca}^{2+}$  en este fenómeno.

## 2. LA CONTRACCION DEL BRONQUIO COMPLETO Y DE LAS TIRAS DE MLVA

Por otro lado, el estudio de la contracción del MLVA nos permite conocer, de manera indirecta, algunos mecanismos involucrados en la movilización del  $\text{Ca}^{2+}$  citosólico. En este sentido, los mecanismos de movilización de  $\text{Ca}^{2+}$  entre el bronquio completo (ML bronquial con todas sus estructuras adyacentes) y las tiras de ML (solo ML), pudiesen variar debido a la interacción de diferentes estructuras que han sido respetadas en el primero. A continuación se describen algunos hallazgos experimentales relacionados a las diferencias funcionales que pueden existir entre ambas preparaciones.

### LA CONTRACCION SOSTENIDA EN EL MLVA

Las respuestas inducidas por agonistas colinérgicos e histaminérgicos inician con un incremento transitorio de las  $[\text{Ca}^{2+}]_i$ . Este incremento permite una relación lineal entre la cantidad de cadena ligera de miosina fosforilada y el desarrollo de la contracción (Barnes, 1998; Silver y Stull, 1984). Posteriormente, los niveles de  $\text{Ca}^{2+}$  disminuyen lentamente, hasta en un 50% (Kajita y Yamaguchi, 1993), pero la tensión se mantiene hasta alcanzar su respuesta máxima (Rodger, 1985; Ganitkevich e Isenberg, 1992; Bourreau y col., 1991). Se ha propuesto que el mantenimiento de la contracción a bajas  $[\text{Ca}^{2+}]_i$  podría ser resultado de dos mecanismos. Por un lado, se propone que durante la contracción sostenida existe una interacción lenta de los filamentos de miosina y actina, estado conocido como "*latch-bridges*" lo que permite que esta respuesta se mantenga (Somlyo y Somlyo, 1994; Moussawi y col., 1993; Silver y Stull, 1984). Por otro lado se ha observado que la contracción sostenida es resultado del aumento en la sensibilidad de la maquinaria contráctil al  $\text{Ca}^{2+}$  producida por la cinasa de proteína C (PKC) (Rasmussen y col., 1987; Al-Hassani y col., 1993). En este sentido, se ha observado la participación de la PKC en la fase sostenida de la contracción del MLVA de bovinos (Park y Rasmussen, 1985; Kajita y Yamaguchi, 1993; Berthoffer, 1991; Rossetti y col., 1995; Roux y col., 1995) y en el ML vascular de conejos (Khaliq y van Breemen, 1988). La PKC normalmente se encuentra libre cuando está inactiva

y se adhiere a la membrana plasmática al activarse con el 1,2-diacilglicerol que se forma durante la hidrólisis de los fosfoinositoles (Castagna y col., 1982, Schramm y Grunstein, 1989; Takai y col., 1979). Existen varias isoenzimas de la PKC y se sabe que se expresan en el MLVA las PKC- $\beta$ I, - $\beta$ II, - $\delta$ , - $\epsilon$ , - $\theta$  y - $\zeta$  (Donnelly y col., 1995).

#### LA CONTRACCIÓN SOSTENIDA DEL MLVA EN UN MEDIO SIN $\text{Ca}^{2+}$

Aunque el mantenimiento de la contracción sostenida del MLVA no requiere de altos niveles de  $\text{Ca}^{2+}$  es inhibida si el medio extracelular no contiene este ión (Montaño y col., 1996). Un hallazgo interesante es que si se conservan los tejidos adyacentes al MLVA como el epitelio, tejido conjuntivo y el cartílago, i.e. bronquio completo, la contracción en un medio sin  $\text{Ca}^{2+}$  es sostenida (Raeburn y col., 1986, 1987, Foster y col., 1983, Montaño y col., 1996). Recientemente se demostró, en el MLVA de perro, que ninguno de esos tejidos adyacentes es capaz de proporcionar el  $\text{Ca}^{2+}$  necesario para la respuesta sostenida en un medio sin  $\text{Ca}^{2+}$  (Montaño y col., 1996). Los mecanismos involucrados en la contracción sostenida de la preparación bronquial en un medio sin  $\text{Ca}^{2+}$  no se conocen con precisión por lo que uno de los objetivos de esta tesis fue investigar dichos mecanismos.

#### LOS CANALES TIPO L EN LA CONTRACCION SOSTENIDA DEL MLVA EN UN MEDIO SIN

##### $\text{Ca}^{2+}$

La adición de BAYK 8644, agonista de los canales tipo L, durante el estímulo con cetylcolina en medio sin  $\text{Ca}^{2+}$ , hace que la contracción transitoria del MLVA de perro sea más prolongada (Montaño y col., 1996). Se ha propuesto que esta respuesta prolongada podría ser resultado del reciclado de  $\text{Ca}^{2+}$  entre un compartimiento localizado en la membrana plasmática y el RS a través de canales tipo L y dependiente de la actividad de la bomba de  $\text{Ca}^{2+}$  del RS (Montaño y col., 1996). Sustenta más esta hipótesis el hecho de que recientemente se han descrito invaginaciones de la membrana plasmática, conocidas como vesículas, donde se observan gran cantidad de canales de  $\text{Ca}^{2+}$  tipo L. MPasas de  $\text{Ca}^{2+}$  de

la membrana plasmática y receptores a IP<sub>3</sub> (Fujimoto y col., 1992; Schnitzer y col., 1995; Darby y col., 1996). Darby y colaboradores (2000) encontraron proteínas que unen Ca<sup>2+</sup> como la calreticulina y calsecuestrina dentro de las caveolae por lo que estas invaginaciones contienen todos los elementos necesarios para ser considerados almacenes de Ca<sup>2+</sup>. Finalmente Isshiki y Anderson (1999) y Shaul y Anderson (1998) recientemente propusieron que las caveolae parecen estar involucradas en la regulación de señales de Ca<sup>2+</sup> en la superficie celular. Es probable que esta señalización se active con la histamina y el carbachol durante la contracción sostenida en un medio sin Ca<sup>2+</sup>. En este sentido, el presente trabajo pretende explorar si ambos agonistas pudieran estar movilizando Ca<sup>2+</sup> de estos compartimentos. Adicionalmente se estudió si la PKC pudiese estar involucrada en la contracción sostenida en un medio sin Ca<sup>2+</sup> inducida por el carbachol o la histamina y, para el caso de la histamina, se determinará si los canales tipo L también participan en esta contracción.

## HIPÓTESIS

1. Si el contenido de  $\text{Ca}^{2+}$  del RS puede regular la entrada de  $\text{Ca}^{2+}$  de las células de MLVA entonces existirá una relación directa entre el contenido de  $\text{Ca}^{2+}$  de este almacén y el contenido de  $\text{Ca}^{2+}$  en el citoplasma.
2. Despues del vaciado de  $\text{Ca}^{2+}$  del RS se induce la entrada capacitativa de  $\text{Ca}^{2+}$  hasta llenar al almacén. Esto podría pasar en el caso de *undershoot* producido despues de lavar cafeína, pues el RS se encuentra vacío al iniciarse este fenómeno.
3. Durante la recuperación del *undershoot*, esto es cuando las  $[\text{Ca}^{2+}]_i$  se incrementan hasta alcanzar la basal, podrían participar los canales DV o el intercambiador  $\text{Na}^+/\text{Ca}^{2+}$ , pues ambos mecanismos son conocidos por su participación en la regulación del  $\text{Ca}^{2+}$  citosólico.
4. La contracción bronquial sostenida inducida por histamina en medio sin  $\text{Ca}^{2+}$  pudiese depender del contenido de  $\text{Ca}^{2+}$  del compartimiento de la membrana plasmática y los canales tipo L.
5. La contracción sostenida de los anillos bronquiales inducida por carbachol en medio sin  $\text{Ca}^{2+}$  pudiese depender tanto del contenido de  $\text{Ca}^{2+}$  del RS así como del compartimiento de la membrana plasmática.
6. La contracción sostenida de los anillos bronquiales inducida por carbachol o histamina en un medio sin  $\text{Ca}^{2+}$  pudiese depender de la activación de la PKC pues esta enzima ha sido involucrada en la contracción sostenida en un medio con  $\text{Ca}^{2+}$ .

## OBJETIVOS

- 1 En células aisladas de MLVA de bovino determinar si la cafeína vacía el contenido de  $\text{Ca}^{2+}$  del RS.
2. Evaluar si en el relleno del RS, vaciado por la cafeína, intervienen los canales DV, la entrada capacitativa de  $\text{Ca}^{2+}$  y el intercambiador  $\text{Na}^+/\text{Ca}^{2+}$
- 3 Explorar el efecto del contenido de  $\text{Ca}^{2+}$  del RS en la entrada de este ión a la célula.
4. Comparar los cambios en las  $[\text{Ca}^{2+}]_i$  entre células aisladas y las tiras de MLVA de bovino estimuladas con histamina y carbacol.
5. Examinar las diferencias entre la contracción de las tiras de MLVA y los anillos bronquiales de perro estimulados con histamina y carbacol
6. Determinar si en la contracción sostenida de los anillos bronquiales en un medio sin  $\text{Ca}^{2+}$  inducida por histamina participan el  $\text{Ca}^{2+}$  del RS y los canales tipo L.
7. Explorar si durante la contracción sostenida de los anillos bronquiales en un medio sin  $\text{Ca}^{2+}$  inducida por la histamina y el carbacol participa el comportamiento de  $\text{Ca}^{2+}$  de la membrana plasmática.
8. Estudiar la participación de la PKC en la contracción sostenida de los anillos bronquiales en un medio sin  $\text{Ca}^{2+}$  inducida por carbacol e histamina.

## MÉTODOS

### ESTUDIOS EN CÉLULAS AISLADAS DE MLVA DE BOVINO

#### OBTENCIÓN DE MIOCITOS TRAQUEALES

Se trabajó con tráqueas de bovinos machos jóvenes, recién sacrificados del rastro de Milpa Alta del Distrito Federal. Se transportaron al laboratorio de Investigación en Asma del Instituto Nacional de Enfermedades Respiratorias en solución de Krebs-Ringer-Henseleit (KRH) saturada con carbógeno a un pH de 7.4 y a 37°C. La solución de KRH tuvo la siguiente composición (mM): 118 de NaCl, 25 de NaHCO<sub>3</sub>, 4.6 de KCl, 1.2 de KH<sub>2</sub>PO<sub>4</sub>, 1.2 de MgSO<sub>4</sub>, 11 de glucosa y 2 de CaCl<sub>2</sub>. En el laboratorio se eliminó la fascia superficial para seccionar la tráquea dorsalmente a lo largo de su eje. Con la ayuda de un microscopio estereoscópico se quitaron las capas de mucosa, epitelio, serosa y vasos sanguíneos hasta obtener tiras de ML de 5 mm de largo y 0.5 mm de ancho. Se experimentó con varios métodos de disagregación celular hasta obtener células relajadas que respondieran a cambios en la concentración de Ca<sup>2+</sup>. El método óptimo de disagregación fue el siguiente: Aproximadamente 200 mg de tiras de ML traqueal se incubaron en 5 ml de una mezcla de KRH sin Ca<sup>2+</sup> con colagenasa tipo D con baja actividad de trípsina ( $\leq 0.1$  U/mg) y lostrípaína ( $\leq 1.5$  U/mg), y elastasa grado II, ambas de Boehringer Mannheim. La temperatura de incubación (37°C) se mantuvo utilizando un baño María donde el tejido se giró con una barra magnética (9 mm) a 2 revoluciones/s. En estas condiciones se incubó el tejido dos veces, de 15 min cada una, usando dos fracciones de 2.5 ml de la solución enzimática. En la segunda fracción se adicionó ADNasa I (Boehringer Mannheim) para

evitar aglomerados de células. Posteriormente se transfirieron las piezas de tejido a KRH sin enzimas y se agitó hasta disgregar a las células.

La apariencia de las células en medio sin  $\text{Ca}^{2+}$  era alargada y relajada, con contenido citoplasmático evidente. En medio con  $\text{Ca}^{2+}$  (2 mM) se eligieron células contraídas, con membrana con aspecto de acordeón.

#### DETERMINACIÓN DEL $\text{Ca}^{2+}$ CITOSÓLICO

##### A) Fura-2

El Fura-2 es un marcador fluorescente de la segunda generación que permite el registro de cambios en el  $\text{Ca}^{2+}$  citosólico por desplazamiento en su espectro de excitación cuando se une al  $\text{Ca}^{2+}$  libre. La absorción máxima del Fura-2 ocurre a los 362 nm cuando se encuentra como anión libre y a los 335 nm cuando forma complejo con el  $\text{Ca}^{2+}$ . Su emisión máxima ocurre entre 512 a 518 nm para el anión libre y entre 505 a 510 nm para el complejo con  $\text{Ca}^{2+}$ .

La molécula de Fura-2 consiste en un fluoróforo, anillos de estilbeno, unido a un grupo tetracarboxilo con alta afinidad al  $\text{Ca}^{2+}$  ( $K_d = \sim 0.1 \mu\text{M}$ ). Este grupo es capaz de coordinar la unión con un átomo de  $\text{Ca}^{2+}$ . La afinidad del Fura-2 por el  $\text{Ca}^{2+}$  es  $\sim 100,000$  veces mayor que el magnesio (Grynkiewicz y col., 1985)

Debido a la naturaleza hidrofílica del Fura-2, se utilizó la forma acetoximetílica de este compuesto (Fura-2/AM) para permitir que la molécula fuera permeable a la célula (Fig. 1, Grynkiewicz y col., 1985). Se sabe que, en el interior de la célula, esterasas endogénas hidrolizan el enlace éster de Fura-2/AM dejando a la molécula en su forma acida lista para unirse con iones bivalentes.

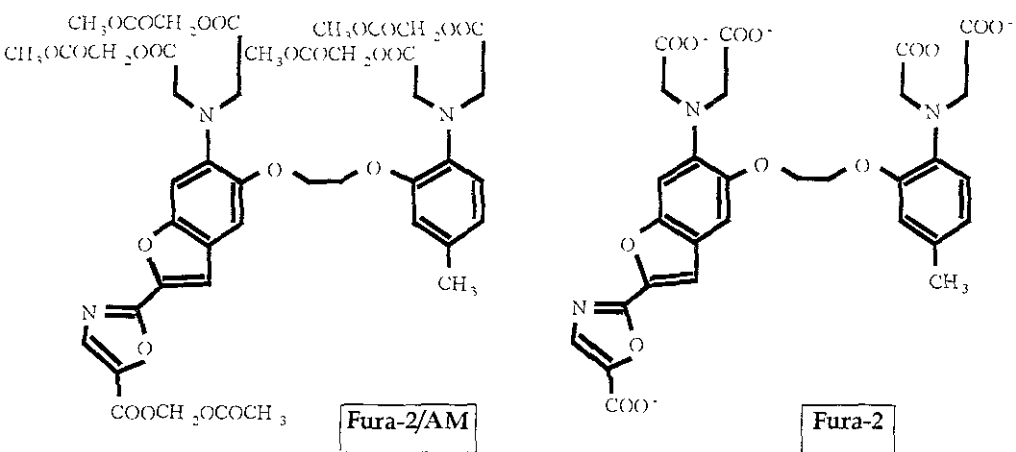


Fig. 1 Moléculas de Fura-2/AM y Fura-2 ácido

B) Determinación de las  $[Ca^{2+}]_i$  con Fura-2

A la suspensión de células de tráquea de bovino se añadió 2  $\mu M$  de Fura-2/AM, y se mantuvo en la oscuridad por 30 min a temperatura ambiente para permitir la incorporación del fluoróforo. Posteriormente, las células fueron colocadas por otros 30 min en una cámara de registro para que se sedimentaran y pegaran a la base de vidrio de la cámara. Esta cámara se montó en un microscopio invertido (Nikon, Diaphot 200) y las células adheridas se perfundieron continuamente (2 a 2.5 ml/min) con medio con  $Ca^{2+}$  a 37°C, pH 7.4 y burbujeado con carbógeno.

La fluorescencia se registró con un microfluorómetro de *Photon Technology International* (PTI) modelo RF-53010. Para determinar la cantidad aproximada de  $Ca^{2+}$  intracelular se utilizó la ecuación derivada por Grynkiewicz y colaboradores (1985)

$$[\text{Ca}^{2+}]_i = K_d \beta ((R - R_{\min}) / (R_{\max} - R))$$

donde  $R_{\max}$  y  $R_{\min}$  (11.7 y 0.5 respectivamente,  $n=11$  células), se obtuvieron en presencia de  $\text{Ca}^{2+}$  saturante (10 mM) + ionomicina 10  $\mu\text{M}$  y en ausencia de  $\text{Ca}^{2+}$  + EGTA 1.11 mM, respectivamente.  $\beta$  fue igual a 7.6 y se calculó a partir del cociente de la fluorescencia observada a 380 nm en ausencia de  $\text{Ca}^{2+}$  y en presencia de  $\text{Ca}^{2+}$  saturante.  $R$  se calculó como el cociente de fluorescencia 340/380 nm. La  $K_d$  del Fura-2, 386 nM, fue obtenida en células disgregadas de ML traqueal de bovino en una solución con la misma fuerza iónica que utilizamos en los experimentos (Yamaguchi y col., 1995). Durante los registros se seleccionaron células vivas que se encontraban aisladas, descartando a las agrupadas y la adición de los diferentes agonistas fue mediante perfusión continua.

### C) Experimentos

Para conocer el grado de vaciado de  $\text{Ca}^{2+}$  del RS producido por la cafeína (10 mM), administramos carbacol (10  $\mu\text{M}$ ) 2 min después de haber iniciado el estímulo con esta xantina. Para corroborar que la respuesta a carbacol no estuviera afectada por la acumulación del AMPc inducida por la cafeína, se evaluó por separado el efecto de la forskolina ( $\text{IC}_{50}=32 \mu\text{M}$ ) en la respuesta al carbacol.

Posteriormente nos enfocamos a investigar la naturaleza de la recuperación de la basal de  $\text{Ca}^{2+}$  del undershoot, después del abrupto decremento de las  $[\text{Ca}^{2+}]_i$  al quitar la cafeína. Durante la recuperación del undershoot estudiamos el efecto de bloqueadores de los canales de  $\text{Ca}^{2+}$  como el lantano (0.2 mM), el magnesio (4 mM), el níquel (1 y 0.2 mM) y de canales tipo L como el metoxiverapamil (D600, 30  $\mu\text{M}$ ). Utilizamos 0.2 mM de lantano por que se sabe que a concentraciones menores a 0.25 mM, el lantano no entra en la célula

y concentraciones sobre 0.05 mM inhiben la entrada de  $\text{Ca}^{2+}$  en el MLVA (Shibuya y Douglas, 1992; Yang, 1998; Hoth y Penner, 1993). Por otro lado, Yoshimura y colaboradores (1996) determinaron que concentraciones de magnesio por arriba de 1 mM inhiben la entrada capacitativa de  $\text{Ca}^{2+}$  en el ML vascular de ratas. Hoth y Penner (1993) demostraron que 1  $\mu\text{M}$  de níquel inhibe alrededor del 30% de las corrientes de los canales activados por la entrada capacitativa de  $\text{Ca}^{2+}$  en las células cebadas de rata. Nosotros observamos que 30  $\mu\text{M}$  de D600 es suficiente para bloquear de manera reversible la respuesta a KCl 60 mM en las células de MLVA. En los experimentos con magnesio se redujo la cantidad de  $\text{Ca}^{2+}$  a 1 mM en el medio para evitar cambios en la osmolaridad. Los efectos del lantano, magnesio, níquel y D600 sobre la recuperación del *undershoot* se compararon con sus respectivos controles.

Por otro lado estudiamos el efecto de un inhibidor del intercambiador  $\text{Na}^+/\text{Ca}^{2+}$ , el benzamil amilorida (25  $\mu\text{M}$ ), sobre el *undershoot*. Para los experimentos con benzamil amilorida fue necesario preincubar a las células durante 8 min con el inhibidor. La concentración de benzamil amilorida utilizada fue suficiente para bloquear la respuesta generada por la inversión del intercambiador  $\text{Na}^+/\text{Ca}^{2+}$ , inducida por la substitución del NaCl del KRH por 143 mM de cloruro de colina. Finalmente, evaluamos tanto el efecto de un medio depolarizante, substituyendo en el KRH 118 mM NaCl por 122.6 mM de KCl, así como el uso de un medio sin  $\text{Ca}^{2+}$  en la recuperación del *undershoot*.

Se compararon las velocidades de recuperación a los niveles basales de  $\text{Ca}^{2+}$  de células con el RS parcial o totalmente vacío. Para el vaciamiento del RS se incubó a las células en medio sin  $\text{Ca}^{2+}$  por 2, 4, o 10 min y se observó la recuperación de la basal inicial al añadir 2 mM de  $\text{Ca}^{2+}$  al medio. Previamente habíamos observado que la

incubación en medio sin  $\text{Ca}^{2+}$ , de las células de MLVA, produce el decremento de las  $[\text{Ca}^{2+}]_i$ . En otras células, se comprobó el contenido de  $\text{Ca}^{2+}$  en el RS a los 2, 4, 6 y 10 min con estímulos de cafeína y se comparó esta respuesta con la obtenida con cafeína una vez recuperada la basal inicial en presencia de 2 mM de  $\text{Ca}^{2+}$ . Por último, en células con RS vacío (10 min), se observó el efecto del níquel (1 mM), el magnesio (4 mM) y el lantano (0.2 mM) durante la recuperación de la basal de  $\text{Ca}^{2+}$ .

#### ESTUDIOS *in vitro* EN MLVA DE BOVINO Y PERRO

##### PREPARACIÓN DEL TEJIDO DE BOVINO

##### MEDICIONES SIMULTÁNEAS DE CONTRACCIÓN Y $\text{Ca}^{2+}$ INTRACELULAR

De las tráqueas de bovino mencionadas se obtuvieron tiras de ML a las cuales se les retiró el tejido conectivo adyacente. El tejido fue incubado (3.5 h a 37°C, burbujeado con carbógeno), en KRH con  $\text{Ca}^{2+}$  y 20  $\mu\text{M}$  de Fura-2/AM más 1 mM de probenecid y 0.01% de ácido plurónico para facilitar la incorporación del colorante. Posteriormente, las tiras fueron colocadas en un fluorómetro marca PTI y se mantuvieron a una tensión continua de 1-1.5 g durante 30 min. Cada cámara contenía 3 ml de solución KRH a 37°C, con un pH de 7.4 y fue burbujeada continuamente con carbógeno. La tensión isométrica fue registrada simultáneamente con los cambios de fluorescencia en una computadora a través de un transductor *Experimetría FSG-01*. La medición de la fluorescencia fue similar a lo descrito previamente para las células únicas.

Con el propósito de normalizar las respuestas de contracción, las tiras de ML fueron estimuladas con KCl 60 mM en medio con  $\text{Ca}^{2+}$  durante 20 min (Montaño y col., 1990). Posteriormente se estimularon con carbachol (10  $\mu\text{M}$ , 20 min) o histamina (10  $\mu\text{M}$ , 10

min), primero en medio con  $\text{Ca}^{2+}$  y a continuación sin  $\text{Ca}^{2+}$ . En el caso de la histamina, para evitar la taquifilaxia, los estímulos se administraron con 1 h de intervalo. Para asegurar que el medio sin  $\text{Ca}^{2+}$  estuviera completamente libre de este ión, se adicionó 0.1 mM de EGTA como agente quelante. La adición de 0.1 mM de EGTA al medio sin  $\text{Ca}^{2+}$  mantiene concentraciones menores a 10 nM de  $\text{Ca}^{2+}$  (Montaño y col., 1996).

#### PREPARACIÓN DEL TEJIDO DE PERRO

Se sacrificaron perros criollos (20-25 Kg) mediante una sobredosis con pentobarbital sódico (100 mg/Kg, i.v.) para disecar el lóbulo pulmonar superior izquierdo. De esta estructura se obtuvieron dos preparaciones: a) **Tiras de ML** bronquial constituida por bandas transversales (0.2 mm ancho por 1 cm largo) de ML proveniente de los bronquios de primer orden y b) **Los anillos bronquiales** del tercer orden con una longitud de 0.5 mm que se extrajeron sin eliminar el cartílago y el epitelio. Ambas preparaciones se disecaron con la ayuda de un microscopio estereoscópico Nikon SWZ-10 que facilitó la eliminación del parénquima y del tejido conectivo.

Durante los experimentos se utilizaron dos tipos de soluciones: a) **Medio con  $\text{Ca}^{2+}$** , con la siguiente composición (mM). NaCl 115, KCl 4.6,  $\text{NaH}_2\text{PO}_4 \cdot \text{H}_2\text{O}$  1.2,  $\text{MgSO}_4 \cdot 7\text{H}_2\text{O}$  1.16,  $\text{NaHCO}_3$  22,  $\text{CaCl}_2$  2.5 y glucosa 11 y, b) **Medio sin  $\text{Ca}^{2+}$** , con la misma composición que la anterior pero sin  $\text{CaCl}_2$ . Para asegurar que el medio sin  $\text{Ca}^{2+}$  estuviera completamente libre de este ión se adicionó 0.1 mM de EGTA

Las tiras de ML y los anillos bronquiales se colocaron en cámaras de órganos aislados y se mantuvieron a una tensión continua de 1-1.5 g durante 30 min. Cada cámara contenía 10 ml de medio a 37°C, con un pH de 7.4 y burbujeada continuamente con

carbógeno. La tensión isométrica fue registrada en un dinógrafo *Beckman R612* a través de un transductor *Gould Statham UC3*.

Con el propósito de normalizar las respuestas de contracción, las preparaciones fueron estimuladas tres veces con KCl 60 mM en medio con  $\text{Ca}^{2+}$  durante 20 min cada una (Montaño y col., 1996). La magnitud de la contracción con todos los tratamientos farmacológicos que se describen más adelante se expresó como porcentaje de la respuesta al tercer estímulo con KCl 60 mM.

Para comprobar que durante el proceso de disección de las tiras ML bronquial no se daña al tejido, se compararon las curvas concentración-respuesta al carbacol de fragmentos de bronquios de primer orden con cartílago y epitelio contra tiras de ML bronquial con estas estructuras disecadas. No se encontraron diferencias significativas en los valores de la concentración efectiva 50 ( $\text{CE}_{50}$ ) obtenida:  $0.28 \pm 0.034$  y  $0.34 \pm 0.025 \mu\text{M}$  ( $n=4$ ), respectivamente.

#### CONTRACCION PRODUCIDA POR EL CARBACOL Y LA HISTAMINA EN UN MEDIO SIN

$\text{Ca}^{2+}$

La capacidad de los almacenes intracelulares de  $\text{Ca}^{2+}$  para liberar el  $\text{Ca}^{2+}$  necesario para la contracción fue evaluada, indirectamente, estimulando con la  $\text{CE}_{50}$  del carbacol ( $0.34 \mu\text{M}$ ) y con  $10 \mu\text{M}$  de histamina (concentración submáxima), durante 20 y 10 min respectivamente en medio sin  $\text{Ca}^{2+}$ . En estas condiciones la contracción máxima inducida por estos agonistas representó la cantidad total de  $\text{Ca}^{2+}$  intracelular disponible (Marthan y col., 1987, Surreau y col., 1991, Montaño y col., 1996)

En un primer experimento, ambas preparaciones fueron estimuladas en medio sin  $\text{Ca}^{2+}$  con carbacol o histamina, las veces necesarias hasta no encontrar respuesta. En el caso de las tiras de ML traqueal de perro, determinamos que el intervalo de tiempo mínimo para llevar a cabo los estímulos con histamina en las tiras de ML y los anillos bronquiales de perro eran de 1 h (Tabla 1). Algunos anillos bronquiales que ya no respondían a la histamina en medio sin  $\text{Ca}^{2+}$ , fueron estimulados con carbacol. Adicionalmente, algunos anillos bronquiales fueron incubados inicialmente con ácido ciclopiazónico (ACP) 10  $\mu\text{M}$  antes de estimularlos con carbacol o histamina.

Por otro lado, a otros anillos bronquiales que se encontraban en medio sin  $\text{Ca}^{2+}$  se les añadió EGTA 1 mM por 30 min para quesar el  $\text{Ca}^{2+}$  unido extracelularmente y después se mantuvieron en medio sin  $\text{Ca}^{2+}$  por 10 min para estimularse finalmente con histamina. Otros anillos bronquiales fueron incubados con 1  $\mu\text{M}$  de nifedipina para luego estimularlos con histamina en medio sin  $\text{Ca}^{2+}$ .

Al final de cada experimento todas las preparaciones se incubaron nuevamente en medio con  $\text{Ca}^{2+}$  y se estimularon con KCl para verificar si el vaciado de los almacenes intracelulares de  $\text{Ca}^{2+}$  no había modificado la viabilidad del tejido. Las respuestas obtenidas con este último estímulo no fueron significativamente diferentes de las observadas al inicio del protocolo.

**TABLA 1.** Efecto de la estimulación sucesiva (cada hora) con histamina de los anillos bronquiales en medio con  $\text{Ca}^{2+}$ . Los resultados están expresados como el porcentaje de la contracción a KCl 60 mM ( $n=10$ ).

ESTIMULACIÓN (h)	1	2	3	4
HISTAMINA 10 $\mu\text{M}$	99.48 ± 4.83	91.65 ± 5.00	97.26 ± 7.16	91.00 ± 0.07

EFEITO DE LOS INHIBIDORES DE LA PKC EN LA CONTRACCIÓN SOSTENIDA EN MEDIO SIN Ca<sup>2+</sup>

Los efectos de la calfostina C y la cheleritrina, inhibidores específicos de la PKC (Kobayashi y col., 1989; Herbert y col., 1990) y de un inhibidor inespecífico y reversible, la estaurosporina (Rüegg y Burgess, 1989), fueron evaluados en la primera respuesta de los anillos bronquiales al carbacol o la histamina en medio sin Ca<sup>2+</sup>. La concentración de calfostina C requerida para inhibir a la PKC (1 μM) se determinó en cada anillo por la capacidad de este inhibidor para bloquear la respuesta máxima inducida por 1 μM de 4-β-forbol 12,13-dibutirato (PDB) y de 4-β-forbol 12-miristato 13-acetato en medio con Ca<sup>2+</sup> (Bazán-Perkins, 1994). Con respecto a los otros dos inhibidores, se ha determinado que 10 nM de estaurosporina inhibe la contracción generada por 1 μM de PDB en arterias coronarias porcinas, mientras que 0.66 μM de cheleritrina es la concentración inhibidora 50% de la PKC en cerebro de rata (Herbert y col., 1990; Kageyama y col., 1991). Ninguna de las concentraciones que se utilizó con estos inhibidores (cheleritrina, estaurosporina y calfostina C) modificó la respuesta al KCl 60 mM (Tabla 2).

Finalmente, los anillos bronquiales fueron incubados durante 1 h con calfostina C (1 μM), estaurosporina (10 nM) y cheleritrina (1 μM) en medio sin Ca<sup>2+</sup> para luego ser estimulados con carbacol o histamina. Todos los experimentos con los inhibidores de la PKC y nifedipina fueron realizados en oscuridad por su sensibilidad a la luz.

**ABLA 2.** Efecto de la preincubación con los inhibidores de la PKC en la respuesta de los anillos bronquiales al KCl 60 mM en medio con Ca<sup>2+</sup>. Los resultados están expresados como el porcentaje de la contracción a KCl 60 mM.

INHIBIDOR DE LA PKC	Calfostina C 1 μM ( <i>n</i> = 5)	Cheleritrina 1 μM ( <i>n</i> = 5)	Estaurosporina 10 nM ( <i>n</i> = 4)
	100.2 ± 6.2%	95.95 ± 3.32%	103 ± 3.38%

### ANÁLISIS ESTADÍSTICO

Los resultados se evaluaron mediante análisis de varianza de una vía y la significancia estadística entre los grupos se obtuvo con pruebas de comparación múltiple de Dunnett o Bonferroni según fuera el caso. Para otras comparaciones se utilizó la prueba t de Student para muestras pareadas y no pareadas según se requiriera. Consideramos el 100% de la recuperación cuando las  $[Ca^{2+}]_i$  alcanzaron el valor inicial en reposo. La pendiente de cada curva de recuperación a los niveles basales de  $[Ca^{2+}]_i$  se obtuvo mediante regresión lineal. Cada célula funcionó como  $n=1$  independientemente que fuera del mismo individuo, mientras que para los tejidos fue  $n=1$  por cada individuo. Los valores de  $p<0.05$  bimarginal fueron considerados como estadísticamente significativos. Los resultados que aparecen en el texto y las figuras corresponden al promedio  $\pm$  el error estándar.

### FÁRMACOS

#### 1. ACETILCOLINA

Los nervios colinérgicos son una de las principales innervaciones excitatorias del MLVA. El carbachol es un agonista de los receptores colinérgicos nicotínicos y muscarínicos resistente

a la acción de la acetilcolinesterasa (Fig. 2). Los receptores colinérgicos muscarínicos están divididos en 5 tipos, del  $M_1$  al  $M_5$ , de los cuales en el MLVA se han observado el  $M_2$  y el  $M_3$ , que están acoplados a proteínas  $G_{\alpha}/G_i$  y  $G_{\beta\gamma}$ , respectivamente. La estimulación de los subtipos  $M_1$ ,  $M_2$  y  $M_3$  generan  $H^+$ , movilizando  $Ca^{2+}$  del RS, mientras que los subtipos  $M_2$  y  $M_3$ , aunque producen  $H^+$ , inhiben a la adenilato ciclase disminuyendo al cAMP.

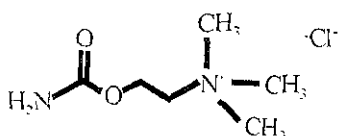


Fig. 2 Molécula de Carbachol

intracelular y favoreciendo la contracción (Sankary y col., 1988; Felder, 1995; Wang y col., 1997). Adicionalmente, los receptores M<sub>2</sub> producen la apertura de canales catiónicos inespecíficos (Wang y col., 1997). Estos canales catiónicos permiten la entrada de Ca<sup>2+</sup> durante las respuestas sostenidas y para su activación es necesario el incremento transitorio de las [Ca<sup>2+</sup>]<sub>i</sub> que se produce por la liberación del Ca<sup>2+</sup> del RS por la activación de los receptores M<sub>3</sub> (Kajita y Yamaguchi, 1993; Wang y col., 1997).

## 2. ÁCIDO CICLOPIAZÓNICO (ACP)

El ACP (Fig. 3) derivado del ácido indole tetrámico, es una micotoxina obtenida de *Aspergillus flavus* y *Penicillium cyclopium* que inhibe específica y reversiblemente a la ATPasa de Ca<sup>2+</sup> del retículo endoplásmico y sarcoplásmico. Su efecto inhibidor lo ejerce al competir con el sitio de unión al ATP. Bloquea completamente a la ATPasa de Ca<sup>2+</sup> en el rango 1-2 mM ( $IC_{50} \sim 300-500$  nM para la bomba del RS) (Bourreau y col., 1991; Darby y col., 1996; Suzuki y col., 1992; Seidler y col., 1988).

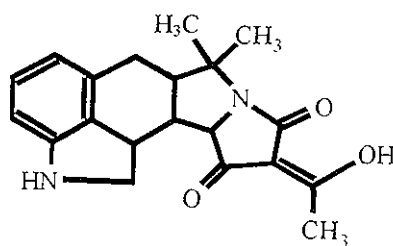


Fig. 3 Molécula de ACP

## . BENZAMIL AMILORIDA

El benzamil amilorida (5-N(N-4-orobenzyl)-2,4-dimetil benzamil, Fig. 4, derivado de la amilorida, inhibe selectivamente al intercambiador

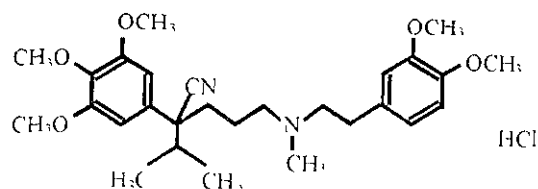


Fig. 4 Molécula de Benzamil amilorida

Na<sup>+</sup>/Ca<sup>2+</sup> La ventaja del benzamil sobre su precursor es su especificidad, pues la amilorida tiene efectos también sobre la PKC y los canales de Ca<sup>2+</sup> DV (Knox y Ajao, 1994).

#### 4. CAFEÍNA

La cafeína (1,3,7-trimetil xantina; Fig. 5) es un alcaloide ampliamente conocido por su capacidad como estimulante del sistema nervioso central. En el músculo esquelético se ha visto que la cafeína produce la liberación de Ca<sup>2+</sup> del

RS al incrementar la probabilidad de apertura del receptor-canal (Rousseau y col., 1988). Este mismo efecto se ha observado en muchas otras células, incluyendo al MLVA (Janssen, 1996). Entre otros efectos, la cafeína también inhibe de manera no selectiva a las fosfodiesterasas nucleótido cíclicas, por

lo que incrementa al AMPc, lo que facilita la entrada de Ca<sup>2+</sup> al RS e inhibe a la maquinaria de contracción (Beavo y Reifsnyder, 1990; Daly, 1982).

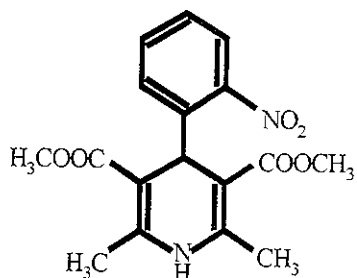


Fig. 5 Molécula de Cafeína

#### CALFOSTINA C

La calfostina C (Fig. 6) es un inhibidor tamente específico de la PKC ( $IC_{50} = 50$  nM) que es permeable a la célula e interactúa con el dominio regulador de la PKC al competir en el sitio de unión del 1,2-diacilglicerol y los teres de torbol. A altas concentraciones

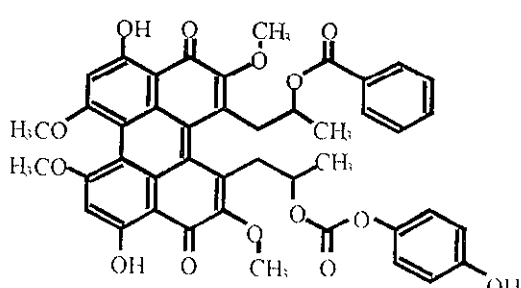


Fig. 6 Molecula de Calfostina C

inhibe la cinasa de la cadena ligera de miosina ( $IC_{50} > 5 \mu M$ ), la cinasa de proteína A ( $IC_{50} > 50 \mu M$ ) y la cinasa de proteína G ( $IC_{50} > 25 \mu M$ ). No compite con  $Ca^{2+}$  ni fosfolípidos. Es sensible a la luz (Shumamoto y col., 1992; Kobayashi y col., 1989).

## 6. CHELERITRINA

La cheleritrina (Fig. 7) es un alcaloide permeable a la célula que inhibe selectivamente a la PKC ( $IC_{50} = 660 nM$ ). Actúa sobre el dominio catalítico independientemente de la unión del dominio regulador. Inhibe la formación de tromboxanos y el metabolismo de fosfoinositoles en plaquetas (Herbert y col., 1990; Kageyama y col., 1991).

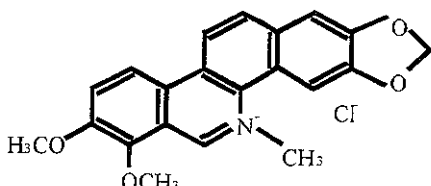


Fig. 7 Molécula de Cheleritrina

## 7. ESTAUROSPORINA

La estaurosporina (Fig. 8) es obtenida del *Streptomyces actuosus* y es conocida por unirse de manera reversible al sitio catalítico de unión al ATP. Es un potente inhibidor de las cinasas de proteína entre las que se encuentran la cinasa de la cadena ligera de miosina ( $IC_{50} = 13 nM$ ), la cinasa de proteína A ( $IC_{50} = 7 nM$ ), la cinasa de proteína G ( $IC_{50} = 8.5 nM$ ) y la PKC ( $IC_{50} = 0.7 nM$ ) (Hidaka y Kobayashi, 1992).

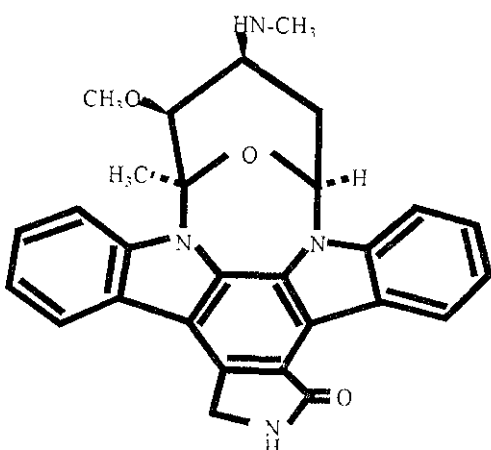


Fig. 8 Molécula de Estaurosporina

## 8. FORSKOLINA

La forskolina fue aislada de la planta de la India *Coleus forskohlii*. Es un activador específico de rápida acción y de efectos reversibles de la adenilato ciclase ( $EC_{50} = 4 \mu M$ )

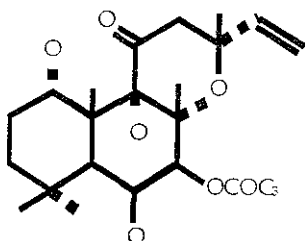


Fig. 9 Molécula de Forskolina

## 9. HISTAMINA

La histamina (2-(4-imidazolyl) etilamina; Fig. 10) se forma en el organismo por la descarboxilación de la L-histidina mediante la enzima L-histidinodescarboxilasa. La histamina se sintetiza y se libera en células cebadas, basófilos y en otras células de la mucosa de las vías aéreas. Existen 3 subtipos de receptores a histamina,  $H_1$ ,  $H_2$  y  $H_3$ . La histamina es un agonista para la contracción del MLVA por estimulación de los receptores  $H_1$  (Barnes, 1998). Estos receptores están acoplados a una proteína G<sub>q</sub> involucrada en la formación de IP<sub>3</sub> (Challis y col., 1993; Janssen y Sims, 1993; Kotlikoff y col., 1987). En el MLVA de humano y bovino, la histamina produce la formación de IP<sub>3</sub>, aunque de menor magnitud con respecto al carbachol, pero en el MLVA de perro la histamina no genera IP<sub>3</sub> (Carbajal, 1998; Challis y col., 1993; Daykin y col., 1993), por lo que la contracción inducida por este agonista en esta especie parece depender en gran medida el  $Ca^{2+}$  extracelular (Kannan y col., 1986)

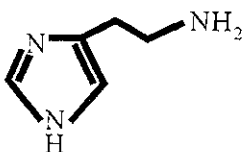


Fig. 10 Molécula de Histamina

## 10. METOXIVERAPAMIL

El D600 (( $\pm$ )-Metoxiverapamil, Fig. 11) es un derivado del verapamil que funciona como bloqueador de canales de  $\text{Ca}^{2+}$  tipo L (Soergel y col., 1992).

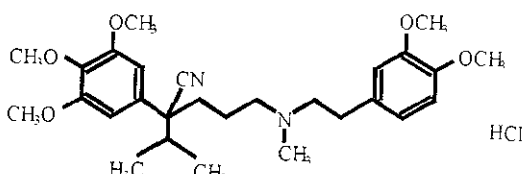


Fig. 11 Molécula de D600

## 11. NIFEDIPINA

La nifedipina (Fig. 12) es un conocido vasodilatador de la familia de las dihidropiridinas que bloquea selectivamente a los canales de  $\text{Ca}^{2+}$  tipo L DV. Es muy sensible a la luz llegándose a inactivar con luz ultravioleta (Kohlhardt y Fleckenstein, 1977).

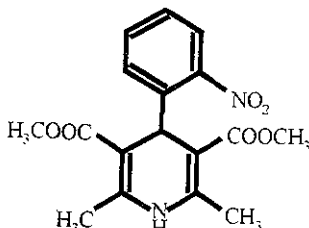


Fig. 12 Molécula de Nifedipina

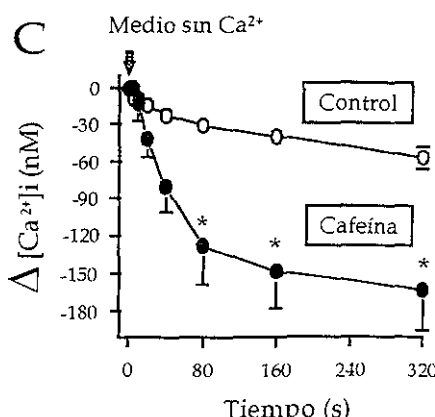
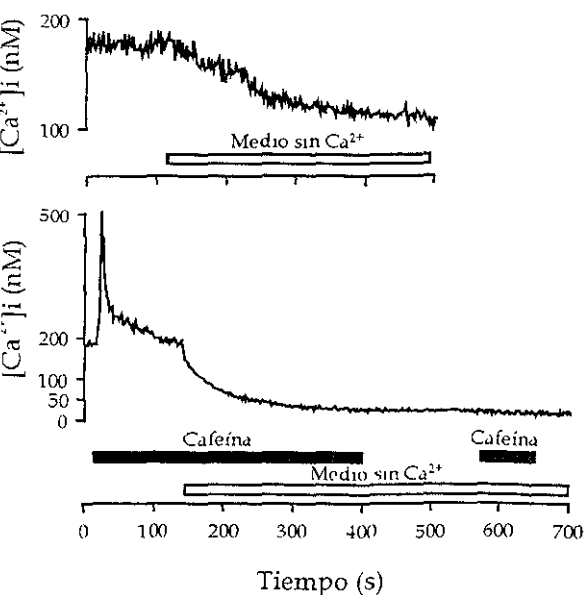
Todos los fármacos, salvo los que se indican adelante, se obtuvieron de Sigma (Saint Louis, Mo., USA MO). La indometacina y el EGTA fueron disueltos previamente en 1% de  $\text{Na}_2\text{CO}_3$  (concentración final de  $\text{Na}_2\text{CO}_3$  0,001%). La calfostina C, la cheleritrina (RBI, Natick, Mass., USA) el Fura-2/AM, el ACP, la ionomicina y la estaurosporina fueron disueltos en dimetil sulfóxido (concentración final < 0,1%). En experimentos control, el uso del dimetil sulfóxido no generó efectos.

## RESULTADOS

### ESTUDIOS EN CÉLULAS AISLADAS DE ML TRÁQUEAL DE BOVINO

#### EFEITO DEL CONTENIDO DE $\text{Ca}^{2+}$ DEL RS EN LA BASAL DE $\text{Ca}^{2+}$ CITOSÓLICO

Los niveles basales de las  $[\text{Ca}^{2+}]_i$  de las células de ML de tráquea de bovino perfundidas con 2 mM de  $\text{Ca}^{2+}$ , fue de  $153 \pm 10 \text{ nM}$  ( $n=55$ ). La incubación de las células de ML traqueal con medio sin  $\text{Ca}^{2+}$  generó un lento decremento de las  $[\text{Ca}^{2+}]_i$  (Fig. 13A); y este decremento fue significativamente más rápido en células previamente estimuladas con cafeína ( $p<0.05$ ,

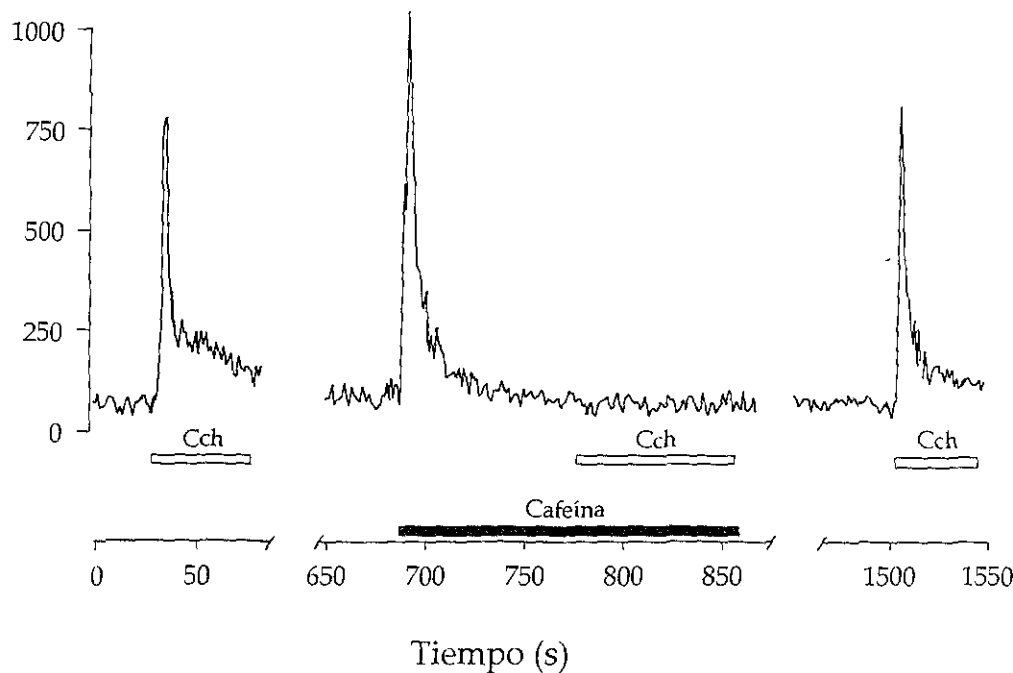


13. Dependencia del contenido de  $\text{Ca}^{2+}$  del RS en el decremento de las  $[\text{Ca}^{2+}]_i$  basales de células aisladas de músculo liso (ML) traqueal de bovino incubadas en medio sin  $\text{Ca}^{2+}$ . Registros originales representando: A) miocitos incubados en medio sin  $\text{Ca}^{2+}$  y, B) miocitos estimulados con cafeína (10 mM) e ibados en medio sin  $\text{Ca}^{2+}$ . C) Curso temporal del decremento de las  $[\text{Ca}^{2+}]_i$  de las células incubadas en  $\text{Ca}^{2+}$  sin estímulo ( $n=7$ , círculos blancos) y las estimuladas con cafeína ( $n=9$ , círculos negros).

21 ± 0.05 y 0.52 ± 0.09 nM/s respectivamente; Fig. 13B y C). El decremento máximo alcanzado en 320 s en las células no estimuladas fue del 38.9 ± 4.6% ( $n=7$ ) y en las estimuladas con cafeína del 85.6 ± 2.3% ( $n=9$ ). La viabilidad de las células no estimuladas con cafeína se determinó con una respuesta a KCl 60 mM al inicio de cada experimento.

#### CONTENIDO DE $\text{Ca}^{2+}$ EN EL RS DURANTE LA INCUBACIÓN CON CAFEÍNA

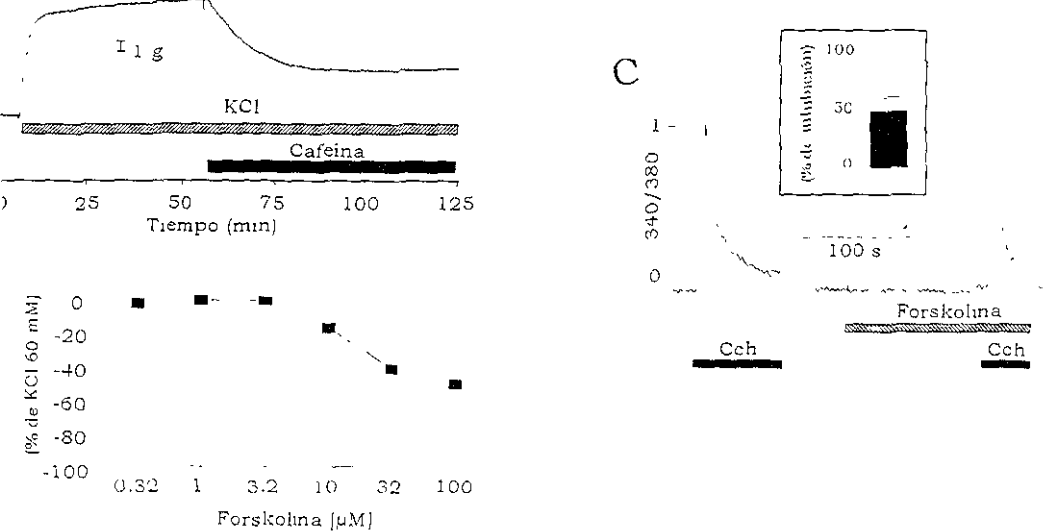
La adición de carbachol (10  $\mu\text{M}$ ) indujo un incremento transitorio de las  $[\text{Ca}^{2+}]_i$  de 627 ± 90 nM que se mantuvieron en 253 ± 20 nM ( $n=39$ ; Fig. 14). Durante el estímulo con cafeína, la



14. Registro original del efecto del vaciado de los almacenes sensibles a la cafeína (10 mM) en la respuesta a carbachol (Cch, 10  $\mu\text{M}$ ) en una célula de ML traqueal

adicción de carbacol no produjo ninguna respuesta. Esta inhibición fue reversible ( $n=7$ ; Fig. 14).

La cafeína (10 mM) y la forskolina (curva concentración-respuesta, 0.32-100  $\mu$ M) indujeron la relajación de la contracción máxima producida por KCl (60 mM) en tiras de ML traqueal de bovino ( $n=3$ ; Fig. 15A y B). La  $IC_{50}$  de la forskolina fue  $14.48 \pm 1.04 \mu$ M ( $n=3$ ). La incubación con 32  $\mu$ M de forskolina ( $IC_{50}$ , 2 min) redujo en un  $48.64 \pm 11.24\%$  la respuesta del carbacol 10  $\mu$ M en las células aisladas de ML traqueal de bovino ( $n=3$ , Fig. 15C).



A) Registros originales del efecto de la cafeína y la forskolina en la respuesta de contracción inducida 60 mM en tiras de ML traqueal y en la movilización de  $\text{Ca}^{2+}$  de células de ML traqueal estimuladas carbacol. B) Efecto de la cafeína (10 mM) en la respuesta de contracción máxima al KCl 60 mM. C) Curva concentración-respuesta de la forskolina sobre la respuesta máxima al KCl 60 mM ( $n=3$ ). C) Je la incubación de forskolina 32  $\mu$ M ( $IC_{50}$ ) en la respuesta al carbachol (10  $\mu$ M, Cch) en una célula de tráquea.

#### EL UNDERSHOOT PRODUCIDO DESPUÉS DE RETIRAR LA CAFEINA

La incubación con cafeína (10 mM) incrementó transitoriamente las  $[Ca^{2+}]_i$  en células de ML traqueal de bovino ( $604 \pm 42$  nM,  $n=41$ ). El lavado de cafeína indujo una disminución transitoria en las  $[Ca^{2+}]_i$  (Fig. 16). Este decremento de las  $[Ca^{2+}]_i$  es conocido en la literatura como *undershoot* (Friel y Tsien, 1992; Ganitkevich e Isenberg, 1992, Baró y col., 1993, Sims y col., 1996, Yoshikawa y col., 1996, Kimball y col., 1996) y alcanzó un valor mínimo de  $70 \pm 5$  nM ( $n=41$ ) que fue seguido por una lenta recuperación a la basal inicial (Fig. 16). La

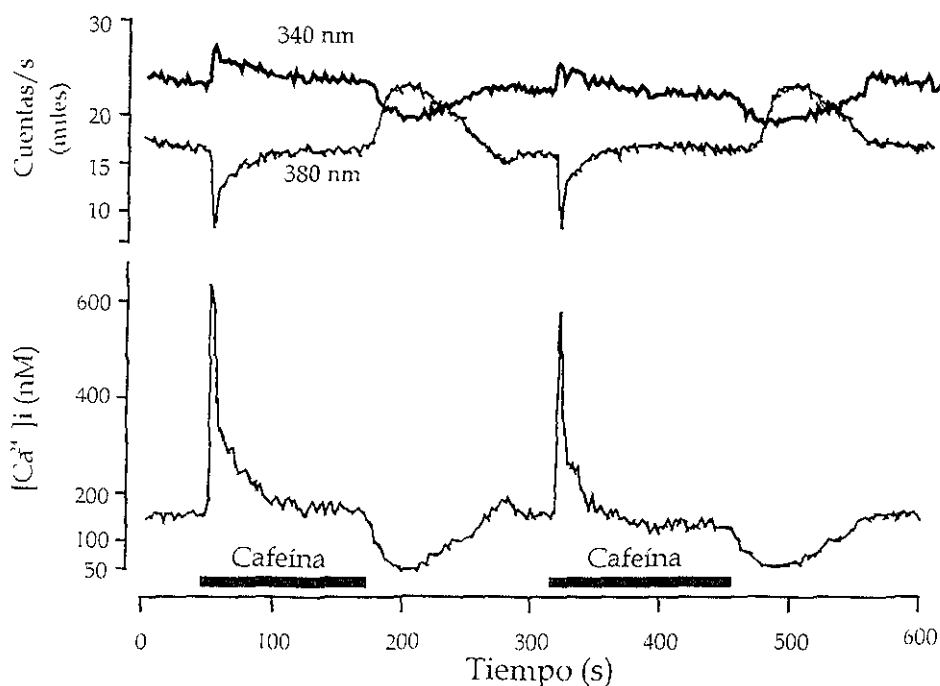


Fig. 16. Registro original del efecto de la cafeína en los niveles de  $Ca^{2+}$  libre intracelular  $[Ca^{2+}]_i$  de células sadias de ML traqueal de bovino. En la parte superior se muestran los registros de fluorescencia a 340 y 380 nm. En la parte inferior el incremento transitorio de las  $[Ca^{2+}]_i$  inducido por la cafeína (10 mM), seguido por el decremento de las  $[Ca^{2+}]_i$  o *undershoot*. Un segundo estímulo produce una respuesta menor.

duración promedio del *undershoot* fue de  $148.8 \pm 9.2$  s, de los cuales el decremento máximo se alcanzó en  $26.0 \pm 1.7$  s y la recuperación hacia la basal en  $122.1 \pm 9.0$  s. Una vez que el  $\text{Ca}^{2+}$  citosólico alcanzó sus niveles basales, una segunda estimulación con cafeína produjo una respuesta similar (Fig. 16).

#### EFFECTO DEL $\text{Ca}^{2+}$ EXTRACELULAR EN EL UNDERSHOOT

La eliminación del  $\text{Ca}^{2+}$  en el medio después de lavar la cafeína bloquea completamente la

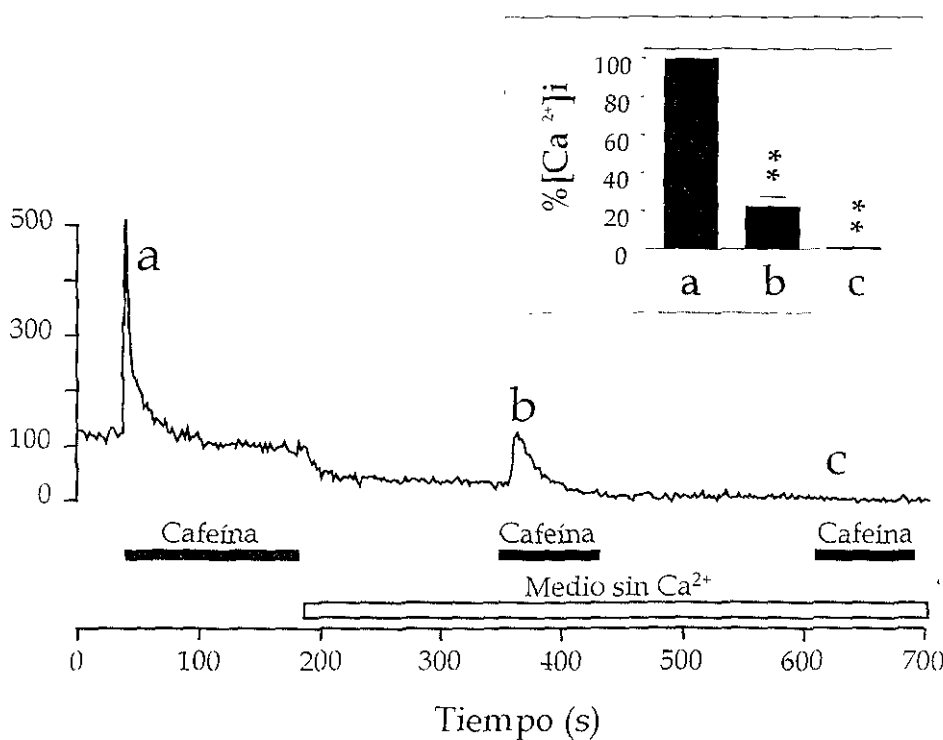
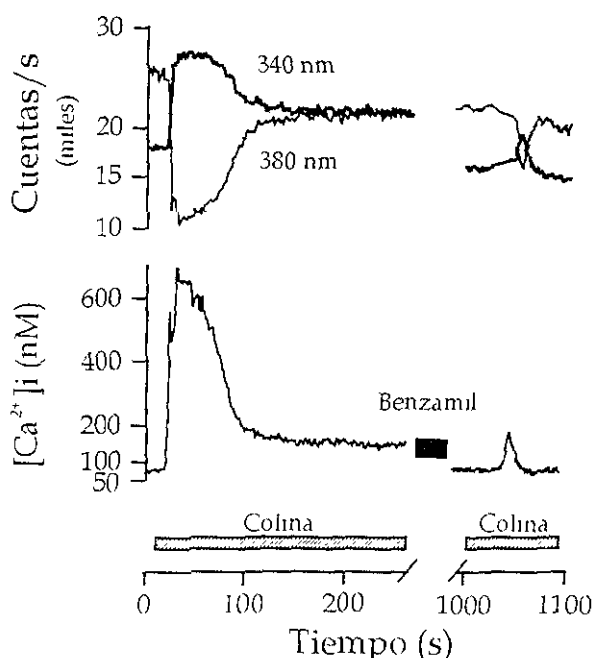


Fig. 16. Efecto del  $\text{Ca}^{2+}$  extracelular en la recuperación del *undershoot* y en la respuesta a cafeína de células s. de ML traqueal de bovino. Registro original que muestra la inhibición de la recuperación del *undershoot* después de lavar la cafeína (10 mM) e incubar las células en medio sin  $\text{Ca}^{2+}$ . Respuestas a cafeína (100  $\mu\text{M}$ ) a) s. sin  $\text{Ca}^{2+}$  (b y c). En el inserto se muestra las respuestas máximas a cafeína sonrientes a) a, b y c ( $n=9$ ). \* $p<0.001$ .

recuperación del *undershoot* ( $n=9$ ; Fig. 17). Bajo estas condiciones, un estímulo con cafeína mostró que el RS contenía  $22.4 \pm 5.0\%$  de su contenido de  $\text{Ca}^{2+}$  en un primer estímulo y  $1.4 \pm 1.4\%$  de  $\text{Ca}^{2+}$  en un segundo estímulo (Fig. 17).

PAPEL DE LOS CANALES TIPO L Y DEL INTERCAMBIADOR  $\text{Na}^+/\text{Ca}^{2+}$  EN EL UNDERSHOOT

El *undershoot* generado al retirar la cafeína en presencia del D600  $30 \mu\text{M}$  no se modificó con relación a un control previo ( $n=8$ , tabla 3). Así mismo, la sustitución de  $118 \text{ mM}$  de  $\text{NaCl}$  en la solución de KRH por  $122.6 \text{ mM}$  de  $\text{KCl}$  con el fin de inducir la inactivación de los canales de  $\text{Ca}^{2+}$  DV por despolarización prolongada y adicionalmente la inversión del intercambiador  $\text{Na}^+/\text{Ca}^{2+}$ , tampoco generó cambios en el *undershoot* ( $n=5$ , tabla 3).



18. Registro original del efecto del benzamil amilorida en el incremento de las  $[\text{Ca}^{2+}]_i$  producida por la activación del intercambiador  $\text{Na}^+/\text{Ca}^{2+}$  en células aisladas de ML traqueal de bovino. La barra vacía esenta la incubación con cloruro de colina  $143 \text{ mM}$ , en sustitución de  $118 \text{ mM}$  de  $\text{NaCl}$  en el KRH con  $\text{Ca}^{2+}$ . La barra negra muestra la incubación con benzamil amilorida ( $25 \text{ nM}$ ) durante 8 min. Después de la incubación con el benzamil amilorida, la respuesta inducida por la colina fue obteñida.

**Tabla 3.** Efecto de la inhibición de los canales DV y la reversión del intercambiador  $\text{Na}^+/\text{Ca}^{2+}$  en el *undershoot* generado después de lavar cafeína. Cada experimento fue comparado con su propio control

	Control	D600 30 $\mu\text{M}$	Control	Sustitución del $\text{NaCl}$ por KCl
<b>Valores del <i>undershoot</i> (s)</b>				
Duración	199.97 $\pm$ 9.63	231.80 $\pm$ 41.22	132.10 $\pm$ 11.10	114.35 $\pm$ 14.38
Caída	27.18 $\pm$ 6.39	35.63 $\pm$ 6.04	21.87 $\pm$ 1.89	28.53 $\pm$ 3.63
Recuperación	172.79 $\pm$ 27.14	196.17 $\pm$ 41.20	99.75 $\pm$ 6.28	85.83 $\pm$ 12.36
<b>[<math>\text{Ca}^{2+}</math>]i (nM)</b>				
Decremento	90 $\pm$ 16	83 $\pm$ 18	108 $\pm$ 37	133 $\pm$ 24

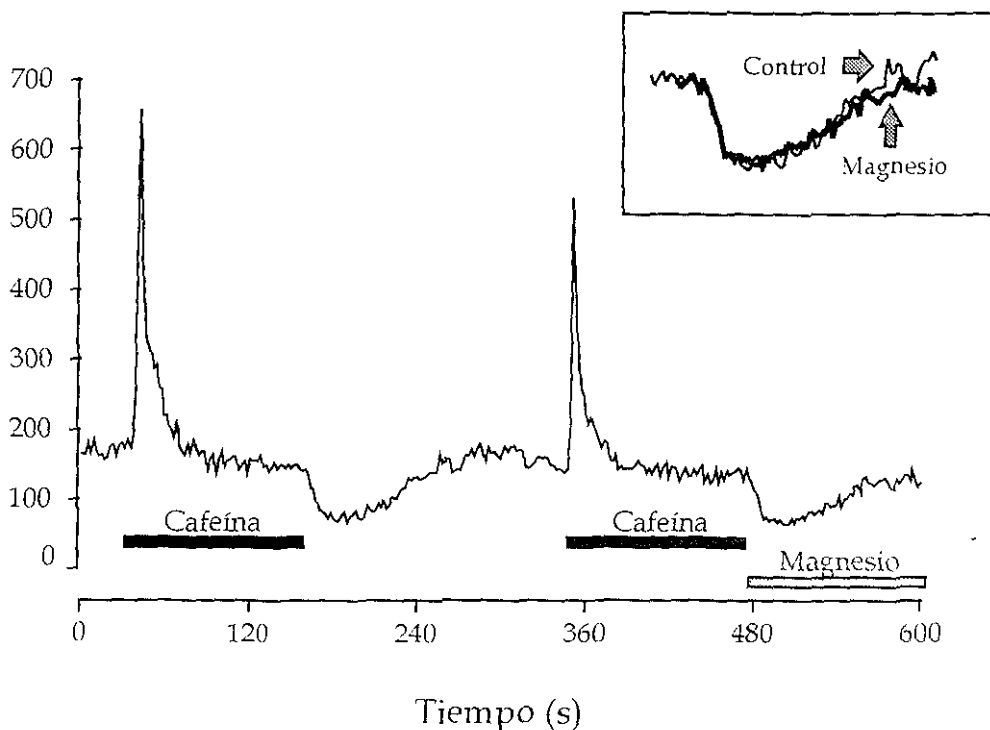
La adición de 25  $\mu\text{M}$  de benzamil amilorida inhibió la respuesta de la inversión del intercambiador  $\text{Na}^+/\text{Ca}^{2+}$  inducida por la sustitución de  $\text{NaCl}$  en el medio por 143 mM de cloruro de colina ( $n=8$ , Fig. 18). La preincubación durante 8 minutos con 25  $\mu\text{M}$  de benzamil amilorida no alteró al *undershoot* ( $n=8$ , tabla 4).

**Tabla 4.** Efecto de la inhibición del intercambiador  $\text{Na}^+/\text{Ca}^{2+}$  con benzamil amilorida en el *undershoot* generado al lavar cafeína. Cada experimento fue comparado con su propio control

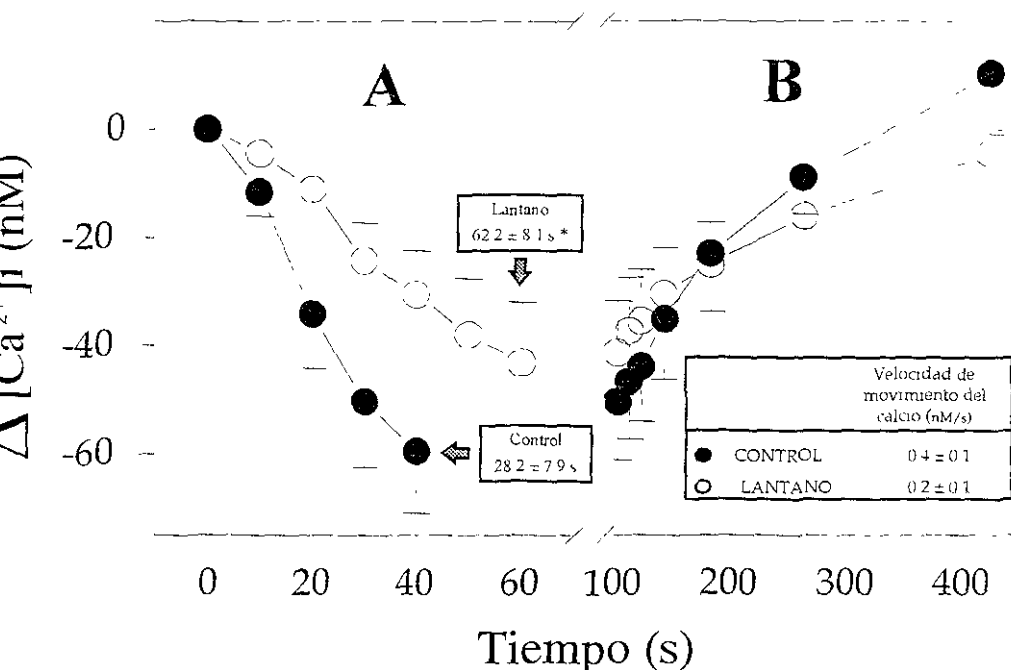
	Control	Benzamil amilorida 25 $\mu\text{M}$
<b>Valores del <i>undershoot</i> (s)</b>		
Duración	157.86 $\pm$ 41.33	140.58 $\pm$ 42.41
Caída	16.08 $\pm$ 3.41	25.76 $\pm$ 3.09
Recuperación	141.79 $\pm$ 40.36	133.65 $\pm$ 47.70
<b>[<math>\text{Ca}^{2+}</math>]i (nM)</b>		
Decremento	85 $\pm$ 13	84 $\pm$ 32

#### EFEITO DEL MAGNESIO, LANTANO Y NIQUÉL EN EL *UNDERSHOOT*

La incubación de las células de MLVA con 4 mM de magnesio o 200  $\mu$ M de lantano no produjo modificaciones en la basal de  $[Ca^{2+}]_i$ . El magnesio no modificó al *undershoot* ( $n=4$ , Fig. 19) El lantano retardó significativamente el curso temporal del decreto inicial de las  $[Ca^{2+}]_i$  durante el *undershoot*, pero sin modificar a la recuperación ( $p<0.005$ ,  $n=6$ , Fig. 20).



Registro original del efecto del magnesio (4 mM) en el *undershoot* generado por el lavado de catéteras aisladas de ML traqueal de bovino. El inserto muestra los registros sobreimpuestos del *undershoot* adjacentes a la figura anterior.

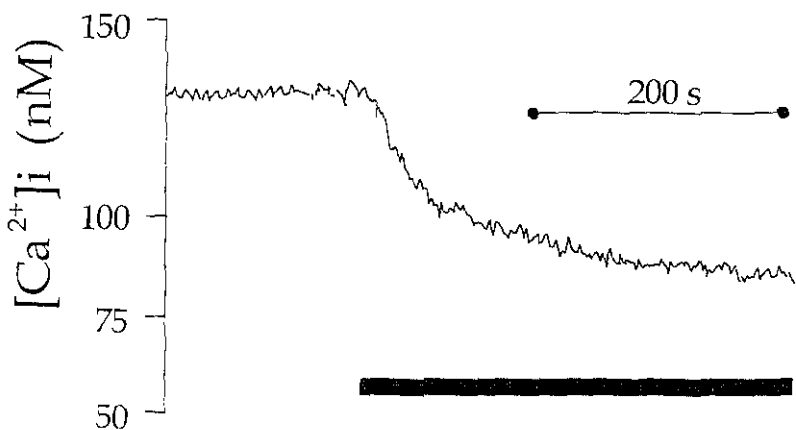


0. Efecto del lantano en el *undershoot* generado por el lavado de cafeína en células aisladas de ML de bovino. A) Curso temporal del decremento de  $[Ca^{2+}]_i$  durante el *undershoot* en KRH normal (círculos negros) y medio adicionado con lantano (0.2 mM, círculos blancos). Las flechas señalan el momento donde se obtuvo el decremento máximo con su respectivo valor. B) Continuación del curso temporal del *undershoot* desde el inicio de la recuperación.  $n=6$ , \* $p<0.005$ .

La incubación con níquel (1 mM) disminuyó las  $[Ca^{2+}]_i$  hasta alcanzar una nueva basal después de 5 min ( $79 \pm 11$  nM,  $n=6$ , Fig. 21). La remoción del níquel restauró las  $[Ca^{2+}]_i$  iniciales (Fig. 22A).

Se ha propuesto que el níquel induce el apagado del Fura-2 (Merrit y col., 1989). Sin embargo, como se puede ver en la figura 22A, las señales de 340 y 380 nm durante la perfusión con níquel no fueron modificadas.

La incubación continua con 1 mM de níquel produjo una reducción significativa del  $71.4 \pm 3.3\%$  de la respuesta a cafeína ( $p < 0.01$ , control=  $620 \pm 101$  nM, níquel=  $167 \pm 28$  nM,  $n=13$ , Fig. 22A y B). Esta reducción no fue progresiva, pues estimulaciones repetidas con esta metilxantina generaron respuestas similares (Fig. 22B). La velocidad de recuperación del *undershoot* en presencia de níquel fue significativamente menor tanto en un medio normal ( $p < 0.001$ ,  $1.8 \pm 0.3$  nM/s,  $n=8$ ; con níquel=  $0.1 \pm 0.02$  nM/s,  $n=8$ ) como en un medio despolarizante ( $p < 0.01$ ,  $1.3 \pm 0.4$  nM/s,  $n=4$ ; con níquel=  $0.2 \pm 0.1$  nM/s,  $n=4$ ) con respecto al control sin níquel.



21. Curso temporal de efecto del níquel (1 mM, barra) en la basal de  $[Ca^{2+}]_i$  en una célula de ML tráqueal bovino

#### EFEITO DEL CONTENIDO DE $\text{Ca}^{2+}$ DEL RS EN LA ENTRADA DE $\text{Ca}^{2+}$ EXTRACELULAR

Durante la incubación de las células en medio sin  $\text{Ca}^{2+}$  se observó un decremento significativo de la respuesta a cafeína desde los 2 min de iniciada la perfusión del medio sin  $\text{Ca}^{2+}$  ( $p < 0.05$ ,  $n = 6$ ; Fig. 23A y B). La incubación por mas de 10 min en medio sin  $\text{Ca}^{2+}$ , vació el contenido de este ión en el RS (Fig. 23B). La adición de 2 mM de  $\text{Ca}^{2+}$  a los 2, 4, 6 min de iniciada la incubación en un medio sin  $\text{Ca}^{2+}$ , produjo una entrada de  $\text{Ca}^{2+}$  extracelular que fue

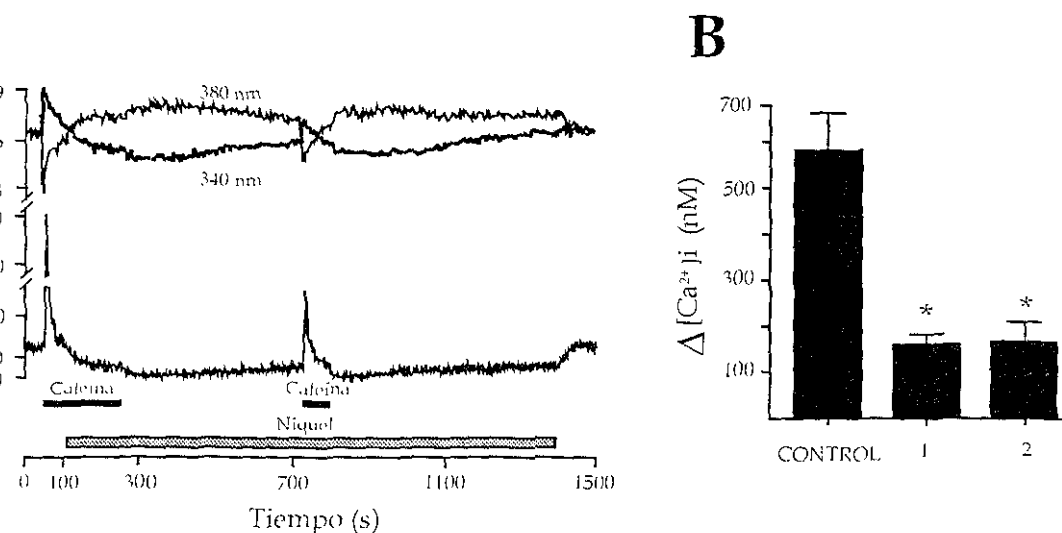
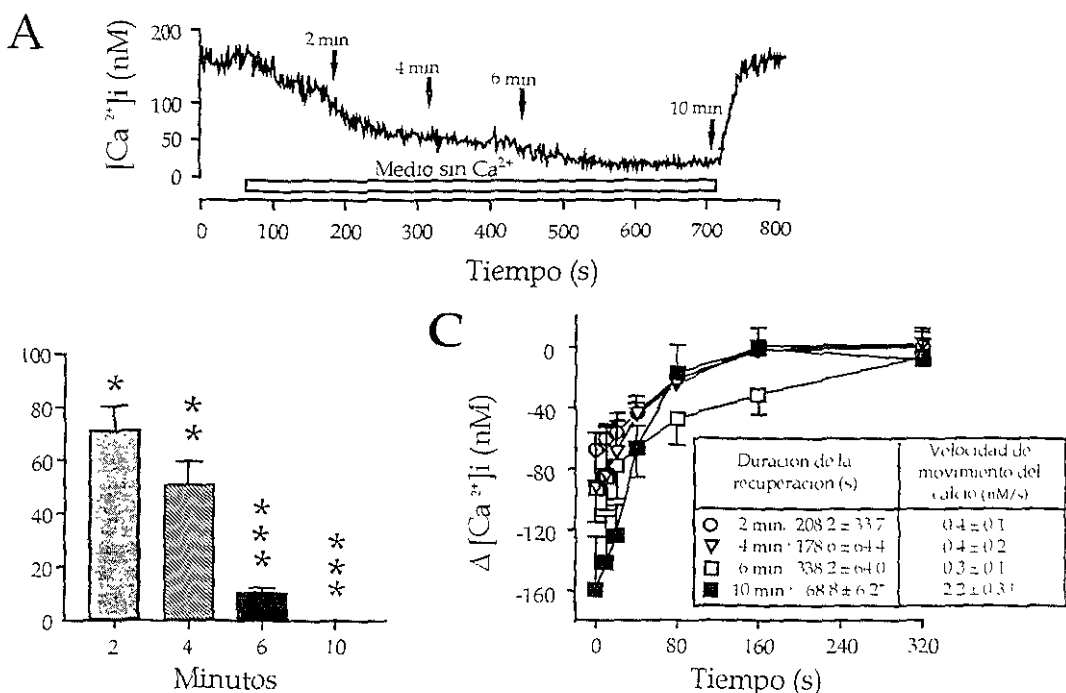


Fig. 23. Efecto del níquel en la respuesta a cafeína y el *washout* en células aisladas de ML tráqueal de A) Registro original del efecto del níquel (1 mM) en el  $[\text{Ca}^{2+}]_i$  y en la respuesta a cafeína (10 mM). B) Sta máxima a la cafeína en medio normal y la primera (1) y segunda (2) respuestas con presencia de  $\text{Ca}^{2+}$  ( $p < 0.05$ ).

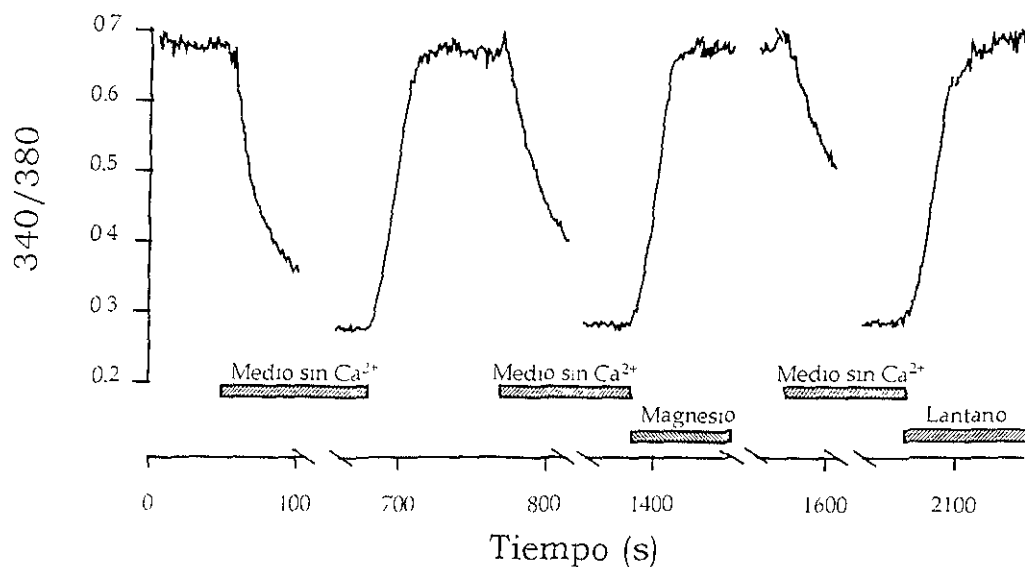
similar en los tres tiempos estudiados, es decir, que el tiempo necesario para alcanzar la basal de las  $[Ca^{2+}]_i$  previa a la incubación en un medio sin  $Ca^{2+}$  no fue diferente, así como la velocidad de movimiento de este ión. Sin embargo, a los 10 min, la entrada de  $Ca^{2+}$  extracelular fue mucho más rápida ( $p < 0.05$ ,  $n=6, 5, 6$  y  $5$  para  $2, 4, 6$  y  $10$  min; Fig. 23C).



3. Efecto del contenido de  $Ca^{2+}$  del RS en la recuperación de los niveles basales de las  $[Ca^{2+}]_i$  en s aisladas de ML traqueal de bovino. A) Registro original de un miocito incubado en medio sin  $Ca^{2+}$  superación de las  $[Ca^{2+}]_i$  se inicia al añadir 2 mM de  $Ca^{2+}$  al medio. B) Respuestas inducidas por la a (10 mM) en diferentes tiempos de iniciada la incubación en medio sin  $Ca^{2+}$ . El control que se fero para obtener los porcentajes correspondió a la respuesta a caténo en medio con  $Ca^{2+}$  después de experimento ( $n=6$ ). C) Curso temporal de la recuperación de la basal de  $[Ca^{2+}]_i$  de acuerdo a los tres tiempos de incubación en medio sin  $Ca^{2+}$  ( $n=6, 5, 6$  y  $5$  para  $2, 4, 6$  y  $10$  min respectivamente) ( $p < 0.05$  o  $< 0.001$  respectivamente en comparación con la respuesta en medio con  $Ca^{2+}$ ).

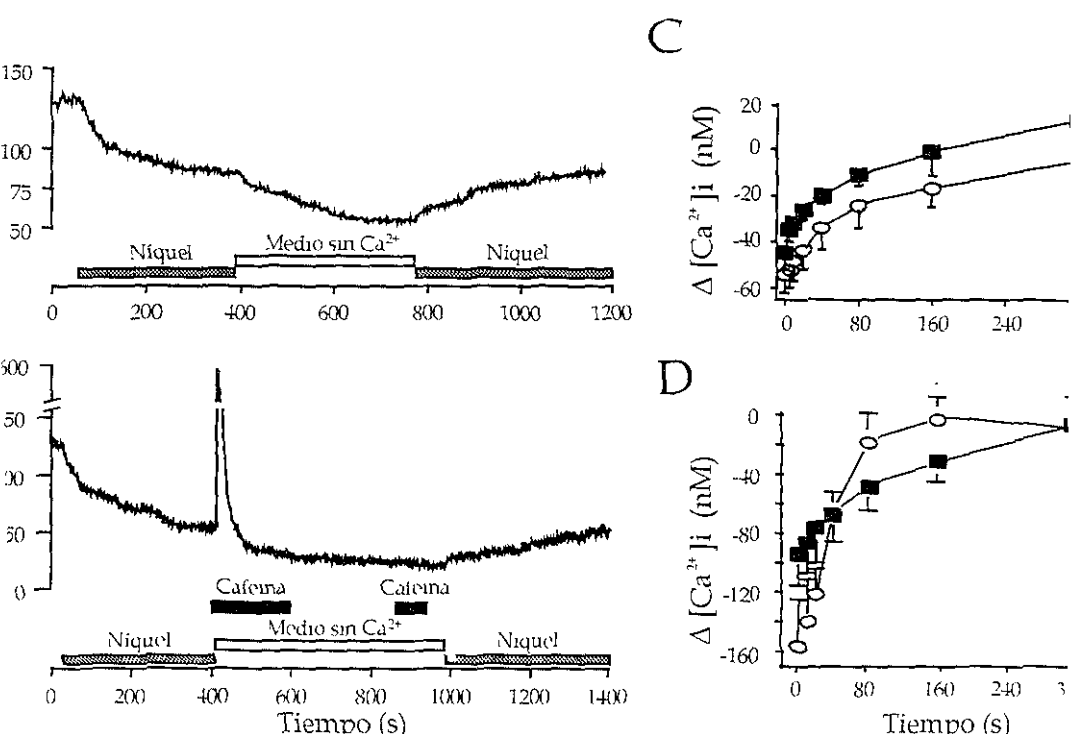
EFEITO DEL MAGNESIO, LANTANO Y NÍQUEL EN LA ENTRADA DE  $\text{Ca}^{2+}$  EXTRACELULAR  
EN CÉLULAS CON EL RS VACÍO

La presencia de magnesio (4 mM) o lantano (0.2 mM) no modificaron la entrada de  $\text{Ca}^{2+}$  extracelular en células incubadas por 10 min en medio sin  $\text{Ca}^{2+}$  ( $n=4$ , Fig. 24). Sin embargo, el níquel (1 mM) disminuyó significativamente la entrada de  $\text{Ca}^{2+}$  de  $2.2 \pm 0.3 \text{ nM/s}$  ( $p<0.001$ ; control,  $n=5$ ) a  $0.1 \pm 0.03 \text{ nM/s}$  (níquel:  $n=5$ ). Adicionalmente observamos que la entrada de  $\text{Ca}^{2+}$  en células incubadas durante 6 min en medio sin  $\text{Ca}^{2+}$  el níquel también modificó



24. Efecto del magnesio (4 mM) y el lantano (0.2 mM) en la entrada de  $\text{Ca}^{2+}$  extracelular después de al el contenido de  $\text{Ca}^{2+}$  del RS con estimulaciones con cateína en medio sin  $\text{Ca}^{2+}$  en células aisladas de tráquea de bovino

significativamente, esta entrada ( $0.2 \pm 0.03$  nM/s; Fig. 25). Cabe destacar que en ambos grupos la presencia de níquel produjo que la entrada de  $\text{Ca}^{2+}$  fuera similar.



5. Efecto del níquel (1 mM) en la recuperación de los niveles basales de las  $[\text{Ca}^{2+}]_i$  después de incubar  $\text{radio}$  sin  $\text{Ca}^{2+}$  a células aisladas de ML traqueal de bovino. Registros originales de miocitos incubados con níquel en medio sin  $\text{Ca}^{2+}$  por 6 min (A) y medio sin  $\text{Ca}^{2+}$  por 10 min, con estimulaciones con cafeína (B). La recuperación de las  $[\text{Ca}^{2+}]_i$  se inició al añadir 2 mM de  $\text{Ca}^{2+}$  y níquel al medio. C) Cursos temporales de la recuperación de las basales de  $[\text{Ca}^{2+}]_i$ . Los cuadrados corresponden a A y los círculos a B ( $n=5$ ). D) Cursos temporales de la recuperación de las basales de  $[\text{Ca}^{2+}]_i$  en los controles sin níquel a los 6 min ( $n=6$ , abajo) y 10 min ( $n=5$ , círculos) de incubar las células en medio sin  $\text{Ca}^{2+}$ .

## ESTUDIOS *in vitro* EN EL ML TRAQUEAL DE BOVINO

### REGISTRO SIMULTÁNEO DE LOS CAMBIOS EN EL $\text{Ca}^{2+}$ CITOSÓLICO Y LA CONTRACCIÓN DE TIRAS DE ML DE BOVINO

La administración de carbacol ( $10 \mu\text{M}$ ) a las tiras de ML traqueal produjo una respuesta bifásica del  $\text{Ca}^{2+}$  intracelular, un pico transitorio seguido de una meseta similar al de las células aisladas (Fig. 26A y B). Aunque las  $[\text{Ca}^{2+}]_i$  se mantuvieron en menos del 50% del valor inicial, el carbacol produjo una contracción sostenida en las tiras de ML (Fig. 26B). Cuando el tejido fue incubado en un medio sin  $\text{Ca}^{2+}$ , solo se observó el pico inicial y las

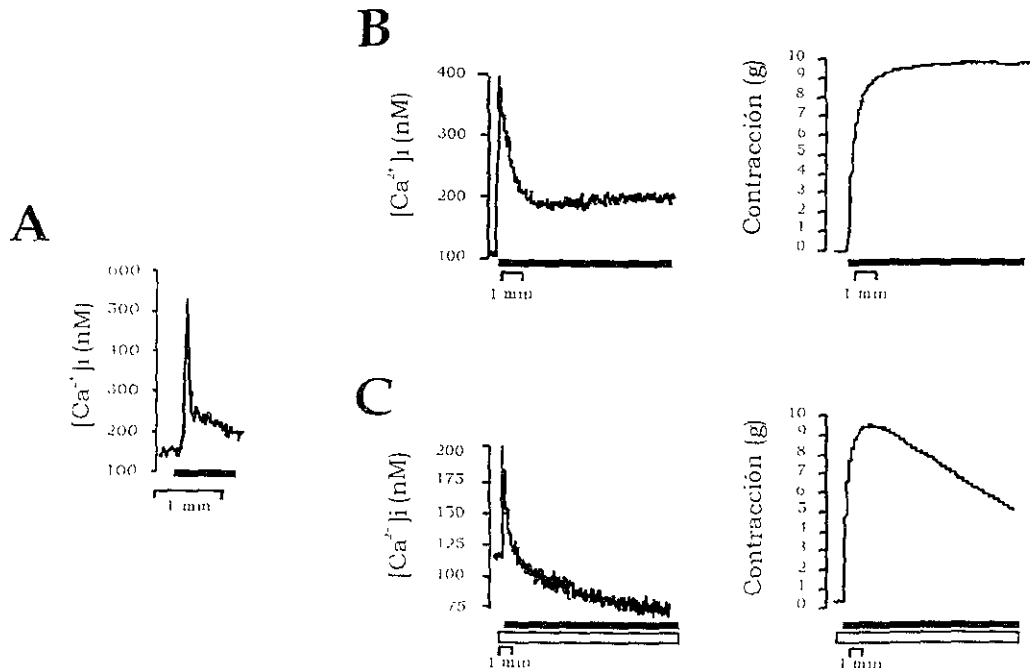


Fig. 26. Trazos representativos de las respuestas producidas en bovino por carbacol en una célula aislada (A) y en una tira de ML traqueal en un medio con  $\text{Ca}^{2+}$  (B) así como en un medio sin  $\text{Ca}^{2+}$  (C). El primero y segundo trazo de las figuras B y C muestran los registros simultáneos de las  $[\text{Ca}^{2+}]_i$  y la contracción en la misma preparación. La barra negra representa la adición de carbacol ( $10 \mu\text{M}$ ) y la barra blanca el medio sin  $\text{Ca}^{2+}$  que fue añadido 5 min antes del carbacol.

Una vez que se abatieron las respuestas a la histamina de los anillos bronquiales estimulados en medio sin  $\text{Ca}^{2+}$ , la adición de carbacol ( $n=6$ ) indujo una contracción sostenida (Fig. 28B y C). La preincubación con 10  $\mu\text{M}$  de ACP decrementó significativamente la contracción sostenida de los anillos bronquiales inducida con carbacol una vez que se les había vaciado el contenido de  $\text{Ca}^{2+}$  de los almacenes sensibles a histamina ( $n=7$ ; Fig. 29A). Por otro lado, la preincubación con ACP bloqueó parcialmente la primera respuesta sostenida inducida por histamina en medio sin  $\text{Ca}^{2+}$  ( $n=7$ , Fig. 29B).

La preincubación de los anillos bronquiales con EGTA 1 mM (30 min en medio sin

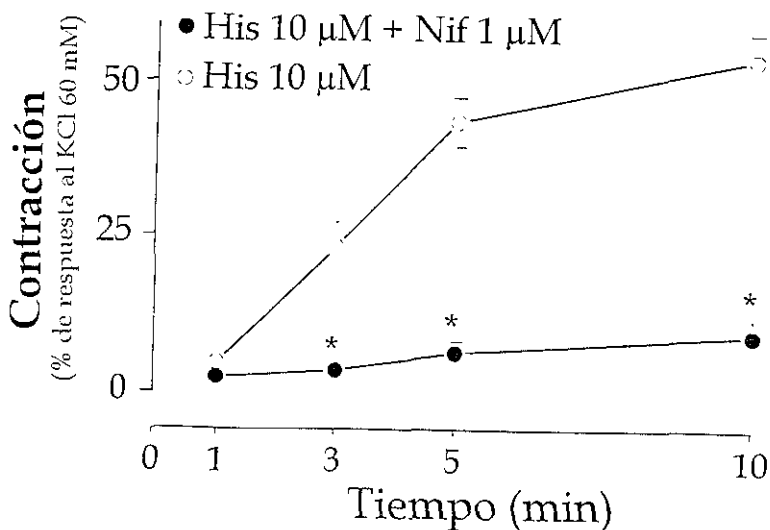
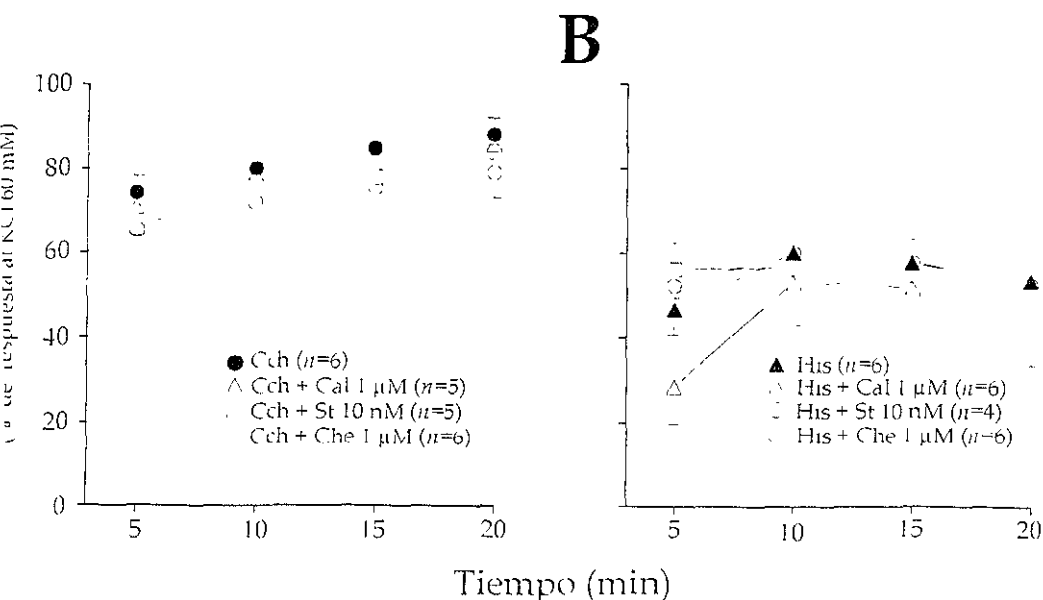


Fig. 30. Efecto de la preincubación con nifedipina (Nif, 10 min) en la contracción sostenida de los anillos bronquiales inducida por histamina (His) en medio sin  $\text{Ca}^{2+}$ .  $n=6$ , \*  $p<0.01$

$\text{Ca}^{2+}$ ,  $n=4$ ) disminuyó significativamente la primer respuesta a la histamina en medio sin  $\text{Ca}^{2+}$  (Fig. 29B). La adición de 1  $\mu\text{M}$  de nifedipina ( $n=6$ ) también inhibió la contracción inducida por histamina en medio sin  $\text{Ca}^{2+}$  (Fig. 30).

EFFECTO DE LA PKC EN LA CONTRACCIÓN DE LOS ANILLOS BRONQUIALES INDUCIDA POR CARBACOL Y POR HISTAMINA EN MEDIO SIN  $\text{Ca}^{2+}$

La contracción inducida por carbacol y por histamina en los anillos bronquiales no se modificó con la presencia de 1  $\mu\text{M}$  de calfostina C (Fig. 31;  $n=5$  y 6, respectivamente), 10  $\text{nM}$  de estaurosporina ( $n=5$  y 4, respectivamente) o 1  $\mu\text{M}$  de cheleritrina ( $n=6$ )



Efectos de la calfostina C (c.c), la estaurosporina (St) y la cheleritrina (Che) en la contracción a de los anillos bronquiales inducida por A) carbacol (Cch) y B) histamina (His) en medio sin  $\text{Ca}^{2+}$ .

## DISCUSIÓN

### PARTE I:

#### REGULACIÓN DE LAS $[Ca^{2+}]_i$ EN LAS CÉLULAS AISLADAS DE MLVA

La ausencia de  $Ca^{2+}$  del medio extracelular de las células de MLVA de bovino produjo una disminución continua de las  $[Ca^{2+}]_i$  hasta generar un nuevo estado basal. De manera simultánea, el contenido de  $Ca^{2+}$  del RS también fue disminuyendo. Esto podría sugerir que tanto en la membrana plasmática como en la del RS de estas células existe una salida importante de  $Ca^{2+}$  y que, debido a que no fue modificada por la despolarización, esta no depende del potencial de membrana. Se ha propuesto en el ML vascular, donde el RS es una estructura muy cercana a la membrana plasmática, que el RS funciona como una barrera superficial amortiguadora (BASA) de  $Ca^{2+}$  entre el medio extracelular y el mioplasma (van Breemen y col., 1995). En este modelo, el  $Ca^{2+}$  primero entra al espacio subplasmático, zona localizada entre el RS y la membrana plasmática y pasa al RS antes de difundirse hacia el mioplasma. Este mismo fenómeno se ha observado recientemente en el MLVA de perro (Janssen y col., 1999). Nosotros observamos que la salida de  $Ca^{2+}$  de la célula fue más rápida cuando el contenido de  $Ca^{2+}$  del RS fue vaciado con cafeína, una antina que libera  $Ca^{2+}$  de este almacén (Pessah y col., 1987, Baró y col., 1993). Esto pudiera indicar que la BASA de  $Ca^{2+}$  también puede funcionar en el sentido inverso, esto es, que el RS podría regular la salida de este íon de la célula y por eso cuando este es vaciado con cafeína, el RS reduce su capacidad de amortiguación y el  $Ca^{2+}$  citosólico se sale fácilmente de la célula en el medio sin  $Ca^{2+}$ .

Al retirar a la cafeína del medio de perfusión se produjo siempre un decremento reversible y transitorio de las  $[Ca^{2+}]_i$ . Este fenómeno conocido como *undershoot* ya se había observado en el ganglio simpático de sapo (Friel y Tsien, 1992), en el ML vascular y ventricular de rata (Baró y col., 1993), en las neuronas mientéricas (Kimball y col., 1996), el ML de vejiga urinaria (Ganitkevich e Isenberg, 1992; Yoshikawa y col., 1996) y el MLVA de cobayos (Sims y col., 1996). Algunos de estos autores concluyeron que el *undershoot* es resultado de la captura de  $Ca^{2+}$  por el RS (Friel y Tsien, 1992; Baró y col., 1993; Ganitkevich e Isenberg, 1992; Sims y col., 1996). Nuestros resultados confirman esta interpretación pues el ACP (5  $\mu M$ ) inhibió completamente al *undershoot* (Datos no mostrados).

La cafeína inhibió la respuesta al carbacol en las células de MLVA de bovino. Wang y colaboradores (1997) demostraron en el ML traqueal de caballo que para producirse la respuesta a la acetilcolina es necesaria la liberación de  $Ca^{2+}$  del RS. Es probable entonces que la inhibición de la respuesta al carbacol, producida por la cafeína, se haya debido a la falta de  $Ca^{2+}$  en el RS. Sin embargo, la inhibición que produce la cafeína en la fosfodiesterasa del AMPc pudo contribuir también a la inhibición de la respuesta al carbacol. El incremento del AMPc activa a la cinasa de proteína A, lo cual resulta en una inhibición de la fosfolipasa C, y consecuentemente en una disminución en la producción de IP<sub>3</sub> (Ding y col., 1997; Prestwich y Bolton, 1995). Además se ha propuesto que esta cinasa de proteína A fosforila al receptor de IP<sub>3</sub>, disminuyendo su actividad (Ding y col., 1997; Prestwich y Bolton, 1995). En este trabajo observamos que la incubación con cafeína relaja la contracción inducida por KCl de las as de músculo liso traqueal de bovino probablemente por la acumulación de AMPc.

Además, comprobamos que la inducción directa de la formación de AMPc con forskolina, un agonista de la adenilato ciclase, inhibió el 50% de la respuesta al carbachol en las células aisladas de MLVA. Estos resultados sugieren que además del vaciado de calcio del RS, el incremento en el AMPc producido por la cafeína contribuye al abatimiento de la respuesta al carbachol y que la anulación de la respuesta del carbachol se debía a que el RS se encontraba vacío por efecto de la cafeína.

### LA RECUPERACIÓN DEL *UNDERSHOOT*

En la actualidad se desconocen los mecanismos involucrados en la recuperación de la basal del  $\text{Ca}^{2+}$  citosólico durante el *undershoot*. Nuestra hipótesis fue que el  $\text{Ca}^{2+}$  involucrado en esta recuperación provenía del medio extracelular. De hecho si fuese así, la teoría de la BASA de  $\text{Ca}^{2+}$  podría explicar el lento incremento de las  $[\text{Ca}^{2+}]_i$  durante la recuperación del *undershoot*, debido a que el  $\text{Ca}^{2+}$  que entra a la célula es capturado primero por el RS antes de llegar al mioplasma. En este sentido, observamos que la recuperación del *undershoot* fue bloqueada en medio sin  $\text{Ca}^{2+}$ , lo que confirmaría su origen extracelular. En el MLVA, como en otras células excitables, la vía de entrada de  $\text{Ca}^{2+}$  más importante es a través de los canales de  $\text{Ca}^{2+}$  DV (Dolphin, 1996; Bourreau y col., 1991). De hecho se ha demostrado una vía directa para el relleno de  $\text{Ca}^{2+}$  del RS a través de los canales DV tipo L en el MLVA de perro estimulado con acetilcolina (Bourreau y col., 1991). Sin embargo, nosotros comprobamos que la inhibición con D600 o la inactivación de los canales de  $\text{Ca}^{2+}$  DV inducida por una despolarización sostenida con alto KCl en las células MLVA de bovino, no modifica la recuperación del *undershoot*. Probablemente esta vía

directa propuesta por Bourreau y colaboradores (1991) es activada sólo por agonistas como la acetilcolina y no por la cafeína.

El intercambiador  $\text{Na}^+/\text{Ca}^{2+}$  ha sido relacionado con la regulación de las  $[\text{Ca}^{2+}]_i$  al mantener la homeostasis de  $\text{Ca}^{2+}$  del espacio subplasmático de las células de ML vascular (van Breemen y col., 1995). No obstante, la participación del intercambiador  $\text{Na}^+/\text{Ca}^{2+}$  en la regulación de las  $[\text{Ca}^{2+}]_i$  en el MLVA ha sido cuestionada por otros autores (Fleishmann y col., 1996; Janssen y col., 1997). En este contexto, la inhibición del intercambiador con benzamil o la inducción de la inversión del intercambiador  $\text{Na}^+/\text{Ca}^{2+}$  al sustituir  $\text{NaCl}$  con  $\text{KCl}$  (Baartscheer y col., 1996) no modificaron al *undershoot*, sugiriendo que este transportador no participa en este fenómeno.

Para caracterizar los posibles mecanismos involucrados durante el *undershoot* utilizamos níquel, un metal ampliamente utilizado como bloqueador de canales de  $\text{Ca}^{2+}$ . El níquel tiene la ventaja de que produce efectos reversibles, no forma precipitados insolubles. Se sabe que, a bajas concentraciones, el níquel ( $<1\text{mM}$ ) es capaz de inhibir los canales de  $\text{Ca}^{2+}$  tipo T de células del nódulo sino-atrial y neuronas sensoriales (Fox y col., 1987; Hagiwara y col., 1988) y a altas concentraciones ( $>1\text{mM}$ ) las corrientes de los canales tipo L en ML vascular (Blackburn y Highsmith, 1990). En miocitos traqueales de bovino, Madison y colaboradores (1998) determinaron que el níquel decrementa la basal de  $\text{Ca}^{2+}$  a concentraciones de 0.3 mM y alcanza su máximo con 2 mM, pero ninguna de estas concentraciones vacía completamente el contenido de  $\text{Ca}^{2+}$  del RS. En este trabajo determinamos que el níquel (1 mM) es capaz de generar un nuevo estado basal con bajas concentraciones de  $\text{Ca}^{2+}$  tanto en el citosol como en el RS, que dura por horas y es reversible. De hecho estos resultados con níquel sugieren que la entrada pasiva de  $\text{Ca}^{2+}$  en

estas células es muy importante. Adicionalmente, el níquel inhibió la recuperación del *undershoot*, por lo que la entrada de  $\text{Ca}^{2+}$  por la vía sensible al níquel de alguna forma está participando en este fenómeno.

Se ha propuesto que el níquel inhibe la liberación de  $\text{Ca}^{2+}$  de los almacenes intracelulares (Nasu y col., 1993; Hughes y Schachter, 1994). Si esto fuera cierto, conforme el níquel ingresara a la célula se hubieran disminuido las señales del Fura-2 en vista de que este metal provoca cambios conformacionales en el marcador fluorescente que lo "apagan" (Shibuya y Douglas, 1992). Ya que no se observó este decremento, podemos descartar un efecto directo del níquel en el interior de célula, por lo que se restringe la acción del níquel a sus efectos en la membrana plasmática.

En las células no excitables, Putney (1986, 1997) propuso la *Teoría de la entrada capacitativa de  $\text{Ca}^{2+}$*  que plantea un mecanismo en donde se genera el ingreso de  $\text{Ca}^{2+}$  extracelular cuando se vacían los almacenes intracelulares de este ión. Esta vía de entrada de  $\text{Ca}^{2+}$  se activa cuando los almacenes se vacían y se inactiva cuando se llenan. En el ML de tráquea de humano se ha descrito un incremento continuo de las  $[\text{Ca}^{2+}]_i$  debido a la entrada de  $\text{Ca}^{2+}$  después de vaciar al RS, de la misma forma como sucede con la entrada capacitativa de  $\text{Ca}^{2+}$  descrita en células no excitables (Amrami y col., 1995). Debido a que comprobamos que la cafeína vacía el contenido de  $\text{Ca}^{2+}$  del RS, consideramos posible que la recuperación del *undershoot* pudiera deberse a la entrada capacitativa de  $\text{Ca}^{2+}$ . Se ha demostrado que el níquel inhibe parcialmente la entrada capacitativa de  $\text{Ca}^{2+}$  (Hoth y Penner, 1993). Nosotros encontramos que 1 mM de níquel retraso considerablemente la recuperación del *undershoot*. Sin embargo, la incubación con otros inhibidores de la entrada capacitativa como el magnesio (4 mM) y el lanitano (0.2 mM) a concentraciones

capaces de bloquear la entrada capacitativa en los ML traqueal y vascular (Yang, 1998; Yoshimura y col., 1996), no afectaron la recuperación del *undershoot*. Asimismo estos cationes, magnesio y lantano, no afectaron la basal de  $\text{Ca}^{2+}$  como en el caso del níquel, lo que pudiese indicar que los primeros no comparten la inhibición de los mismos canales de  $\text{Ca}^{2+}$  que el níquel. Es probable entonces que la vía de entrada de  $\text{Ca}^{2+}$  sensible al níquel, posiblemente una vía pasiva de entrada de  $\text{Ca}^{2+}$ , sea la vía que este participando de manera importante en la recuperación del *undershoot*. Otra hipótesis es que la entrada capacitativa de  $\text{Ca}^{2+}$  en estas células sea a través de canales insensibles a lantano y magnesio. Se necesitan más experimentos para comprobar ambas hipótesis.

En este trabajo se demostró que el lantano (0.2 mM) produjo un retraso del decremento máximo al inicio del *undershoot*. Es conocido que este decremento depende totalmente de la bomba de  $\text{Ca}^{2+}$  del RS. Previamente, Ganitkevich e Isenberg (1992) observaron que el uso de 3 mM de lantano bloqueó totalmente al *undershoot*. Se sabe que este catión es permeable a las células de ML vascular a concentraciones superiores a 0.25 mM (Shibuya y Douglas, 1992; Shimizu y col., 1997). Aunque utilizamos una concentración de este catión que supuestamente evita que entre en la célula (0.2 mM) (Shimizu y col., 1997), al retrasar el inicio del *undershoot*, sugiere que esta concentración de lantano penetra a la celula y probablemente inhibe a la bomba de  $\text{Ca}^{2+}$  del RS, por lo que no es recomendable utilizar esas concentraciones para estudiar este fenómeno.

#### REGULACION DE LA ENTRADA DE $\text{Ca}^{2+}$ POR EL CONTENIDO DE $\text{Ca}^{2+}$ DEL RS

existen pocos trabajos donde se estudió la relación entre el contenido de  $\text{Ca}^{2+}$  de los líquidos intracelulares y la regulación de la entrada de este ion a la célula. En este

sentido, se sabe que en células no excitables hay una relación entre la cantidad de  $\text{Ca}^{2+}$  del almacén y el curso temporal de la entrada de este ión (Jacob, 1990; Montero y col., 1993). En las células de MLVA de bovino se observó que la perfusión de medio sin  $\text{Ca}^{2+}$  produjo una disminución de las  $[\text{Ca}^{2+}]_i$  y que la reposición de  $\text{Ca}^{2+}$  al medio de perfusión (2 mM), produjo un incremento de las  $[\text{Ca}^{2+}]_i$  hasta alcanzar la basal inicial. El incremento de las  $[\text{Ca}^{2+}]_i$  tuvo la misma velocidad independientemente de que el contenido de  $\text{Ca}^{2+}$  del RS fuese del 10 o del 80%, pero se volvía mucho más rápida cuando se vaciaba completamente este almacén (Fig. 23). Las diferencias significativas en la velocidad del incremento de las  $[\text{Ca}^{2+}]_i$  pudiesen reflejar la activación de un mecanismo diferente de entrada de  $\text{Ca}^{2+}$  entre las células con el RS parcialmente vacío, con las que tienen este almacén totalmente vacío. El níquel inhibió la recuperación a la basal de las células con el RS parcial o totalmente vacío, sugiriendo que todos estos mecanismos comparten la sensibilidad a este catión. De esta manera el níquel, al ser una herramienta inespecífica, nos impidió disecar farmacológicamente los mecanismos que pudieran diferenciar la entrada de  $\text{Ca}^{2+}$  cuando el RS estaba parcialmente vacío de cuando estaba totalmente vacío. Sin embargo, el magnesio, otro catión con efectos muy similares al níquel como inhibidor de la entrada capacitativa (Yoshimura y col., 1996), no afectó a la recuperación de las células con el RS vacío. Adicionalmente, el lantano, potente bloqueador de las corrientes de entrada capacitativa de  $\text{Ca}^{2+}$ , la bomba de  $\text{Ca}^{2+}$  plasmática y prácticamente cualquier entrada y salida de  $\text{Ca}^{2+}$  (Hoth y Penner, 1993, Hille, 1991) tampoco afectó la recuperación de las células con RS vacío. Estos resultados con lantano y magnesio sugieren que es probable que en estas células los canales que están participando en la entrada capacitativa de  $\text{Ca}^{2+}$  sean de un subtipo insensible a lantano y magnesio. Martínez et al.

una gran acumulación de fosfatos de inositol en el MLVA de perro (Bazán-Perkins y col., 1998; Carbajal, 1998). No obstante, en este mismo tejido la histamina no induce un incremento significativo en la acumulación los fosfatos de inositol, sugiriendo que este autacoide moviliza pobremente  $\text{Ca}^{2+}$  del RS (Bazán-Perkins y col , 1998; Carbajal, 1998). La deficiente producción de fosfatos de inositol generada por la histamina coincide con la pequeña respuesta de contracción del ML en perro y bovino inducida por este agonista en el medio sin  $\text{Ca}^{2+}$ . Podemos entonces sugerir que la contracción sostenida de los anillos bronquiales de perro inducida por la histamina en un medio sin  $\text{Ca}^{2+}$  moviliza este ión de una fuente diferente a la relacionada con los receptores a  $\text{IP}_3$  del RS.

La posible existencia de otro almacén de  $\text{Ca}^{2+}$  en la contracción sostenida de los anillos bronquiales inducida por histamina esta apoyada en el hecho de que el carbachol aún produce una respuesta sostenida en tejidos a los que previamente se les agotó el contenido de  $\text{Ca}^{2+}$  de los almacenes sensibles a este autacoide. Esta respuesta al carbachol fue bloqueada con ACP, lo que sugiere que este almacén es el RS. Altas concentraciones de EGTa (1 mM) pueden bloquear la contracción generada por carbachol que no se inhibió con ACP (Montaño y col , 1996), apoyando la hipótesis de que el  $\text{Ca}^{2+}$  proviene de dos fuentes, I RS (sensible a ACP) y una probable fuente en la membrana extracelular sensible a EGTa mV (insensible a ACP) Es probable que la disección del ML pueda dañar esta fuente y por eso solo se observa en bronquios (Montaño y col., 1996). Esta fuente extracelular de  $\text{Ca}^{2+}$  podrían ser las caveolae, invaginaciones de la membrana de 50-100 nm observadas en células de ML de utero, intestino delgado y vasos sanguíneos así como endotelio almonar, músculo cardíaco y fibroblastos (Fujimoto 1993; Schnitzer y col , 1995; Isshiki y Anderson, 1999) Recientemente Darby y colaboradores (1997) encontraron que en la parte

de la membrana plasmática del ML de tráquea de perro se marcó intensamente con caveolina, un marcador para caveolae, sugiriendo la presencia de caveolae en este tejido. Adicionalmente estos investigadores encontraron que estas caveolae contienen grandes cantidades de canales de  $\text{Ca}^{2+}$  tipo L, bombas de  $\text{Ca}^{2+}$  de membrana plasmática, calsequestrina y calreticulina, estas dos últimas proteína a la que se unen el  $\text{Ca}^{2+}$  (Darby y col , 1997 y 2000; Shaul y Anderson, 1998). Igualmente, se ha demostrado que las caveolae son sitios de la membrana plasmática donde se encuentran una gran variedad de moléculas relacionadas con la transducción de señales. proteínas G, fosfoinosítidos, receptores a  $\text{IP}_3$  y algunas enzimas relacionadas con fosfoinosítidos (Hope y Pike, 1996, Li y col., 1995; Song y col., 1996 y 1997; Shaul y Anderson, 1998,). Debido a que en el ML el RS es una estructura muy superficial, hay espacios de gran proximidad entre las caveolae y el RS (Gabella, 1981). En su conjunto todas estas evidencias podrían sugerir que el MLVA está provisto de caveolae que podrían funcionar como almacenes de  $\text{Ca}^{2+}$  para contribuir con este ión durante la contracción sostenida. A favor de esta hipótesis, Shaul y Anderson (1998) y Isshiki y Anderson (1999) recientemente propusieron que las caveolae parecen estar involucradas en la regulación de señales de  $\text{Ca}^{2+}$  en la superficie celular.

Por otro lado, Wheeler-Clark y Buja (1995) demostraron que el glicocalix de células de ML vascular de perro puede servir como una superficie restringida que evita la pérdida de  $\text{Ca}^{2+}$  extracelular en las vecindades de la célula en medio sin  $\text{Ca}^{2+}$ . En los anillos bronquiales la presencia de este mecanismo podría explicar por qué los almacenes de la membrana extracelular mantienen su contenido de  $\text{Ca}^{2+}$  en medio sin  $\text{Ca}^{2+}$ . La liberación de  $\text{Ca}^{2+}$  de estos depósitos podría estar asociada a la apertura de canales de  $\text{Ca}^{2+}$  tipo L. En este contexto, se ha demostrado que la nuedipima (1 uM) bloquea la contracción sostenida

producida por carbacol en medio sin  $\text{Ca}^{2+}$  en los anillos bronquiales de perro (Montaño y col., 1996), sugiriendo que los canales de  $\text{Ca}^{2+}$  tipo L de estos almacenes extracelulares pudiesen estar involucrados. Esto implica que el carbacol induce la apertura de los canales de  $\text{Ca}^{2+}$  DV (Janssen, 1997). La estimulación de los receptores  $\text{H}_1$  tienen una acción similar, pues la respuesta sostenida inducida por la histamina en un medio sin  $\text{Ca}^{2+}$  fue bloqueada completamente con nifedipina ( $1 \mu\text{M}$ ). Por otra parte, la adición de  $1 \text{ mM}$  de EGTA con el objetivo de reducir la cantidad de  $\text{Ca}^{2+}$  del almacén extracelular de  $\text{Ca}^{2+}$ , inhibió totalmente la contracción sostenida de los anillos bronquiales generada por histamina. Esto indica que la histamina probablemente movilizó  $\text{Ca}^{2+}$  de los almacenes extracelulares.

La posible fuente de  $\text{Ca}^{2+}$  extracelular sensible a histamina requiere de la actividad de la bomba de  $\text{Ca}^{2+}$  sensible a ACP, pues este inhibidor bloquea el 47% de la contracción sostenida inducida por histamina en medio sin  $\text{Ca}^{2+}$ . Esta inhibición fue menor a la observada en el caso del carbacol (82%), mostrando que la bomba de  $\text{Ca}^{2+}$  presente en estos almacenes extracelulares es menos sensible al ACP que los del RS. Además esto podría indicar que la actividad de la bomba de  $\text{Ca}^{2+}$  de los almacenes de la membrana extracelular para la movilización de  $\text{Ca}^{2+}$  es menos importante cuando el RS no es vaciado por la formación de inositoles. Por otro lado, la inhibición de la respuesta a la histamina inducida por el ACP en medio sin  $\text{Ca}^{2+}$  también pudiera ser explicada por el incremento inicial de  $\text{Ca}^{2+}$ , debido a la apertura de los canales de  $\text{Ca}^{2+}$  tipo L de los almacenes de la membrana extracelular, que parcialmente movilizarían el  $\text{Ca}^{2+}$  proveniente de los canales de  $\text{Ca}^{2+}$  sensibles a nanodina. Estos receptores han sido observados en el RS del MIVIA (Yamaguchi y col., 1995).

La cantidad de  $\text{Ca}^{2+}$  intracelular requerida para mantener la contracción sostenida debe ser pequeña. Durante un estímulo colinérgico en las tráqueas de perro y bovino, las  $[\text{Ca}^{2+}]_i$  se incrementan transitoriamente y descienden a niveles ligeramente superiores sobre la basal inicial, mientras la contracción es sostenida todo el tiempo (Takuwa y col., 1987; Yang y col., 1993b). Este fenómeno fue atribuido a la PKC debido a que esta proteína reduce el requerimiento de  $\text{Ca}^{2+}$  intracelular para mantener la contracción (Park y Rasmussen, 1985; Takuwa y col., 1987). Aunque la activación de la PKC ha sido involucrada en las respuestas sostenidas del MLVA (Gerthoffer, 1991; Rossetti y col., 1995; Roux y col., 1995), no hay un acuerdo acerca de su papel. Las isoenzimas de la PKC dependientes e independientes de  $\text{Ca}^{2+}$  se encuentran en el MLVA (Donnelly y col., 1995). Sin embargo la contracción sostenida de los anillos bronquiales inducida por carbachol o histamina en medio sin  $\text{Ca}^{2+}$  no fue bloqueada por los inhibidores de la PKC calfostina C, cheleritrina o estaurosporina sugiriendo que la PKC no está involucrada en este fenómeno.

Los antecedentes antes mencionados sugieren que el  $\text{Ca}^{2+}$  movilizado por el carbachol para la contracción sostenida del MLVA en un medio sin  $\text{Ca}^{2+}$  pudiese provenir de dos estructuras, una intracelular, el RS, y otra en la membrana plasmática, las caveolae. Recientemente Carbajal y colaboradores (1999) demostraron que la contracción sostenida de los anillos bronquiales de perro es inhibida con rojo de rutenio, un bloqueador de los canales de  $\text{Ca}^{2+}$  de RS sensibles a rianodina. Esto podría indicar que debido a la existencia de sitios donde la membrana del almacén extracelular y el RS se encuentran muy próximos (Gabella, 1983), esta organización puede generar señales locales de  $\text{Ca}^{2+}$  de gran magnitud y por períodos de tiempo más prolongados que en el resto de la célula (Kargacin, 1994). Como resultado podría liberarse  $\text{Ca}^{2+}$  localmente tanto del RS, por la

activación de receptores sensibles a rianodina, como de los almacenes extracelulares, por los canales tipo L activados por despolarización (Montaño y col., 1996) regenerando el incremento de  $\text{Ca}^{2+}$  en estos espacios y después, tras la suma de señales de origen similar, generar ondas de  $\text{Ca}^{2+}$  con posibilidad de difundirse en toda la célula (Kargacin, 1994). De esta manera después de haberse iniciado la movilización de  $\text{Ca}^{2+}$  por la acción de un agonista, la respuesta puede mantenerse generando la contracción bronquial sostenida.

En conclusión, nuestros resultados sugieren que la contracción sostenida de los anillos bronquiales en medio sin  $\text{Ca}^{2+}$  es independiente de la actividad de la PKC y el  $\text{Ca}^{2+}$  necesario para esta respuesta inducida por carbacol proviene de dos fuentes: la sensible a ACP (el RS) y una fuente de la membrana extracelular sensible a 1 mM de EGTA, probablemente las caveolae y el glicocalix. La histamina aparentemente sólo moviliza  $\text{Ca}^{2+}$  de la fuente de  $\text{Ca}^{2+}$  de la membrana extracelular y este almacén depende de los canales de  $\text{Ca}^{2+}$  tipo L.

## PERSPECTIVAS

El  $\text{Ca}^{2+}$  es un mensajero primordial en la contracción del MLVA. El principal depósito de  $\text{Ca}^{2+}$  en la célula es el RS. Como observamos en este trabajo, este almacén tiene un importante papel como amortiguador del  $\text{Ca}^{2+}$  en la célula. También observamos que las fuentes de  $\text{Ca}^{2+}$  de la membrana plasmática, posiblemente las caveolae y el glicocalix, contienen el suficiente  $\text{Ca}^{2+}$  para mantener la contracción bronquial en un medio sin  $\text{Ca}^{2+}$ . Es probable que la fuente de  $\text{Ca}^{2+}$  de la membrana plasmática también sea un sistema de amortiguamiento de  $\text{Ca}^{2+}$  en la célula como lo es el RS. ¿Porque es tan importante que existan tantos mecanismos de amortiguamiento de  $\text{Ca}^{2+}$  en las células de MLVA? Este tejido esta involucrado fuertemente en patologías como el asma, donde el MLVA se contrae exageradamente reduciendo el calibre de las vías aéreas. En este contexto, los mecanismos que mantienen el gradiente de  $\text{Ca}^{2+}$  de 20,000 veces menor en el medio intracelular del extracelular deben ser muy eficientes para evitar que se generen respuestas patológicas en el MLVA. De esta manera cada sistema que participa en la regulación del  $\text{Ca}^{2+}$  en las células permite un mayor control en la contracción.

Sería interesante estudiar a las caveolae como un sistema de amortiguamiento de  $\text{Ca}^{2+}$ , y su posible relación con el RS. Para esto es necesario usar herramientas como el medio sin  $\text{Ca}^{2+}$  y el ACP, que nos permitan distinguir entre el  $\text{Ca}^{2+}$  de las caveolae del  $\text{Ca}^{2+}$  del medio extracelular y del  $\text{Ca}^{2+}$  del RS. Recientemente nosotros observamos que es necesaria la activación del receptor-canal de rianodina para que se lleve a cabo la contracción bronquial sostenida en un medio sin  $\text{Ca}^{2+}$  (Carbajal y col., 2000). Una pregunta a realizar sería determinar si estos receptor-canales podrían encontrarse en las caveolae y

se podría contestar ya sea utilizando un doble marcaje con anticuerpos contra los receptores de rianodina y caveolina-1, o funcionalmente estimulando con cafeína a bronquios previamente incubados con CPA en medio sin  $\text{Ca}^{2+}$ .

Finalmente se exploraría la posible existencia de canales TRP en estas células así como su distribución en la membrana plasmática, con el fin de observar si se encuentran en las caveolae. Por otro lado sería interesante determinar si la entrada capacitativa de  $\text{Ca}^{2+}$  se puede producir por el vaciamiento del  $\text{Ca}^{2+}$  de las caveolae.

## REFERENCIAS

1. Al-Hassani M.H., García J.G., Gunst S.J. Different  $\text{Ca}^{2+}$  mobilization by muscarinic agonist in tracheal smooth muscle. *Am J Physiol* **264** (*Lung Cell. Mol Physiol* 8). L53-L59, 1993.
2. Amrani Y., Magnier C., Enouf J., Wuytack F., Bronner C.  $\text{Ca}^{2+}$  increase and  $\text{Ca}^{2+}$ -influx in human tracheal smooth muscle cells: Role of  $\text{Ca}^{2+}$  pools controlled by sarco-endoplasmic reticulum  $\text{Ca}^{2+}$ -ATPase 2 isoform. *Br J Pharmacol* **115**: 1205-1210, 1995.
3. Baartscheer A., Schumacher C.A., Ophof T., Fiolet J.W.T. The origin of increasing cytoplasmic calcium upon reversal of the  $\text{Na}^+$ / $\text{Ca}^{2+}$  exchanger in isolated rat ventricular myocytes. *J Mol Cell Cardiol* **28**: 1963-1973, 1996.
4. Barnes P.J. Pharmacology of airway smooth muscle. *Am J Respir Crit Care Med* **158**: s123-132, 1998.
5. Baró I., O'Neill S.C., Eisner D.A. Changes of intracellular  $[\text{Ca}^{2+}]$  during refilling of sarcoplasmic reticulum in rat ventricular and vascular smooth muscle. *J Physiol Lond* **465**: 21-41, 1993.
6. Baron C.B., Cunningham M., Straus J.F., Coburn R.F. Pharmacomechanical coupling in smooth muscle may involve phosphatidylinositol metabolism. *Proc Natl Acad Sci USA* **81**: 6899-6903, 1984.
7. Bazán-Perkins B. Participación de un factor humorar en la contracción bronquial sostenida inducida por carbacol en un medio sin calcio. Tesis de Maestría en Ciencias Fisiológicas, 1994.
8. Bazán-Perkins B., Carballo V., Sommer B., Macías-Silva M., González-Martínez M., Valenzuela F., Daniel E., Montaño L.M. Involvement of different  $\text{Ca}^{2+}$  pools during the canine bronchial sustained contraction in  $\text{Ca}^{2+}$  free medium. Lack of effect of PKC inhibition. *Naunyn Schmiedeberg's Arch Pharmacol* **358**:567-573, 1998.
9. Beavo J.A., Reifsnyder D.H. Primary sequence of cyclic nucleotide phosphodiesterase isoenzymes and the design of selective inhibitors. *Trends Pharmacol Sci* **11**: 150-155, 1990.
10. Berridge J. M. Inositol triphosphate and calcium signaling. *Nature* **361**: 315-325, 1993.
11. Berridge J. M. Capacitative calcium entry. *Biochem J* **312**: 1-11, 1995.
12. Birnbaumer L., Zhu X., Jiang M., Boulay G., Peyton M., Vannier B., Brown D., Platano D., Sadeghi H., Stefani E. On the molecular basis and regulation of cellular capacitive calcium entry: Roles for TRP proteins. *Proc Natl Acad Sci* **93**:15195-15202, 1996.
13. Blackburn K., Highsmith R.F. Nickel inhibits endothelin-induced contractions on vascular smooth muscle. *Am J Physiol* **258** (*Cell Physiol* 27): C1025-1030, 1990.

14. Bourreau J.-P., Abela A.P., Kwan C.Y., Daniel E.E. Acetylcholine  $\text{Ca}^{2+}$  stores refilling directly involves a dihydropyridine-sensitive channel in dog trachea. *Am J Physiol* **261** (Cell Physiol 30), C497-C505, 1991.
15. Bridge J.H.B. Na-Ca exchange currents: Transport physiology, pumps and exchangers en: *Cell Physiology Source Book* Second edition, Academic press 237-252, 1998.
16. Carafoli E., Stauffer T. The plasma membrane calcium pump: Functional domains, regulation of the activity, and tissue specificity of isoform expression. *J Neurobiol* **25**: 312-324, 1994.
17. Carbajal V. Contracción bronquial sostenida en un medio sin calcio: Participación del trifosfato de inositol. Tesis de Maestría en Ciencias Biomédicas. Marzo, 1998.
18. Carbajal V., Bazán-Perkins B., Vargas M.H., Montaño L.M. Canine bronchial sustained contraction induced by carbachol in  $\text{Ca}^{2+}$ -free medium depends on ryanodine  $\text{Ca}^{2+}$  receptors activation. *Am J Respir Crit Care Med* **161**: A694, 1999.
19. Castagna M., Takai Y., Kaibuchi K., Sano K., Kikkawa U., Nishizuka Y. Direct activation of calcium-activated, phospholipid-dependent protein kinase by tumor-promoting phorbol esters. *J Biol Chem* **257**: 7847-7851, 1982.
20. Challis R.A., Adams D., Mistry R., Boyle J.P. Second messenger and ionic modulation of agonist-stimulated phosphoinositide turnover in airway smooth muscle. *Biochem Soc Trans* **21**: 1138-1145, 1993.
21. Clapham D.E. Calcium signaling. *Cell* **80**: 259-268, 1995
22. Cuthbert N.J., Gardiner P.J., Nash K., Poli C.T. Roles of  $\text{Ca}^{2+}$  influx and intracellular  $\text{Ca}^{2+}$  release in agonist-induced contraction in guinea pig trachea. *Am J Physiol* **266** (Lung Cell Mol Physiol 10), L620, 1994
23. Daly J.W. Adenosine receptors: Targets for future drugs. *J Med Chem* **25**: 197-207, 1982.
24. Darby P.J., Janssen L.J., Daniel E.E. Caveolae membranes from canine smooth muscle contain L-type  $\text{Ca}^{2+}$  channels but not IP<sub>3</sub> receptors. *Am J Respir Crit Care Med* **155**: A609, 1997.
25. Darby P.J., Kwan C.Y., Daniel E.E. Selective inhibition of oxalate-stimulated  $\text{Ca}^{2+}$  transport by cyclopiazonic acid and thapsigargin in smooth muscle microsomes. *Can J Physiol Pharmacol* **74**: 182-192, 1996
26. Darby P.J., Kwan C.Y., Daniel E.E. Caveolae from canine airway smooth muscle contain the necessary components for a role in  $\text{Ca}^{2+}$  handling. *Am J Physiol Lung Cell Mol Physiol* **279**: L1226-L1235, 2000
27. Davkin K., Widdop S., Hall I.P. Control of histamine induced inositol phospholipid hydrolysis in cultured human tracheal smooth muscle cells. *European J Pharmacol* **240**: 135-140, 1993.

28. De S.H., Missiaem L., Parys J., Bootman M., Mertens L., Van D., Casteels R. Determination of relative amounts of inositol triphosphate receptor in mRNA isoforms by ratio polymerase chain reaction *J Biol Chem* **269**: 21691-21698, 1994
29. Ding K., Husain S., Akhtar R., Isales C., Abdel-Latif A. Inhibition of muscarinic-stimulated polyphosphoinositide hydrolysis and  $\text{Ca}^{2+}$  mobilization in cat iris sphincter smooth muscle cells by cAMP-elevating agents *Cell Signal* **9**: 411-421, 1997.
30. Dolphin A.C. Facilitation of  $\text{Ca}^{2+}$  current in excitable cells. *TINS* **19**: 35-43, 1996.
31. Donnelly R., Yang K., Omary M.B., Azhar S., Black J.L. Expression of multiple isoforms of protein kinase C in airway smooth muscle. *Am J Respir Cell Mol Biol* **13**: 254-256, 1995.
32. Edes I., Kranius E.G.  $\text{Ca}^{2+}$ -ATPases/pumps en: *Cell Physiology Source Book*. Section II Transport physiology, pumps and exchangers. Second edition Academic press. 225-236, 1998.
33. Felder C.C. Muscarinic acetylcholine receptors: Signal transduction through multiple effectors *FASEB J* **8**: 619-625, 1995.
34. Fleischmann B.K., Wang Y-X., Pring M., Kotlikoff M.I. Voltage-dependent calcium currents and cytosolic calcium in equine airway myocytes. *J Physiol* **492**: 347-358, 1996.
35. Foster R.W., Small R.C., Weston A.H. The spasmogenic action of potassium chloride in guinea pig trachealis. *Br J Pharmacol* **80**: 553-559, 1983
36. Fox A.P., Nowycky M.C., Tsien R.W. Kinetic and pharmacological properties distinguishing three types of calcium currents in chick sensory neurones. *J Physiol* **394**: 149-172, 1987.
37. Friel D.D., Tsien R.W. A caffeine- and ryanodine-sensitive  $\text{Ca}^{2+}$  store in bullfrog sympathetic neurons modulates effects of  $\text{Ca}^{2+}$  entry on  $[\text{Ca}^{2+}]_i$ . *J Physiol* **450**: 217-246, 1992.
38. Fujimoto T.S., Nakade S., Miyawaki A., Mikoshiba K., Ozawa K. Localization of inositol 1,4,5-triphosphate receptor-like protein in plasmalemmal caveolae. *J Cell Biol* **119**: 1507-1513, 1992.
39. Fujimoto T.S. Calcium pump of the plasma membrane is localized in caveolae *J Cell Biol* **120**: 1147-1157, 1993.
40. Gabella G. Structure of Smooth Muscles *En: Smooth Muscle, an Assessment of Current Knowledge* Editores: E Bulbring, A.F Brading, A.W. Jones y T. Tomita. Prensa de la Univ. Texas, Austin TX. 1-46 1983
41. Ganitkevich V., Isenberg G. Contribution of  $\text{Ca}^{2+}$ -induced  $\text{Ca}^{2+}$  release to the  $[\text{Ca}^{2+}]_i$  transients in myocytes from guinea-pig urinary bladder *J Physiol* **458**: 119-137 1992

42. Gerthoffer W.T. Regulation of the contractile element of airway smooth muscle. *Am J Physiol* **261**: (Lung Cell Mol Physiol 5). L15-L28, 1991.
43. Gibson A., McFadzean I., Wallace P., Wayman C.P. Capacitative  $\text{Ca}^{2+}$  entry and the regulation of smooth muscle tone. *TiPS* **19**: 266-269, 1998.
44. Giembycz M.A., Raeburn D. Current concepts on mechanisms of force generation and maintenance in airways smooth muscle. *Pulm Pharmacol* **5**: 279-297, 1992.
45. Grynkiewicz G., Poenie M., Tsien R.Y. A new generation of  $\text{Ca}^{2+}$  indicators with greatly improved fluorescence properties. *J Biol Chem* **260**: 3440-3450, 1985.
46. Hagiwara N., Irisawa H., Kameyama M. Contribution of two types of calcium currents to the pacemaker potentials of rabbit sino-atrial node cells. *J Physiol* **395**: 233-253, 1988.
47. Harteneck C., Plant T.D., Schultz G. From worm to man: three subfamilies of TRP channels. *TINS* **23**: 159-166.
48. Herbert J.M., Augereau J.M., Gleye J., Maffrand J.P. Chelerythrine is a potent and specific inhibitor of protein kinase C. *Biochem Biophys Res Commun* **172**: 993-999, 1990.
49. Hidaka H., Koobayashi R. Pharmacology of protein kinase inhibitors. *Annu Rev Pharmacol Toxicol* **32**: 377-397, 1992.
50. Hille B. Ionic channels of excitable membranes. Sinauer Associates Inc. Sunderland Massachusetts. 83-115, 1991
51. Hope H.R., Pike L.J. Phosphoinositides and phosphoinositide-utilizing enzymes in detergent-insoluble lipid domains. *Mol Biol Cell* **7**: 843-851, 1996.
52. Hoth M., Penner R. Calcium release-activated calcium current in rat mast cells. *J Physiol* **465**: 359-386, 1993.
53. Hughes A.D., Schachter M. Multiple pathways for entry of calcium and other divalent cations in a vascular smooth muscle cell line (A7r5). *Cell Calcium* **15**: 317-330, 1994.
54. Iino M. Calcium release mechanism in smooth muscle. *Jpn J Pharmacol* **54**:345-354, 1990.
55. Iino M. Calcium-induced calcium release mechanism in guinea pig taenia caeci. *J Gen Physiol* **94**: 363-383, 1989.
56. Isshiki M., Anderson R.G.W. Calcium signal transduction from caveolae. *Cell Calcium* **26**: 201-208, 1999
57. Jacob R. Agonist stimulated divalent cation entry into single cultured human umbilical vein endothelial cells. *J Physiol (Lond)* **421**: 55-77, 1990.

58. Janssen L.J. Acetylcholine and caffeine activate Cl<sup>-</sup> and suppress K<sup>+</sup> conductances in human bronchial smooth muscle. *Am J Physiol* 270 (*Lung Cell Mol Physiol* 14): L772-L781, 1996.
59. Janssen L.J. T-type and L-type Ca<sup>2+</sup> currents in canine bronchial smooth muscle Characterization and physiological roles. *Am J Physiol* 272 (*Cell Physiol* 41): C1757-1765, 1997
60. Janssen L.J., Betti P.A., Netherton S.J., Walters D.K. Superficial buffer barrier and preferentially directed release of Ca<sup>2+</sup> in canine airway smooth muscle. *Am J Physiol* 276 (*Lung Cell Mol Physiol* 20): L744-L753, 1999
61. Janssen L.J., Hague C., Roopung N. Ionic mechanisms underlying electrical slow waves in canine airway smooth muscle. *Am J Physiol* 275 (*Lung Cell Mol Physiol* 19): L516-L523, 1998.
62. Janssen L.J., Sims S.M. Histamine activates Cl<sup>-</sup> and K<sup>+</sup> currents in guinea pig tracheal myocytes: Convergence with muscarinic signalling pathway. *J Physiol (Lond)* 465: 661-677, 1993.
63. Janssen L.J., Walters D.K., Wattie J. Regulation of [Ca<sup>2+</sup>]i in canine airway smooth muscle by Ca<sup>2+</sup>-ATPase and Na<sup>+</sup>/Ca<sup>2+</sup> exchange mechanisms. *Am J Physiol* 273 (*Lung Cell Mol Physiol* 17): C322-C330, 1997.
64. Kageyama M., Mori T., Yanagisawa T., Taira N. Is staurosporine a specific inhibitor of protein kinase C in intact porcine coronary arteries? *J Pharmacol Exp Ther* 259: 1019-1026, 1991
65. Kajita J., Yamaguchi H. Calcium mobilization by muscarinic cholinergic stimulation in bovine single airway smooth muscle. *Am J Physiol* 264 (*Lung Cell Mol Physiol* 8): L496-L503, 1993
66. Kannan M.S., Davis C., Ladenius A.R.C., Kannan L. Agonist interactions at the calcium pools in skinned and unskinned canine tracheal smooth muscle. *Can J Physiol Pharmacol* 65: 1780-1787, 1986.
67. Kargacin G.J. Calcium signalling in restricted diffusion spaces. *Biophys J* 67: 262-272, 1994.
68. Khalil R.A., van Breemen C. Sustained contraction of vascular smooth muscle: Calcium influx or C-kinase activation? *J Pharmacol Exp Therap* 244: 537-542, 1988.
69. Kimball B.C., Yule D.I., Mulholland M.W. Caffeine- and ryanodine-sensitive Ca<sup>2+</sup> stores in cultured guinea pig myenteric neurons. *Am J Physiol* 270 (*Gastrointest Liver Physiol* 33): G594-G603, 1996.
70. Knox A.J., Ajao P. The effect of Na/H exchange and Na/Ca exchange on airway smooth muscle contractility. *Pulmonary Pharmacol* 7: 99-102, 1994

71. Kobayashi T., Nakano H., Morimoto M., Tamaoki T. Calphostin C (UCN-1028C), a novel microbial compound, is a highly potent and specific inhibitor of protein kinase C. *Biochem Biophys Res Commun* **159**: 548-553, 1989.
72. Kohlhardt M., Fleckenstein A. Inhibition of the slow inward current by nifedipine in mammalian ventricular myocardium. *Naunyn Schmiedebergs Arch Pharmacol* **298**: 267-272, 1977.
73. Kotlikoff M.I. Calcium currents in isolated canine airway smooth muscle cells. *Am J Physiol* **254** (Cell Physiol 23): C793-C801, 1988.
74. Kotlikoff M.I., Murray R.K., Reynolds E.E. Histamine-induced calcium release and phorbol antagonism in cultured airway smooth muscle cells. *Am J Physiol* **253** (Cell Physiol 22): C561-C566, 1987.
75. Li S., Okamoto T., Chun M., Sargiacomo M., Casanova J.E., Hansn S.H., Nishimoto I., Lisanti M.P. Evidence for a regulated interaction between heterotrimeric G proteins and caveolin. *J Biol Chem* **270**: 15693-15701, 1995.
76. Madison J.M., Ethier M.F., Yamaguchi H. Refilling of caffeine-sensitive intracellular calcium stores in bovine airway smooth muscle cells. *Am J Physiol* **275** (Lung Cell Mol Physiol 19): L852-L860, 1998.
77. Marthan R., Savineau J.P., Mironeau J. Acetylcholine-induced contraction in human isolated bronchial smooth muscle: Role of an intracellular calcium store. *Resp Physiol* **62**: 127-135, 1987.
78. Merritt J.E., Ron J., Hallam T.J. Use of manganese to discriminate between calcium influx and mobilization from internal stores in stimulated human neutrophils. *J Biol Chem* **264**: 1522-1527, 1989.
79. Montaño I.M., Barajas-López C., Daniel E.E. Canine bronchial sustained contraction in  $\text{Ca}^{2+}$ -free medium: Role of intracellular  $\text{Ca}^{2+}$ . *Can J Physiol Pharmacol* **74**: 1236-1248, 1996.
80. Montero M., Alonso-Torre S.R., Alvarez J., Sánchez A., García-Sancho J. The pathway for refilling intracellular  $\text{Ca}^{2+}$  stores passes through the cytosol in human leukaemia cells. *Pflugers Arch* **424**: 465-469, 1993.
81. Morgan J., De S., Gillespie J. Identification of three isoforms of the  $\text{InsP}_3$  receptor in human myometrial smooth muscle. *Pflugers Arch* **431**: 697-705, 1996.
82. Moussavi R.S., Kelley C.A., Adelstein R.S. Phosphorylation of vertebrate nonmuscle and smooth muscle myosin heavy chains and light chains. *Mol Cell Biochem* **127/128**: 219-227, 1993.
83. Nasu T., Yamaguchi K., Shibata H. Blockade by nickel ions of phasic contraction to  $\text{K}^+$  and high affinity calcium of ileal longitudinal muscle of guinea pig. *Comp Biochem Physiol* **106C**: 377-381, 1993.

84. Ogawa Y. Role of ryanodine receptors. *Crit Rev Biochem Mol Biol* **29**: 229-274, 1994.
85. Parekh A., Penner R. Store depletion and calcium influx. *Physiol Rev* **77**: 901-930, 1997
86. Park S., Rasmussen H. Activation of tracheal smooth muscle contraction and synergism between  $\text{Ca}^{2+}$  and activators of protein kinase C. *Proc Natl Acad Sci USA* **82**: 8835-8839, 1985.
87. Parys J.B., Missiaen L., Smedt H.D., Sienraert I., Casteels R. Mechanisms responsible for quantal  $\text{Ca}^{2+}$  release from inositol triphosphate-sensitive  $\text{Ca}^{2+}$  stores. *Pflugers Arch* **432**: 359-367, 1996
88. Pessah L.N., Stambuk R.A., Casida J.E.  $\text{Ca}^{2+}$ -activated ryanodine binding: Mechanisms of sensitivity and intensity modulation by  $\text{Mg}^{2+}$ , caffeine and adenine nucleotides. *Mol Pharmacol* **31**: 232-238, 1987.
89. Philipp S., Hambrecht J., Braslavski L., Schroth G., Freichel M., Murakami M., Cavalié A., Flockerzi V. A novel capacitative calcium entry channel expressed in excitable cells. *EMBO J* **17**: 4274-4282, 1998.
90. Prestwich S., Bolton T.B. Inhibition of muscarinic receptor-induced inositol phospholipid hydrolysis by caffeine,  $\beta$ -adrenoceptors and protein kinase C in intestinal smooth muscle. *Brit J Pharmacol* **114**: 602-611, 1995.
91. Putney J.W. Jr. A model for receptor-regulated calcium entry. *Cell Calcium* **7**: 1-12, 1986.
92. Putney J.W. Jr. TRP, inositol 1,4,5-triphosphate receptors and capacitative calcium entry. *PNAS* **26**: 14669-14671, 1999
93. Putney J.W. Jr. General aspects of calcium signalling. En. *Molecular Biology Intelligence Unit, Capacitative calcium entry*. Editors: Putney J.W. Jr, Austin, TX: R.G. Landes Biomedical Publishing, 1997, p.1.
94. Raeburn D., Hay D.W.P., Farmer S.G., Fedan J.S. Influence of cartilage on reactivity and on the effectiveness of verapamil in guinea pig isolated airway smooth muscle. *J Pharmacol Exp Ther* **242**: 450-454, 1987
95. Raeburn D., Rodger I.W., Hay D.W.P., Fedan J.S. The dependence of airway smooth muscle on extracellular  $\text{Ca}^{2+}$  for contraction influenced by the presence of cartilage. *Life Sci* **38**: 1499-1505, 1986.
96. Rasmussen H., Takuwa Y., Park S. Protein kinase C in the regulation of smooth muscle contraction. *FASEB J* **1**: 177-185, 1987
97. Rodger I. Excitation-contraction coupling and uncoupling in airway smooth muscle. *Br J Clin Pharmacol* **20**: 255S-266S, 1985

98. Rossetti M., Savineau J.-P., Crevel H., Marthan R. Role of protein kinase C in nonsensitized and passively sensitized human isolated bronchial smooth muscle. *Am J Physiol* 268 (*Lung Cell Mol Physiol* 12), L966-L975, 1995.
99. Rousseau E., Ladine J., Liu Q.Y., Meissner G. Activation of the  $\text{Ca}^{2+}$  release channel of skeletal muscle sarcoplasmic reticulum by caffeine and related compounds. *Arch Biochem Biophys* 267: 75-86, 1988.
100. Roux F., Mavoungou E., Naline E., Lacroix H., Tordet C., Advenier C., Gandoury B.M. Role of 1,2-sn diacylglycerol in airway smooth muscle stimulated by carbachol *Am J Resp Crit Care Med* 151: 1745-1751, 1995.
101. Rueegg U.T., Burgess G.M. Staurosporine, K252 and UCN-01: potent but nonspecific inhibitors of protein kinases *Trends Pharmacol Sci* 10: 218-220, 1989.
102. Sankary R.M., Jones C.A., Madison J.M., Brown J.K. Muscarinic cholinergic inhibition of cyclic AMP accumulation in airway smooth muscle. Role of a pertussis toxin-sensitive protein. *Am Rev Resp Dis* 130: 145-150, 1988.
103. Schnitzer J.E., Oh P., Jacobson B.S., Dvorak A.M. Caveolae from luminal plasmalemma of rat lung endothelium: Microdomains enriched in caveolin,  $\text{Ca}^{2+}$  ATPase, and inositol phosphate receptors. *Proc Natl Acad Sci USA* 92: 1759-1763, 1995.
104. Schramm C.M., Grunstein M.M. Mechanisms of protein kinase C regulation of airway contractility. *J Appl Physiol* 66: 1935-1941, 1989.
105. Seidler N.W., Jona I., Vegh M., Martonosi A. Cyclopiazonic acid is a specific inhibitor of the  $\text{Ca}^{2+}$ -ATPase of sarcoplasmic reticulum. *J Biol Chem* 264: 17816-17823, 1988.
106. Shaul P.W., Anderson R.G.W. Role of plasmalemmal caveolae in signal transduction *Am J Physiol* 275 (*Lung Cell Mol Physiol* 19): L843-L851, 1998.
107. Shibuya I., Douglas W.W. Calcium channels in rat melanotrophs are permeable to manganese, cobalt, cadmium, and lanthanum, but not to nickel: Evidence provided by fluorescence changes in Fura-2-loaded cells. *Endocrinology* 131: 1936-1941, 1992.
108. Shimamoto H., Shimamoto Y., Kwan C., Daniel E.E. Participation of protein kinase C in endothelin-1-induced contraction in rat aorta: Studies with a new tool, calphostin C. *Br J Pharmacol* 116: 282-287, 1992.
109. Shimizu H., Borin M.L., Blaustein M.P. Use of  $\text{La}^{3+}$  to distinguish activity of the plasmalemmal  $\text{Ca}^{2+}$  pump from  $\text{Na}^+/\text{Ca}^{2+}$  exchange in arterial myocytes. *Cell Calcium* 21: 33-41, 1997.
110. Silver P.J., Stull J.T. Phosphorylation of myosin light chain and phosphoinase in tracheal smooth muscle in response to KCl and carbachol. *Mol Pharmacol* 25: 267-274, 1984.

111. Sims M.S., Jiao Y., Zheng Z.G. Intracellular calcium stores in isolated tracheal smooth muscle cells. *Am J Physiol* 271 (*Lung Cell Mol Physiol* 15): L300-L309, 1996.
112. Sneyd J., Kalachev L.V. A profile analysis of propagating calcium waves. *Cell Calcium* 15: 289-296, 1994.
113. Somlyo A.P., Somlyo A. Smooth muscle. Excitation-contraction coupling, contractile regulation, and the cross-bridge cycle. *Alcoholism: Clin Exp Res* 18: 138-143, 1994.
114. Song K.S., Li S., Okamoto T., Quilliam L.A., Sargiacomo M., Lisanti M.P. Co-purification and direct interaction of Ras with caveolin, an integral membrane protein of caveolae microdomains. Detergent-free purification of caveolae microdomains. *J Biol Chem* 271: 9690-9697, 1996.
115. Song K.S., Sargiacomo M., Galbiati F., Parenti M., Lisanti M.P. Targeting of a G alpha subunit (G<sub>i1</sub> alpha) and C-Src tyrosine kinase to caveolae membranes: Clarifying the role of N-myristoylation. *Cell Mol Biol* 43: 293-303, 1997.
116. Suzuki M., Muraki K., Imaizumi Y., Watanabe M. Cyclopiazonic acid, an inhibitor of the sarcoplasmic reticulum Ca<sup>2+</sup>-pump, reduces Ca<sup>2+</sup>-dependent K<sup>+</sup> currents in guinea-pig smooth muscle cells. *Br J Pharmacol* 107: 134-140, 1992.
117. Takai Y., Kishimoto A., Iwasa Y., Kawahara Y., Mori T., Nishizuka Y. Calcium-dependent activation of a multifunctional protein kinase by membrane phospholipids. *J. Biol. Chem.* 254: 3692-3695, 1979.
118. Takuwa Y., Takuwa N., Rasmussen H. Measurement of cytoplasmic free Ca<sup>2+</sup> concentrations in bovine tracheal smooth muscle using aeroquorin. *Am J Physiol* 253 (*Cell Physiol* 22): C817-C827, 1987.
119. Taylor C.W., Traynor D. Calcium and inositol triphosphate receptors. *J Membr Biol* 145: 109-118, 1995.
120. Vaca L., Kunze L. Depletion of intracellular Ca<sup>2+</sup> stores activates a Ca<sup>2+</sup>-selective channel in vascular endothelium. *Am J Physiol* 267 (*Cell Physiol* 36): C920-C925, 1994.
121. Vaca L., Sinkins W., Hu Y., Kunze D., Schilling W. Activation of recombinant TRP by thapsigargin in St9 insect cells. *Am J Physiol* 267 (*Cell Physiol* 36): C1501-C1505, 1994.
122. van Breemen C., Chen Q., Laher I. Superficial buffer barrier function of smooth muscle sarcoplasmic reticulum. *TIPS* 16: 98-105, 1995.
123. Wade R.G., Barbera J., Sims S.M. Cholinergic inhibition of Ca<sup>2+</sup> current in guinea pig gastric and tracheal smooth muscle cells. *J Physiol (Lond.)* 491: 307-319, 1996.
124. Wang Y.-X., Fleishmann B.K., Kotlikoff M.I. M<sub>3</sub> receptor activation of nonselective cation channels in smooth muscle cells: Calcium and G<sub>q</sub>/G<sub>10</sub> requirements. *Am J Physiol* 273 (*Cell Physiol* 42): C500-C508, 1997.

125. Waldron G.J., Sigurdsson S.B., Aeillo E.A., Halayko A.J., Stephens N.L., Cole W.C. Delayed rectifier K<sup>+</sup> current of dog bronchial myocytes. Effect of pollen sensitization and PKC activation. *Am J Physiol* **275** (*Lung Cell Mol Physiol* **19**): L336-L347, 1998.
126. Wheeler-Clark E.S., Buja L.M. Calcium channel activation mobilizes calcium from a restricted pericellular region surrounding canine coronary artery smooth muscle cells / *Pharmacol Exp Ther* **274**: 1493-1506, 1995.
127. Yamaguchi H., Kajita J., Madison M. Isoproterenol increases peripheral [Ca<sup>2+</sup>]<sub>i</sub> and decreases [Ca<sup>2+</sup>]<sub>i</sub> in single airway smooth muscle cells. *Am J Physiol* **268** (*Cell Physiol* **37**): C771-C779, 1995.
128. Yang C.M. Dissociation of intracellular Ca<sup>2+</sup> release and Ca<sup>2+</sup> entry response to 5-hydroxytryptamine in cultured canine tracheal smooth muscle cells. *Cell Signal* **10**: 735-742, 1998.
129. Yang C.M., Chou S.-P., Wang Y.-Y., Hsieh J.-T., Ong R. Muscarinic regulation of cytosolic free calcium in canine tracheal smooth muscle cells. Ca<sup>2+</sup> requirement for phospholipase C activation. *Br J Pharmacol* **110**: 1239-1247, 1993a.
130. Yang C.M., Yo Y.L., Wang Y.Y. Intracellular calcium in canine cultured tracheal smooth muscle cells is regulated by M<sub>3</sub> muscarinic receptors. *Br J Pharmacol* **110**: 983-998, 1993b.
131. Yoshikawa A., van Breemen C., Isenberg G. Buffering of plasmalemmal Ca<sup>2+</sup> current by sarcoplasmic reticulum of guinea pig urinary bladder myocytes. *Am J Physiol* **271** (*Cell Physiol* **40**): C833-841, 1996.
132. Yoshimura M., Oshima T., Matsuura H., Ishida T., Kaambe M., Kajiyama G. Extracellular Mg<sup>2+</sup> inhibits capacitative Ca<sup>2+</sup> entry in vascular smooth muscle cells. *Circulation* **95**: 2567-2572, 1996.
133. Zucchi R., Ronca-Testoni S. The sarcoplasmic reticulum Ca<sup>2+</sup> channel/ryanodine receptor: Modulation by endogenous effectors, drugs and disease states. *Pharmacol Rev* **49**: 1-51, 1997.

# Anexo I.

## ARTICULO:

*Involvement of different  $Ca^{2+}$  pools during the canine bronchial sustained contraction in  $Ca^{2+}$  free medium:  
Lack of effect of PKC inhibition.*

## ORIGINAL ARTICLE

anca Bazán-Perkins · Verónica Carbajal  
 ttina Sommer · Marina Macías-Silva  
 rco González-Martínez · Fermín Valenzuela  
 E. Daniel · Luis M. Montaño

## Involvement of different $\text{Ca}^{2+}$ pools during the canine bronchial sustained contraction in $\text{Ca}^{2+}$ -free medium: lack of effect of PKC inhibition

Received 12 March 1998 / Accepted 2 September 1998

**Abstract** We evaluated the role of protein kinase C (PKC) in the sustained bronchial contraction (SBC) induced by carbachol (Cch) or histamine in a  $\text{Ca}^{2+}$ -free medium and the possibility that each agonist uses a different  $\text{Ca}^{2+}$  store for its response. We studied third-order bronchi and airway smooth muscle (ASM) from first-order bronchi dissected free of cartilage and epithelium. Bronchial and ASM responsiveness to Cch or histamine were evaluated in Krebs solution (2.5 mM  $\text{Ca}^{2+}$ ) and in  $\text{Ca}^{2+}$ -free medium. Cch and histamine induced an SBC in bronchial tissues in  $\text{Ca}^{2+}$ -free medium. In ASM each agonist produced a transient contraction, but the response to histamine was much smaller and induced a concentration-dependent accumulation of inositol phosphates (IPs) in both bronchi and ASM, however histamine did not induce significant accumulation of IPs. Repeated exposure to histamine in bronchial rings abolished contractile responses in  $\text{Ca}^{2+}$ -free media, but Cch used afterwards still produced a sustained contraction whose response was blocked when bronchial tissues were incubated with 10  $\mu\text{M}$  cyclopiazonic acid (CPA). Brief incubation of these preparations with a high EGTA concentration (1 mM) abolished the histamine-induced SBC. The SBC induced by Cch or histamine in  $\text{Ca}^{2+}$ -free medium was affected by the preincubation of the tissues with calphophytin, chelerythrine or staurosporine. We concluded that

Cch mobilizes  $\text{Ca}^{2+}$  from two different sources during the SBC in  $\text{Ca}^{2+}$ -free medium: from a CPA-sensitive one from sarcoplasmic reticulum (SR) and from a putative extracellular membrane  $\text{Ca}^{2+}$  pool sensitive to 1 mM EGTA, and neither process involved PKC activation. Histamine appeared to utilize the extracellular membrane pool only.

**Key words:** Protein kinase C · Intracellular  $\text{Ca}^{2+}$  · Bronchial sustained contraction ·  $\text{Ca}^{2+}$ -free medium

### Introduction

In airway smooth muscle (ASM), contraction induced by cholinergic agonists depends on  $\text{Ca}^{2+}$  influx through voltage-dependent  $\text{Ca}^{2+}$  channels (L-type), receptor-operated  $\text{Ca}^{2+}$  channels and on  $\text{Ca}^{2+}$  release from sarcoplasmic reticulum (SR) by inositol-1,4,5-triphosphate (IP<sub>3</sub>) after receptor stimulation (Baron et al 1984; Cuthbert et al 1994; Kajita and Yamaguchi 1993). On the other hand, histamine-induced contractions, like those to KCl, depend largely on extracellular  $\text{Ca}^{2+}$  entry. Compared to carbachol (Cch), this autacoid is poorly able to mobilize  $\text{Ca}^{2+}$  from internal stores, at least in canine airway (Kannan et al 1987).

Contractions induced by Cch have two components: an initial fast response (phasic) followed by a sustained contraction (tonic; Rodger 1985). The IP<sub>3</sub>-induced release of stored  $\text{Ca}^{2+}$  from SR seems to mediate the initial response (Kajita and Yamaguchi 1993). In contrast, protein kinase C (PKC) regulation of several steps of the sustained contraction mechanism has been proposed (Kajita and Yamaguchi 1993; Peiper et al 1996).

We previously noted that, in canine tracheal ASM, under  $\text{Ca}^{2+}$ -free conditions, Cch induces an IP<sub>3</sub>-dependent fast transient contraction, whereas in canine bronchi this agonist induces a sustained (tonic) contraction that has not been well characterized (Montaño et al 1996).

Thus, the aim of the present study was to assess the possible role of PKC activation in the canine bronchial sustained contraction induced by Cch in  $\text{Ca}^{2+}$ -free medium and

Bazán-Perkins L.M., Montaño M., González-Martínez  
 Instituto de Farmacología, Facultad de Medicina, UNAM,  
 Ed. Universitaria, CP 04510, México D.F., Mexico  
 zán-Perkins V., Carbajal B., Sommer L.M., Montaño (\* )  
 Instituto de Investigación en Asma, Instituto Nacional de  
 Medicinas Respiratorias, Huipan 4502, CP 14080,  
 D.F., Mexico  
 \* Unidad de servidores unam.mx, Fax: 52-5-0654623

Daniel  
 Department of Biomedical Sciences, McMaster University,  
 1280 Main Street, Hamilton, Ontario, L8N 4H4, Canada

Received 12 March 1998 / Accepted 2 September 1998  
 © Springer-Verlag 1998  
 Printed in Germany

contrast the mechanism of the Cch-induced response to that of histamine.

## Materials and methods

**Vessel preparations.** Mongrel dogs of either sex (20–25 kg) were killed by an overdose of pentobarbital sodium (100 mg/kg), following a protocol approved by our Animal Care Committee. The experiments were conducted in accordance with the published Guiding Principles in the Care and Use of Animals, approved by the American Physiological Society. After lungs were excised, two types of bronchial preparations were obtained: (1) bronchial rings of third order (3rd-B) were dissected free of adhered fat and connective tissue, but not of cartilage and epithelium, at room temperature in oxygenated Krebs solution. (2) airway smooth muscle (ASM) strips were dissected from first-order bronchi, using a stereoscopic microscope (Nikon Lab-Z-10 (Tokyo, Japan)) to prepare tissue without cartilage and epithelium as previously described (Montaño et al. 1996).

To ensure that dissection of cartilage and epithelium damage were minimal concentration-response curves to Cch were constructed with and without cartilage and epithelium dissection; there were no significant differences in the EC<sub>50</sub> values (0.28±0.034, 0.34±0.025 μM, respectively, n=4). The E<sub>max</sub> values could not be directly compared because of the different contributions of smooth muscle to the weight used to normalize the data.

**Inactivity experiments.** 3rd-B and ASM preparations were suspended in organ baths containing Krebs solution with indometacin (0.03 μM). The rings were maintained at 37°C and aerated with 5% CO<sub>2</sub>/oxygen, pH 7.4. Isometric tension was recorded on a Beckman R 2 myograph (Beckman Instruments, Calif., USA) via a mechanoelectrical transducer (Grass FTO3, Grass Instruments, Calif., USA). Preparations were equilibrated for 30 min under a resting tension of 1–1.5 g prior to testing; this tension was previously shown to yield optimal active tension. Preparations were then stimulated three times with 60 mM KCl until maximum stable responses were obtained. Krebs solution composition was as follows (mM): 115 NaCl, 5 KCl, 1.2 NaH<sub>2</sub>PO<sub>4</sub>, 1.2 MgSO<sub>4</sub>, 22 NaHCO<sub>3</sub>, 2.5 CaCl<sub>2</sub> (unless otherwise specified) and 11 glucose.

Bronchial and ASM responsiveness to EC<sub>50</sub> of Cch (0.34 μM) or histamine (10 μM, submaximal concentration) were evaluated in Krebs solution (2.5 mM Ca<sup>2+</sup>) and in Ca<sup>2+</sup>-free medium (0 Ca<sup>2+</sup>) added 1.0 mM EGTA to eliminate possible Ca<sup>2+</sup> contamination. Previous studies showed that the addition of 0.1 mM EGTA to a nominally Ca<sup>2+</sup>-free solution measured with the calcium sensitive dye 1,2-pentaethylbenzimidazolyl benzodiazepine (calphostin C) maintained Ca<sup>2+</sup> concentrations at 10 nM (Montaño et al. 1996). Results were expressed as percentage of the maximum contraction induced by KCl stimulation in Krebs solution (2.5 mM Ca<sup>2+</sup>) in the same strip. In order to rule out histamine desensitization due to repetitive stimulation, we performed some experiments to determine the appropriate time between histamine responses. We found that 1-h intervals between each histamine stimulation yielded desensitization (Table 1).

**Inhibition of Cch or histamine-induced contraction in Ca<sup>2+</sup>-free medium.** Whether Ca<sup>2+</sup> was available from Cch or histamine-sensitive stores to support contractions was indirectly evaluated by recording the contraction induced by these agonists in a Ca<sup>2+</sup>-free solution. After Cch or histamine stimulation in normal Krebs solution, contractions were washed three to six times in Ca<sup>2+</sup>-free medium and rechallenged with the same agonist. The maximum contraction

induced by these agonists, under these conditions, was used as an index of their abilities to release Ca<sup>2+</sup> from the cellular stores. Cch-induced contraction involves the release of Ca<sup>2+</sup> from agonist-sensitive cellular stores (Bourreau et al. 1991; Montaño et al. 1993, 1996). Depletion of such stores was carried out by repetitive 20-min stimulations with Cch or 10 min with histamine in Ca<sup>2+</sup>-free medium. Once 3rd-B tissues were depleted of Ca<sup>2+</sup> stores sensitive to histamine, as inferred by the absence of contractile responses, tissues were stimulated with Cch in Ca<sup>2+</sup>-free medium. In additional experiments, preparations were preincubated for 30 min with 10 μM cyclopiazonic acid (CPA), an inhibitor of the smooth-muscle SR-Ca<sup>2+</sup> pump (Bourreau et al. 1991; Darby et al. 1996; Suzuki et al. 1992).

In some other experiments, 3rd-B preparations were pre-incubated with EGTA 1 mM for 30 min in Ca<sup>2+</sup>-free medium to chelate Ca<sup>2+</sup> bound extracellularly. EGTA was subsequently washed away with Ca<sup>2+</sup>-free medium and the preparations stimulated with histamine. In another set of experiments, tissues were incubated during 10 min with nifedipine (1 μM) and afterwards stimulated with histamine in Ca<sup>2+</sup>-free medium.

At the end of every experiment, the preparations were washed in normal Krebs solution and stimulated again with Cch or histamine. Responses to this final Cch or histamine concentration were not statistically different from the first contraction obtained at the beginning of the protocol (data not shown).

**Effect of protein kinase C inhibition on Cch or histamine-induced contraction in Ca<sup>2+</sup>-free medium.** The effects of calphostin C and chelerythrine, two specific PKC inhibitors (Hercet et al. 1990; Konayashii et al. 1989), and staurosporine, an unspecific inhibitor (Ruegg and Burgess 1989), on the first response to Cch or histamine in Ca<sup>2+</sup>-free medium were evaluated. The calphostin C concentration required to inhibit PKC was established through its ability to antagonize the maximum contractile response induced by 1 μM 4-β-phorbol 12,13-dibutyrate (PDB) or 1 μM 4-β-phorbol 12-myristate 13-acetate (PMA) in 3rd-B and ASM preparations in normal Krebs solution. Calphostin C (1 μM) completely abolished the maximum contractile response induced by these phorbol esters (data not shown). The chelerythrine and staurosporine concentrations used were 1 μM and 10 nM, respectively. Staurosporine (10 nM) has been demonstrated to inhibit the contractile responses to 1 μM PDB in porcine coronary arteries and 0.66 μM chelerythrine is the IC<sub>50</sub> of PKC in rat brain (Hercet et al. 1990; Kageyama et al. 1991). At the concentrations used in this work, none of these PKC inhibitors (calphostin C, staurosporine or chelerythrine) modified the contraction induced by 60 mM KCl in bronchi preparations (100 2±6%, 103±3 38% and 95.9±5.72% of KCl response, respectively, n=5, n=4, n=5, respectively). These results indicated that these inhibitor concentrations were appropriate to assess their effect on histamine and Cch-induced contraction.

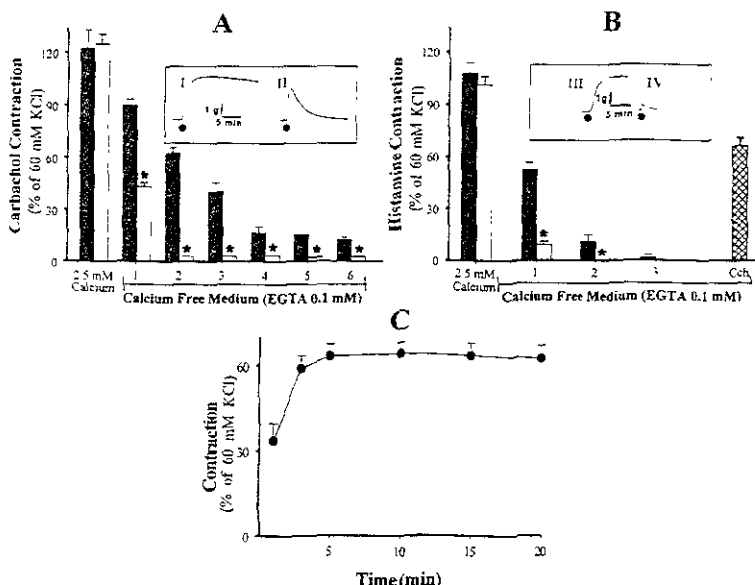
Finally, 3rd-B tissues were incubated for 1 h with calphostin C (1 μM), staurosporine (10 nM) and chelerythrine (1 μM) in Ca<sup>2+</sup>-free medium and then stimulated with Cch or histamine. All the experiments with PKC inhibitors and nifedipine were done under dim light conditions.

**Accumulation of inositol phosphates (IPs).** The effect of Cch or histamine on the hydrolysis of phosphoinositides (PI) was assessed by monitoring the accumulation of [<sup>3</sup>H]-labelled inositol phosphates in normal Krebs solution and Ca<sup>2+</sup>-free medium (Berridge et al. 1983; Thomas et al. 1984). ASM from trachea, 3rd-B and cartilage from bronchi were incubated in a shaking water bath (80 strokes/min) with 150 μCi/ml [<sup>3</sup>H]-inositol [2-<sup>3</sup>H]-inositol at 37°C for 4 h in normal Krebs solution. In these experiments ASM from trachea was normally used since IPs measurement required large amounts of tissue homogenized obtained from first order bronchi. In addition we corroborated that

Table 1. Effect of successive washes after stimulation on normal contraction & contractile response to 10 μM Cch or 10 μM histamine.

	Stimulation	1	2	3	4
	Histamine	100 ± 1	100 ± 8	48 ± 8	97 ± 8
	Cch	110 ± 1	100 ± 1	100 ± 1	100 ± 1

**Fig. 1.** Effects of repetitive 0.34  $\mu$ M carbachol (A) and 10  $\mu$ M histamine (B) stimulations on bronchial (black bars,  $n=6$ ) and ASM (open bars,  $n=6$ ) preparations in  $\text{Ca}^{2+}$ -free medium (EGTA 0.1 mM). The crossed bar in B represents carbachol (Cch) addition; the inset in A represents tracings showing typical responses to the first Cch stimulation on bronchial (I), and ASM (II) preparations in  $\text{Ca}^{2+}$ -free medium. The inset in B represents tracings showing typical responses to the first histamine stimulation on bronchial (III) and ASM (IV) preparations in  $\text{Ca}^{2+}$ -free medium. C Time course of Cch stimulation on bronchial preparations previously depleted of  $\text{Ca}^{2+}$  stores sensitive to histamine in  $\text{Ca}^{2+}$ -free medium. \* $P<0.01$ ,  $n=6$ .



**Statistical analysis.** All values in the text and illustrations are means  $\pm$  SEM. Data were analyzed by paired Student's *t*-test. In some experiments a one-way analysis of variance and Dunnett's test for multiple comparison were used. Two-tailed  $P$ -values  $< 0.05$  were considered statistically significant. The  $n$ -values represent the number of dogs in each experiment.

## Results

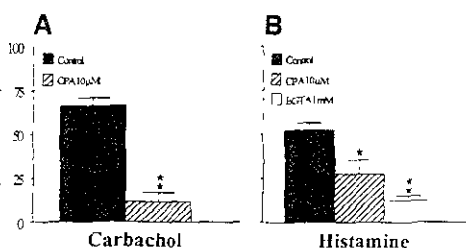
### Bronchial responsiveness to Cch and histamine

In bronchial preparations with cartilage and epithelium or in ASM strips without them, the contractile responses to Cch ( $n=6$ ; Fig. 1A) or histamine ( $n=6$ ; Fig. 1B) were not different in Krebs solution with 2.5 mM  $\text{Ca}^{2+}$ .

The addition of Cch or histamine to bronchial preparations in  $\text{Ca}^{2+}$ -free solution (0.1 mM EGTA) initially produced a sustained bronchial contraction during the 20- or 10-min stimulation, respectively (see insets in Fig. 1A,B). Repetitive Cch or histamine stimulation progressively diminished the contractile responses, indicating that  $\text{Ca}^{2+}$  stores sustaining each response were being depleted (Fig. 1A,B). Each successive response was always sustained at or near the initial level of tension. In ASM preparations both Cch and histamine stimulation in  $\text{Ca}^{2+}$ -free medium caused a transient contraction, but responses to histamine were smaller ( $P < 0.01$ , see insets in Fig. 1A,B).

Once the contractile responses to histamine in bronchial tissues in  $\text{Ca}^{2+}$ -free solution were abolished, Cch ( $n=6$ ) was still able to induce contraction (Fig. 1B). This Cch response was sustained as shown in Fig. 1C. CPA ( $0.1 \mu\text{M}$ ), an inhibitor of the smooth muscle  $\text{Na}^+$ - $\text{Ca}^{2+}$  pump, nearly eliminated

**Drugs.** Carbachol chloride and histamine dihydrochloride (Sigma Chemical, St. Louis, Mo., USA) were dissolved in  $\text{Ca}^{2+}$ -free solution. Indometacin and ethylene glycol- $\beta$ -D-aminoethyl ether (Sigma) were dissolved in 1%  $\text{L}-\text{GluCO}_6$  and added to the Krebs solution (final concentration of  $\text{L}-\text{GluCO}_6$  0.001%). Nitrendine (Sigma) was prepared as 10 mM stock solutions in  $\text{EtOH}$  and stored in darkness (final concentration of ethanol 0.1%). CPA, PMA, PDB (Sigma), ca. dobutin C, charybdine ( RBI, Natick, Mass., USA) and statosin (sigma) were dissolved in  $\text{MeOH}$ , su fox dc (final concentration 0.1%). In control experiments use of  $\text{L}-\text{GluCO}_6$ , or dimethyl sulfoxide alone had no effect. Mx-2000 plastic 200  $\mu\text{l}$  is obtained from New England Nuclear (Boston, Mass., USA).



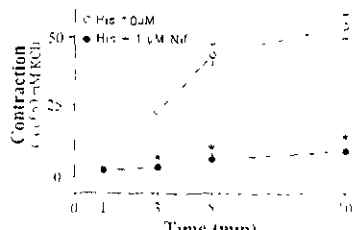
**Fig. 2** **A** Effect of cyclopiazonic acid (CPA) preincubation for 30 min in normal Krebs solution on carbachol (Cch, 0.34  $\mu$ M) responses in bronchial preparations previously depicted of  $\text{Ca}^{2+}$  stores sensitive to amine in  $\text{Ca}^{2+}$ -free medium. **B** Bronchial responses to histamine (1  $\mu$ M) in  $\text{Ca}^{2+}$ -free medium after CPA preincubation for 30 min in normal Krebs solution or preincubation for 30 min in  $\text{Ca}^{2+}$ -free medium with EGTA. \* $P<0.05$ , \*\* $P<0.01$ ,  $n=7$

( $P<0.01$ ) this response in tissues after the  $\text{Ca}^{2+}$  store supporting histamine contractions was depleted (Fig. 2A). Additionally, CPA preincubation also partially blocked the bronchial sustained contraction induced by histamine in these preparations (Fig. 2B).

Bronchial incubation with 1 mM EGTA (20 min in  $\text{Ca}^{2+}$ -free medium,  $n=4$ ) almost abolished the responses induced by histamine (Fig. 2B). The addition of nifedipine (1  $\mu$ M,  $n=4$ ) also inhibited the bronchial sustained contraction induced by histamine (Fig. 3).

#### Effect of Cch and histamine in IPs accumulation in bronchial and ASM preparations

Preparations stimulated with Cch had the following IPs basal values in normal Krebs solution and in  $\text{Ca}^{2+}$ -free medium, respectively: ASM 8.94 $\pm$ 5.59 cpm/mg ( $n=5$ ) and 13.40 $\pm$ 3.40 cpm/mg ( $n=5$ ); bronchi 4.46 $\pm$ 1.63 cpm/mg ( $n=7$ ) and 4.47 $\pm$ 1.17 cpm/mg ( $n=8$ ). Addition of Cch to ASM and bronchial preparations, although lower in the latter, induced a concentration-dependent accumulation of IPs (Fig. 4A,B). The maximum response, as compared to basal values for ASM, was 1125.5 $\pm$ 147.1% and 6 $\pm$ 151.4% with and without calcium, respectively, in



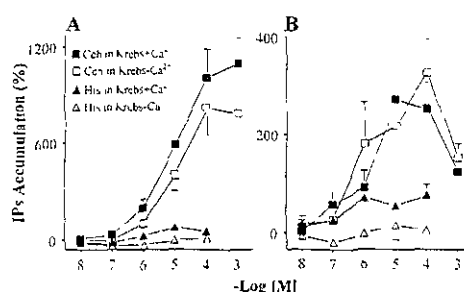
**Fig. 3** Effect of preincubation for 10 min with nifedipine (Nif) on histamine-induced bronchial sustained contractile response in control medium.  $n=6$ ,  $P<0.05$ .

bronchial preparations, the responses were smaller, 339.6 $\pm$ 89.6% and 422.7 $\pm$ 73.2%, respectively. In both tissues, the differences obtained in  $\text{Ca}^{2+}$ -containing and  $\text{Ca}^{2+}$ -free medium were not statistically significant. In cartilage preparations Cch (100  $\mu$ M) did not induce any IPs production (−28.89 $\pm$ 13.32%,  $n=3$ ).

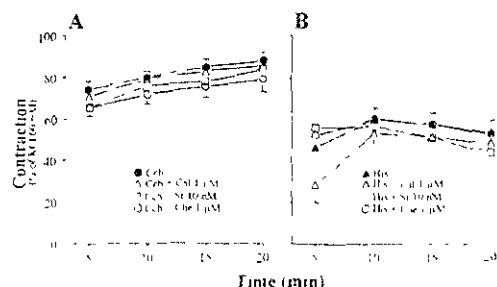
Histamine only induced a very small, non-significant accumulation of IPs in ASM and bronchial preparations in both solutions. The basal values in Krebs solution and  $\text{Ca}^{2+}$ -free medium for the former tissue were 6.31 $\pm$ 2.94 cpm/mg and 5.43 $\pm$ 2.1 cpm/mg<sup>−1</sup>, for the latter 3.48 $\pm$ 1.75 cpm/mg and 4.19 $\pm$ 1.66 cpm/mg<sup>−1</sup>, respectively ( $n=4$  for all experiments). The maximum response in ASM and bronchi preparations to histamine was 81.87 $\pm$ 29.35% and 14.24 $\pm$ 13.46%, 86.39 $\pm$ 17.11% and 38.46 $\pm$ 22.34%, in normal Krebs solution and calcium-free medium, respectively.

#### Effect of PKC on the bronchial sustained contraction induced by Cch and histamine in $\text{Ca}^{2+}$ -free medium

To assess the possible role of PKC activation in the contraction induced by Cch or histamine in  $\text{Ca}^{2+}$ -free medium, we



**Fig. 4** Effects of carbachol (Cch,  $n=5$ –8) and histamine (His,  $n=4$  for each group) on the inositol phosphates (IPs) accumulation (% of basal value) in ASM (A) and bronchial (B) preparations. Krebs =  $\text{Ca}^{2+}$ -Krebs solution containing  $\text{Ca}^{2+}$ ; Krebs-Ca = Krebs solution without  $\text{Ca}^{2+}$ .



**Fig. 5** Effects of cyclothiazide (CTZ), strophantidin (SD) and cycloheximide (CHX) on bronchial sustained contractile response induced by Cch (100  $\mu$ M) or B-Histamine (1  $\mu$ M) in  $\text{Ca}^{2+}$ -free medium.

# ESTA TESIS NO SALE DE LA BIBLIOTECA

571

ed the effect of the PKC inhibitors calphostin C, rosporine and chelerythrine. Figure 5 shows the average time course of the bronchial sustained contraction induced by Cch and histamine in  $\text{Ca}^{2+}$ -free medium and the effect of 1  $\mu\text{M}$  calphostin C ( $n=5$ ,  $n=6$ ), 10 nM rosporine ( $n=5$ ,  $n=4$ ) and 1  $\mu\text{M}$  chelerythrine ( $n=6$ ). These PKC inhibitors did not modify significantly the sustained contraction induced by Cch or histamine in  $\text{Ca}^{2+}$ -free medium when compared with their respective control groups.

## Discussion

In a previous publication, we postulated that during the bronchial sustained contraction induced by Cch in  $\text{Ca}^{2+}$ -free medium,  $\text{Ca}^{2+}$ -recycling seems to be required, occurring by way of L-type  $\text{Ca}^{2+}$  channels from a compartment that was located outside the plasma membrane and depended on the functional  $\text{Ca}^{2+}$  uptake into the SR for its activity (Montaño et al 1996).

In this work, we observed that Cch and histamine each induced a sustained bronchial contraction in  $\text{Ca}^{2+}$ -free medium, whereas Cch and histamine stimulation caused a transient contraction in ASM, but histamine produced a significantly smaller response. Since Cch or histamine stimulation were done in  $\text{Ca}^{2+}$ -free medium, the only known source of  $\text{Ca}^{2+}$  for the sustained contraction is expected to be the SR through opening of IP<sub>3</sub>-sensitive channels (Baron 1984, Kajita and Yamaguchi 1993; Yang et al. 1993a). This seems to be true for Cch stimulation since we found this agonist induced IP<sub>3</sub>s accumulation. However, unlike Cch, histamine did not produce a significant increment in IP<sub>3</sub>s accumulation, suggesting that it mobilizes  $\text{Ca}^{2+}$  from the SR ineffectively. This lack in IP<sub>3</sub>s production by histamine is corroborated by the tiny ASM contraction induced by histamine in  $\text{Ca}^{2+}$ -free medium. Thus, the bronchial sustained contraction induced by histamine appears to mobilize  $\text{Ca}^{2+}$  from a source different from the SR IP<sub>3</sub> receptors-mediated contractions.

The possibility that there are other pool(s) of  $\text{Ca}^{2+}$  involved in the sustained bronchial contraction is supported by the fact that Cch still induced a sustained contraction in a previously depleted of histamine-sensitive  $\text{Ca}^{2+}$ . This Cch response was completely abolished by EGTA which corroborated that this store was the SR. In this work, we showed that 1 mM EGTA blocked the histamine-insensitive contraction response to Cch in  $\text{Ca}^{2+}$ -free medium (Montaño et al. 1996), supporting the hypothesis that this arises from two sources, the SR (CPA-sensitive) and putative extracellular membrane  $\text{Ca}^{2+}$  pool sensitive to 1 mM EGTA (CPA-insensitive). This extracellular  $\text{Ca}^{2+}$  might be the so-called caveolae, membrane invaginations that have been reported in smooth muscle cells from small intestine and blood vessels as well as lung, jejunum, cardiac muscle cells and fibroblasts (Iijima-Ito and Schmitz et al. 1995). It has recently been shown that anes in canine trachea enriched in caveolin, a marker

for caveolae, are also enriched in L- $\text{Ca}^{2+}$  channels, the plasmalemma  $\text{Ca}^{2+}$  pump and calsequestrin, a  $\text{Ca}^{2+}$ -binding protein (Darby et al 1997, and unpublished observations). Also, caveolae appear to be the plasmalemmal locations for G proteins, c-SRC tyrosine kinases, H-Ras, and some phosphoinositides and phosphoinositide-utilizing enzymes (Hope and Pike 1996; Li et al 1995, Song et al 1996, 1997). These observations suggest that ASM is endowed with caveolae that could serve as a calcium pool for  $\text{Ca}^{2+}$  signalling during contraction. Further studies are warranted to confirm this hypothesis.

It has been proposed that coronary artery smooth muscle cells have a source of extracellular  $\text{Ca}^{2+}$  bound to the glycocalyx that in  $\text{Ca}^{2+}$ -free medium would buffer, restrict or sequester  $\text{Ca}^{2+}$  in the vicinity of the membrane surface (Wheeler-Clark et al 1995). In bronchial tissue, this last mechanism could explain why the extracellular membrane  $\text{Ca}^{2+}$  pool maintains its  $\text{Ca}^{2+}$  content in a medium free of this divalent cation.  $\text{Ca}^{2+}$  release from these pools could be triggered by a combined activation of a G protein-linked receptor and the opening of L-type  $\text{Ca}^{2+}$  channels. In this context, we have shown that 1  $\mu\text{M}$  nifedipine abolishes the Cch-induced sustained contraction in  $\text{Ca}^{2+}$ -free medium (Montaño et al 1996), suggesting that L-type  $\text{Ca}^{2+}$  channels from these extracellular stores could be involved in this response. This implies that Cch must depolarize the membrane to open these voltage-dependent channels, as has been previously demonstrated (Montaño et al 1996). Histamine acting on H<sub>1</sub> receptors could have a similar action, since the bronchial sustained contraction induced by this agonist was completely abolished by nifedipine (1  $\mu\text{M}$ ). Furthermore, 1 mM EGTA, which was expected to chelate  $\text{Ca}^{2+}$  from the extracellular membrane  $\text{Ca}^{2+}$  pool, completely abolished the histamine-induced sustained contraction, indicating that, in bronchial tissues,  $\text{Ca}^{2+}$  from these extracellular pools was available despite the presence of  $\text{Ca}^{2+}$ -free medium and the lack of significant inositol production to release  $\text{Ca}^{2+}$  from SR.

This putative extracellular membrane  $\text{Ca}^{2+}$  source sensitive to histamine might require continuous basal activity of a CPA-sensitive  $\text{Ca}^{2+}$ -ATPase since CPA inhibited about 47.72% of the sustained contraction induced by histamine in  $\text{Ca}^{2+}$ -free medium. This inhibition was lower than the one observed with Cch (82.47%), suggesting that the  $\text{Ca}^{2+}$ -ATPase present in these pools is less sensitive to CPA than the one present in SR. Also, this could indicate that  $\text{Ca}^{2+}$ -ATPase activity from the extracellular membrane  $\text{Ca}^{2+}$  pool was less important for  $\text{Ca}^{2+}$  recycling when SR stores were not emptied by inositol production. Alternatively, CPA inhibition of responses to histamine in  $\text{Ca}^{2+}$ -free media could be explained if the initial  $\text{Ca}^{2+}$  increase due to L-type  $\text{Ca}^{2+}$  channels opening from the extracellular membrane pool partially mobilizes  $\text{Ca}^{2+}$  from SR ryanodine receptors ( $\text{Ca}^{2+}$ -induced  $\text{Ca}^{2+}$  release). These receptors have been shown to be present in SR from ASM (Yamaguchi et al 1995).

An interesting finding was that histamine in  $\text{Ca}^{2+}$ -free medium, produced a very small response in ASM, but induced a strong sustained contraction in the oesophagus.

onse to histamine in ASM could be explained by the fact that histamine poorly mobilizes  $\text{Ca}^{2+}$  from SR stores in ASM and depends entirely or mostly on  $\text{Ca}^{2+}$  entering from the extracellular membrane stores. However, ASM dissection might damage these stores or remove a substance, which aids  $\text{Ca}^{2+}$  mobilization as we suggested previously (Montaño et al 1996). Additionally, the glycocalyx could have been damaged during the dissection procedure, inhibiting the pericellular  $\text{Ca}^{2+}$  buffering function. This glycocalyx injury or loss of a mobilizing factor may have reduced the availability of the extracellular membrane  $\text{Ca}^{2+}$  pool content so that there was not enough  $\text{Ca}^{2+}$  to support contraction.

The amount of  $\text{Ca}^{2+}$  required to maintain the sustained contraction may be small. It has been shown in bovine and dog trachea that intracellular  $\text{Ca}^{2+}$  ( $[\text{Ca}^{2+}]_i$ ) increases following a Cch-induced contraction, but falls to a plateau within 5–6 min, even though contractile tension is maintained for up to 2 h (Takuwa et al 1987; Yang et al 1993b). The authors presented evidence that Cch activated PKC that led to a reduced requirement for  $[\text{Ca}^{2+}]_i$  elevation to maintain sustained contraction during the plateau phase (Park and Rasmussen 1985; Takuwa et al 1987). Although PKC activation has been suggested subsequently to explain sustained contractile responses of ASM (Gerthoffer 1991; Sessetti et al 1995; Roux et al 1995), there is no consensus about its role. Both  $\text{Ca}^{2+}$ -dependent and independent C isoforms have been reported in ASM (Donnelly et al 1995). In a previous work (Montaño et al 1996) we found that, in the presence of 1  $\mu\text{M}$  nifedipine, the Cch-induced sustained contraction in  $\text{Ca}^{2+}$ -free medium was completely abolished, suggesting that only  $\text{Ca}^{2+}$ -dependent C could be involved in this response. However, the lack of inhibitory effect of calphostin C, staurosporine and chelerythrine on the sustained contraction induced by Cch or amine in  $\text{Ca}^{2+}$ -free medium does not support the idea that PKC activation is involved in this process. Other mechanisms, probably IP<sub>3</sub> production and  $\text{Ca}^{2+}$  recycling, could be involved in the sustained response.

In summary, our results suggest that during the sustained contraction in  $\text{Ca}^{2+}$ -free medium, Cch could be mobilizing  $\text{Ca}^{2+}$  from two different sources: the CPA-sensitive from SR, a putative extracellular membrane  $\text{Ca}^{2+}$  pool sensitive to EGTA, and that this response is PKC-independent. Amine, in contrast, appears to mobilize  $\text{Ca}^{2+}$  only from extracellular pool from which entry into cells requires binding and availability of L-C  $\text{Ca}^{2+}$  channels.

**Acknowledgements** The experimental protocol was approved by our Institutional Committee and complies with the current laws of Mexico. This work was supported by grants from DGAPA-UNAM (101995), CONACYT 5076 M and PUS UNAM (394-446-17-N-3). Dr Luis M Montaño, Dr F F Daniel was supported by MRC, UK.

## References

- Baron CB, Cunningham M, Straus JE III, Coburn RF (1984) Pharmacomechanical coupling in smooth muscle may involve phosphatidylinositol metabolism. *Proc Natl Acad Sci USA* 81:6899–6903.
- Berridge MJ, Dawson RM, Downes CP, Heslop JP, Irvine RF (1983) Changes in the levels of inositol phosphates after agonist-dependent hydrolysis of membrane phosphoinositides. *Biochem J* 212:473–482.
- Bourre JP, Abela AP, Kwan CY, Daniel EE (1991) Refilling of Ach-sensitive internal  $\text{Ca}^{2+}$  store directly involves a dihydropyridine-sensitive  $\text{Ca}^{2+}$ -channel in dog trachea. *Am J Physiol* 261 (Cell Physiol 30):C497–C505.
- Cuthbert NJ, Gardner PJ, Nash K, Poll CT (1994) Roles of  $\text{Ca}^{2+}$  influx and intracellular  $\text{Ca}^{2+}$  release in agonist-induced contractions in guinea pig trachea. *Am J Physiol* 266 (Lung Cell Mol Physiol 10):L620–L627.
- Daroy PJ, Kwan CY, Daniel EE (1996) Selective inhibition of oxalate-stimulated  $\text{Ca}^{2+}$  transport by cycloniazide and thapsigargin in smooth muscle microsomes. *Can J Physiol Pharmacol* 74:182–192.
- Daroy PJ, Janssen LJ, Daniel EE (1997) Caveolae membranes from canine tracheal smooth muscle contain L-type  $\text{Ca}^{2+}$  channels but not IP<sub>3</sub> receptors. *Am J Respir Crit Care Med* 155:A609.
- Donnelly R, Yang K, Omary B, Azhar S, Black JD (1995) Expression of multiple isoforms of protein kinase C in airway smooth muscle. *Am J Respir Cell Mol Biol* 13:253–256.
- Fujimoto TS (1993) Calcium putars of the plasma membrane are localized in caveolae. *J Cell Biol* 120:1147–1157.
- Gerthoffer WT (1991) Regulation of the contractile element of airway smooth muscle. *Am J Physiol* 261 (Lung Cell Mol Physiol 5):L15–L28.
- Herzberg JM, Augereau JM, Gleye J, Maffrand JP (1990) Chelerythrine is a potent and specific inhibitor of protein kinase C. *Biochem Biophys Res Commun* 172:993–999.
- Hope HJR, Pike LJ (1996) Phosphoinositides and phosphoinositide-utilizing enzymes in detergent-insoluble lipid domains. *Mol Biol Cell* 7:843–851.
- Kageyama M, Mori T, Yanagisawa I, Taira N (1991) Is staurosporine a specific inhibitor of protein kinase C in intact porcine coronary arteries? *J Pharmacol Exp Ther* 259:1019–1026.
- Kajita T, Yamaguchi H (1993) Calcium mobilization by muscarinic cholinergic stimulation in bovine single airway smooth muscle. *Am J Physiol* 264 (Lung Cell Mol Physiol 8):L496–L503.
- Kannan MS, Davis C, Ladenus AR, Kannan L (1987) Agonist interactions at the calcium pools in skinned and unskinned canine tracheal smooth muscle. *Can J Physiol Pharmacol* 65:1780–1787.
- Kobayashi T, Nakano H, Morimoto M, Tamaoki T (1989) Calphostin C (UCN-1028C), a novel microbial compound, is a highly potent and specific inhibitor of protein kinase C. *Biochem Biophys Res Commun* 159:548–553.
- Li S, Okamoto I, Chun M, Sargiacomo M, Casanova HF, Hansen SH, Nishimura I, Lisicki MP (1995) Evidence for a regulated interaction between heterotrimeric G proteins and caveolin. *J Biol Chem* 270:15693–15701.
- Montaño LM, Jones JL, O'Byrne PM, Daniel FF (1993) Effect of ozone exposure in vivo on response of bronchial rings in vitro to  $\text{Ca}^{2+}$ . *J Appl Physiol* 75:1313–1322.
- Montaño LM, Barajas-López C, Daniel FF (1996) Canine bronchial sustained contraction in  $\text{Ca}^{2+}$ -free medium: role of intracellular C. *Can J Physiol Pharmacol* 74:1236–1248.
- Rank S, Rasmussen U (1985) Activation of tracheal smooth muscle contraction synergism between C<sub>1</sub> and activators of protein kinase C. *Proc Natl Acad Sci USA* 82:8855–8859.
- Peter U, Knappe SC, Thies B, Henke R (1996) Activation of protein kinase C accelerates contraction kinetics of a tracheal smooth muscle. *Physiol Rev* 76:R47–R52.
- Rodger JW (1985) Facilitation of contraction caused by and upon entry of  $\text{Ca}^{2+}$  in smooth muscle. *Br J Pharmacol* 85:2555–2568.

- seitt M, Savineau J-P, Creve H, Marthan R (1995) Role of protein kinase C in nonsensitized and passively sensitized human isolated bronchial smooth muscle. *Am J Physiol* 268 (Lung Cell Mol Physiol 12) L966-L975
- Six E, Mavoungou E, Naline E, Laerche H, Tordet C, Advenier C, Grandjean BM (1995) Role of 1,2-sn diacylglycerol in airway smooth muscle stimulated by carbachol. *Am J Respir Crit Care Med* 151:1745-1751
- Stgg UT, Burgess GM (1989) Staurosporine, K-252 and UCN-01 potent but nonspecific inhibitors of protein kinases. *Trends Pharmacol Sci* 10:218-220
- Suzuki JT, Oh P, Jacobson BS, Dvorak AM (1995) Caveolae from luminal plasmalemma of rat lung endothelium: microdomains enriched in caveolin,  $\text{Ca}^{2+}$ -ATPase, and inositol trisphosphate receptor. *Proc Natl Acad Sci USA* 92:1759-1763
- Teng KS, Sargiacomo M, Guibatti F, Parenti M, Lisanti MP (1997) Targeting of a G alpha subunit (G<sub>1</sub> alpha) and c-Src tyrosine kinase to caveolae membranes: clarifying the role of N-myristoylation. *Cell Mol Biol* 43:293-303
- Wang SK, Li S, Okamoto T, Quilliam LA, Sargiacomo M, Lisanti MP (1996) Co-purification and direct interaction of Ras with caveolin, an integral membrane protein of caveolae microdomains. Detergent-free purification of caveolae microdomains. *J Biol Chem* 271:9690-9697
- Yamada M, Muraki K, Imaizumi Y, Watanabe M (1992) Cyclopiazonic acid, an inhibitor of the sarcoplasmic reticulum  $\text{Ca}^{2+}$ -pump, reduces  $\text{Ca}^{2+}$ -dependent  $K^+$  currents in guinea-pig smooth muscle cells. *Br J Pharmacol* 107:134-140
- Ikuwa Y, Ikuwa N, Rasmussen H (1987) Measurement of cytosolic free  $\text{Ca}^{2+}$  concentration in bovine tracheal smooth muscle using aequorin. *Am J Physiol* 253 (Cell Physiol 22) C81-C827
- Thomas AP, Alexander J, Williamson JR (1984) Relationship between inositol polyphosphate production and the increase of cytosolic free  $\text{Ca}^{2+}$  induced by vasopressin in isolated hepatocytes. *J Biol Chem* 259:5574-5584
- Wheeler-Clark FS, Buja LM (1995) Calcium channel activation mobilizes calcium from a restricted pericellular region surrounding canine coronary artery smooth muscle cells. *J Pharmacol Exp Ther* 274:1493-1506
- Yamaguchi H, Kajita J, Madison M (1995) Isoproterenol increases peripheral  $[\text{Ca}^{2+}]_i$  and decreases inner  $[\text{Ca}^{2+}]_i$  in single airway smooth muscle cells. *Am J Physiol* 268 (Cell Physiol 37) C771-C779
- Yang CM, Choi S-P, Wang Y-Y, Hsieh J-T, Ong R (1993a) Muscarinic regulation of cytosolic free calcium in canine trachea smooth muscle cells:  $\text{Ca}^{2+}$  requirement for phospholipase C activation. *Br J Pharmacol* 110:1239-1247
- Yang CM, Yo Y-L, Wang Y-Y (1993b) Intracellular calcium in canine cultured tracheal smooth muscle cells is regulated by M3 muscarinic receptors. *Br J Pharmacol* 110:983-988

## Anexo II.

### ARTICULO:

*Sarcoplasmic reticulum  $Ca^{2+}$  depletion by caffeine and changes of  $[Ca^{2+}]_i$  during refilling in bovine smooth muscle cells.*

WITH YOUR CORRECTIONS

WITHIN 48 HOURS TO

Capital City Press

Editorial Services

Wall Street Complex

131 South Main Street

Berke, VT 05541



ELSEVIER

Archives  
of Medical  
Research

Archives of Medical Research ■■■ (2000) 1-6

## ORIGINAL ARTICLE

# Sarcoplasmic Reticulum $\text{Ca}^{2+}$ Depletion by Caffeine and Changes of $[\text{Ca}^{2+}]_i$ During Refilling in Bovine Airway Smooth Muscle Cells

Blanca Bazán-Perkins, \*.\*.\*.\*.\* ~~Edgar~~ Sánchez-Guerrero, \* Verónica Carbajal, \*.\*.\*.\* Edgar  
Carlos Barajas-López\*\*\* and Luis M. Montaño\*.\*.\*.\*

\*Departamento de Investigación en Asma, Instituto Nacional de Enfermedades Respiratorias (INER), Mexico City, Mexico

\*\*Unidad de Investigación Médica en Farmacología, Centro Médico Siglo XXI, Instituto Mexicano del Seguro Social (IMSS), Mexico City, Mexico

\*\*\*Department of Anatomy & Cell Biology, Queen's University, Kingston, Ontario, Canada

\*\*\*\*Departamento de Farmacología, Facultad de Medicina, Universidad Nacional Autónoma de México (UNAM), Mexico City, Mexico

Received for publication September 24, 1999; Accepted July 4, 2000 (99/176)

**Background.** In airway smooth muscle (ASM),  $\text{Ca}^{2+}$  influx in response to the  $\text{Ca}^{2+}$  depletion of the sarcoplasmic reticulum (SR) seems to play a rôle in the regulation of intracellular free  $\text{Ca}^{2+}$  concentrations ( $[\text{Ca}^{2+}]_i$ ). This study evaluates some possible  $\text{Ca}^{2+}$  entry pathways activated during SR- $\text{Ca}^{2+}$  depletion induced by 10 mM caffeine.

**Methods** Enzymatically dispersed bovine ASM cells were loaded with Fura-2/AM to permit measurement of  $[\text{Ca}^{2+}]_i$  changes in single cells.

**Results.** Caffeine 10 mM induced a transient increase in  $[\text{Ca}^{2+}]_i$ , that depleted SR- $\text{Ca}^{2+}$  content. After caffeine washout, a decrease in basal  $[\text{Ca}^{2+}]_i$  (undershoot) was invariably observed, followed by a slow recovery. This phenomenon was inhibited by cyclopiazonic acid (5  $\mu\text{M}$ ). External  $\text{Ca}^{2+}$  removal in depolarized and nondepolarized cells induced a decrease in basal  $[\text{Ca}^{2+}]_i$ , that continued until depletion of the SR- $\text{Ca}^{2+}$  content. The decrease in  $[\text{Ca}^{2+}]_i$ , induced by  $\text{Ca}^{2+}$ -free physiological saline solution (PSS) was accelerated in caffeine-stimulated cells. Recovery from undershoot was not observed in  $\text{Ca}^{2+}$ -free PSS. Depolarization with KCl and addition of D600 (30  $\mu\text{M}$ ) did not modify recovery. Similar results were obtained when the  $\text{Na}^+/\text{Ca}^{2+}$  exchanger was blocked by substituting NaCl with KCl in normal PSS (Na<sup>+</sup>-free PSS) or by adding benzamil amiloride (25  $\mu\text{M}$ ).

**Conclusions** SR- $\text{Ca}^{2+}$  content plays an important role in the  $\text{Ca}^{2+}$  leak induced by  $\text{Ca}^{2+}$ -free medium, and does not depend on membrane potential. Additionally, recovery from undershoot after caffeine depends on extracellular  $\text{Ca}^{2+}$ , and neither voltage-dependent  $\text{Ca}^{2+}$  channels nor the  $\text{Na}^+/\text{Ca}^{2+}$  exchanger are involved. © 2000 IMMS. Published by Elsevier Science Inc.

**Key Words:** Airway smooth muscle, Sarcoplasmic reticulum,  $\text{Ca}^{2+}$  undershoot, Caffeine.

## Introduction

A rise in intracellular free  $\text{Ca}^{2+}$  concentration ( $[\text{Ca}^{2+}]_i$ ) is an essential step for the excitation-contraction coupling of airway smooth muscle (ASM). In these cells, the sarcoplasmic reticulum (SR), which operates as a limited  $\text{Ca}^{2+}$  source, has  $\text{Ca}^{2+}$ -channels activated by inositol 1,4,5-triphosphate (1,2) or by the  $\text{Ca}^{2+}$ -induced  $\text{Ca}^{2+}$  release (CICR) mechanism (3). This  $\text{Ca}^{2+}$  release from the SR is the main source

to initiate the increase in  $[\text{Ca}^{2+}]_i$  (4). The extracellular space is an infinite  $\text{Ca}^{2+}$  source available to the cell through voltage-specific and nonspecific cation channels (5,6). Voltage-dependent L-type  $\text{Ca}^{2+}$  channels have been involved mainly in the refilling of SR  $\text{Ca}^{2+}$  stores (7,8).

In various myocytes (9-12) as well as other excitable cells (13,14), it has recently been described that cytosolic  $\text{Ca}^{2+}$  uptake by the SR- $\text{Ca}^{2+}$  pump induces an undershoot of  $\text{Ca}^{2+}$  after intracellular  $\text{Ca}^{2+}$  mobilization by caffeine, acetylcholine or noradrenaline. This phenomenon reflects the refilling of the SR.

In nonexcitable cells, after  $\text{Ca}^{2+}$  release from the cytosol to the extracellular fluid (ECF), an intracellular pathway for  $\text{Ca}^{2+}$  entry

Address reprint requests to Blanca M. Bazán-Perkins, MS, Departamento de Farmacología, Facultad de Medicina, UNAM, 04500 Mexico D.F., Mexico. Tel.: +52 55 5622 22 22. E-mail: bbazan@medicina.unam.mx

ins activated after agonist removal, as long as the ER-pools need to be refilled (15). This phenomenon supports capacitative  $\text{Ca}^{2+}$  entry theory, according to which  $\text{Ca}^{2+}$  is triggered by an unknown signal initiated by  $\text{Ca}^{2+}$  depletion (15,16). A similar phenomenon has also been seen in excitable cells including ASM cells (17,18).

We observed that in bovine ASM cells, caffeine removal caused a drop in basal  $[\text{Ca}^{2+}]_i$  (undershoot) followed by a recovery to the initial baseline. The aim of this study was to evaluate the possible  $\text{Ca}^{2+}$  entry pathways involved in  $\text{Ca}^{2+}$  undershoot.

## Materials and Methods

**Isolation procedures.** Bovine tracheas obtained from a slaughterhouse were dissected free of epithelium and connective tissue in physiological saline solution (PSS, mM): 140 NaCl, 25 NaHCO<sub>3</sub>, 4.6 KCl, 1.2 MgSO<sub>4</sub>, 1.2 KH<sub>2</sub>PO<sub>4</sub>, 1 glucose. The tissue was cut in strips (0.5 × 5 mm) using a total of 200 mg and placed in 2.5 mL of nominally  $\text{Ca}^{2+}$ -free PSS containing collagenase type D (2.6 mg/mL) elastase grade II (0.7 mg/mL) for 15 min at 37°C. Strips were transferred to a similar PSS containing fresh enzymes plus desoxyribonuclease I (1 mg/mL) until dispersed were observed. This procedure allows us to obtain cells consistent levels of resting  $[\text{Ca}^{2+}]_i$  (3). The dispersed cells were loaded with 2.5–3.5  $\mu\text{M}$  Fura-2 acetoxymethyl ester (AM) in low  $\text{Ca}^{2+}$  (0.1 mM) for 1 h at room temperature (25°C), then allowed to settle into a heated perfusion chamber with a glass cover at the bottom. This chamber was placed on a Nikon inverted microscope (Diaphot 200), and adhered to the glass were continuously perfused at a rate of 1.5 mL/min with PSS (37°C, equilibrated with 95% O<sub>2</sub>, 5% CO<sub>2</sub>, pH 7.4) containing normal  $\text{Ca}^{2+}$  (2 mM).

**Measurement of  $[\text{Ca}^{2+}]_i$ .** Fura-2/AM loaded in the myocytes was excited by alternating pulses of 340 and 380 nm

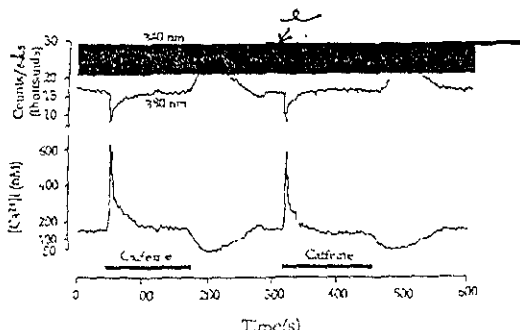
light, and emission was collected at 510 nm using a PTI microphotometer (Photon Technology International, Princeton, NJ, USA). Background fluorescence was automatically subtracted and determined by removing the cell from the field before beginning the experiments. The fluorescence acquisition rate was 0.5 s.  $[\text{Ca}^{2+}]_i$  was calculated according to the formula of Grynkiewicz and coworkers (19). The  $K_d$  of Fura-2 was assumed to be 386 nM (20). The mean 340/380 fluorescence ratios  $R_{max}$  and  $R_{min}$  were obtained by exposing the cells to 10  $\mu\text{M}$   $\text{Ca}^{2+}$  in the presence of 10  $\mu\text{M}$  ionomycin and in  $\text{Ca}^{2+}$ -free PSS with 1.11 mM ethylene glycol-bis(β-aminoethyl ether)-N,N,N',N'-tetraacetic acid (EGTA), respectively.  $R_{max}$  was 11.7, and  $R_{min}$ , 0.5. The fluorescence ratio at 380 nm light excitation in  $\text{Ca}^{2+}$ -free PSS and  $\text{Ca}^{2+}$ -saturated cells (3), was 7.5.

**Drugs.** Fura-2/AM, caffeine, carbamylcholine chloride, cyclopiazonic acid, ionomycin, methoxiverapamil hydrochloride, and benzamil amiloride were obtained from Sigma (St. Louis, MO, USA). Collagenase, elastase, and desoxyribonuclease I were obtained from Boehringer-Mannheim (Indianapolis, IN, USA). Fura-2/AM, cyclopiazonic acid, and ionomycin were dissolved in dimethylsulfoxide (final concentration, 0.025%). In control experiments, dimethylsulfoxide did not have any effect.

**Statistical analysis.** The nonpaired Student's *t*-test was used. Analysis of variance and Dunnett test for multiple comparisons was also used. Statistical significance was set at two-tailed  $p < 0.05$ . Data in the text and figures are expressed as mean ± standard error (SE).

## Results

**Effect of caffeine on bovine ASM cells.** The resting  $[\text{Ca}^{2+}]_i$  of ASM cells was  $143 \pm 8$  nM ( $n = 41$ ). The addition of caffeine (10 mM) for 2 min to the PSS resulted in a rapid increase



Changes in  $[\text{Ca}^{2+}]_i$  induced during caffeine application and without in a single bovine airway smooth muscle cell. Upper trace: 340 nm. Dashed trace is at 380 nm. Lower trace represents  $[\text{Ca}^{2+}]_i$ . First caffeine stimulation induced a transient increase in  $[\text{Ca}^{2+}]_i$  followed by  $\text{Ca}^{2+}$  undershoot. Arrows indicate the time points when the first and second responses occurred.

ED: AK  
new

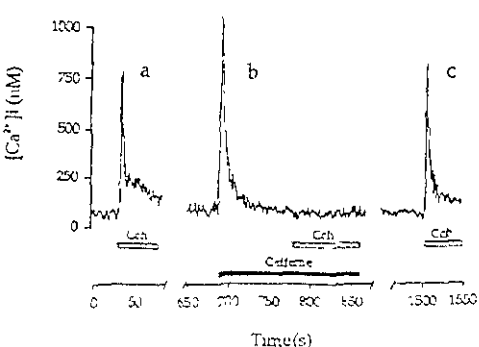
delete the whole bar

crease in  $[Ca^{2+}]_i$  ( $604 \pm 42$  nM;  $n = 41$ ). Afterward, the transient returned to a steady state at resting  $[Ca^{2+}]_i$  (Figure 1). After caffeine removal, we always observed a decrease in the basal level of  $[Ca^{2+}]_i$  ( $70 \pm 5$  nM) followed by a slow recovery (i.e., undershoot; Figure 1). This undershoot lasted  $48.8 \pm 9.2$  s. The maximum  $[Ca^{2+}]_i$  decrease was reached at  $26.0 \pm 1.7$  s. The  $[Ca^{2+}]_i$  returned to the basal level within  $122.1 \pm 9.0$  s. Once  $[Ca^{2+}]_i$  reached basal levels, a second caffeine stimulation produced a similar response as long as a 2-min recovery period was allowed (Figure 1).

Cell preincubation with CPA (5  $\mu$ M, 2 min), an inhibitor of the SR- $Ca^{2+}$  pump (21,22), completely abolished the  $Ca^{2+}$  undershoot ( $n = 15$ ) and further caffeine applications became ineffective (data not shown).

**SR- $Ca^{2+}$  content during caffeine stimulation.** To evaluate whether the SR- $Ca^{2+}$  content was depleted by caffeine, ASM cells were stimulated with carbachol during this xanthe incubation. In control experiments, carbachol (10  $\mu$ M) induced an increase in  $[Ca^{2+}]_i$  of  $627 \pm 90$  nM ( $n = 37$ ). It has previously been demonstrated that carbachol releases SR- $Ca^{2+}$  to initiate this response (4). In the presence of caffeine, carbachol addition did not induce any further response ( $n = 7$ ) (Figures 2a and b). A third carbachol stimulation after caffeine washout induced an increase in  $[Ca^{2+}]_i$  similar to the control response (Figure 2c).

It is well known that caffeine induces an increase in cAMP concentration (23) that could be responsible for its inhibitory effects on the carbachol response. To investigate this possibility, ASM cells were incubated for 2 min with forskolin (32  $\mu$ M, IC<sub>50</sub>), an adenylate cyclase activator. Forskolin reduced the transient  $Ca^{2+}$  peak induced by carbachol to  $48.64 \pm 11.24$  % ( $n = 3$ ) (data not shown), but did not abolish this response, as caffeine did (Figure 2). These results suggest that the cAMP elevation expected by the caf-



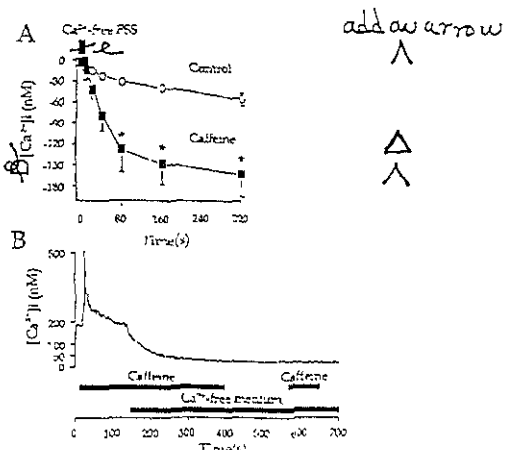
**Figure 2.** Caffeine effect on carbachol-induced the carbachol response. Carbachol (10  $\mu$ M) (Cch) was induced by carbachol (10  $\mu$ M) for 2 min before the second stimulation. Caffeine (1 mM) was applied for 2 min before the third stimulation. Cch, carbachol; Lca, lachnagogic acid.

feine treatment cannot be the only mechanism responsible for the abolishment of the carbachol response.

**Effect of  $Ca^{2+}$ -free PSS in the  $[Ca^{2+}]_i$ .** Figure 3A shows that the addition of  $Ca^{2+}$ -free PSS to nonstimulated cells leads to a lower basal  $[Ca^{2+}]_i$ , and this decrement may continue until the SR- $Ca^{2+}$  content is depleted after 10 min (data not shown). In ASM cells previously stimulated with caffeine, the removal of external  $Ca^{2+}$  induced a faster  $[Ca^{2+}]_i$  decrease compared with nonstimulated cells (Figure 3A and B). In both groups, the decrement was not modified when ASM cells were depolarized by substitution of 118 mM NaCl with 122.6 mM of KCl ( $n = 7$ ).

**Effect of extracellular  $Ca^{2+}$  on the undershoot recovery.** External  $Ca^{2+}$  removal after caffeine stimulation completely abolished the undershoot recovery ( $n = 9$ ) (Figure 4). Under this condition, the response to caffeine stimulation was significantly reduced (77.6  $\pm$  5%) compared with caffeine stimulation in normal PSS. A second caffeine stimulation did not produce any response (Figure 4). Restoration of external  $Ca^{2+}$ -containing (2 mM) PSS was followed by complete recovery of  $[Ca^{2+}]_i$  basal levels (Figure 4) and caffeine responsiveness (data not shown).

**Role of voltage-dependent  $Ca^{2+}$  channels (VDCC) and  $Na^+$ / $Ca^{2+}$  exchanger in the undershoot.** Methoxyverapamil (D600), an antagonist of VDCC, was used to evaluate



**Figure 3.** Effect of SR- $Ca^{2+}$  content during the leak induced by  $Ca^{2+}$ -free medium. (A) Temporal course of the maximum drop in  $[Ca^{2+}]_i$  in cells perfused with  $Ca^{2+}$ -free PSS without previous stimulation or SR and in cells incubated in  $Ca^{2+}$ -free PSS during caffeine stimulation (10 mM). (B) Computer recording of the SR- $Ca^{2+}$  depletion of  $Ca^{2+}$ -free PSS. Caffeine and then reduced SR- $Ca^{2+}$  depletion is shown with the arrow. \*  $p < 0.05$ ; \*\*  $p < 0.01$  (vs. control).

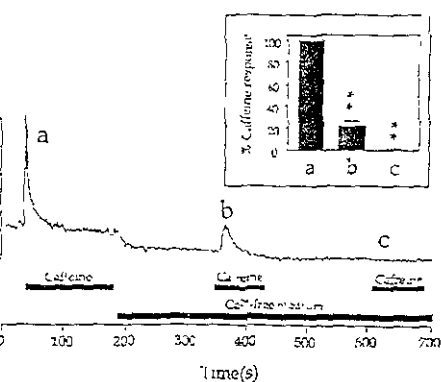


Figure 4. External  $\text{Ca}^{2+}$  removal prevents the undershoot recovery. (a)  $\text{Ca}^{2+}$ -free PSS induced a transient  $\text{Ca}^{2+}$  peak. Removal of extracellular  $\text{Ca}^{2+}$  by caffeine (10 mM) washout blocked the undershoot recovery. (b, c) The addition in  $\text{Ca}^{2+}$ -free PSS produced a smaller response, and a second stimulation did not produce any effect. The inset corresponds to the sum response induced by caffeine observed in a, b, and c ( $p < 0.001$ ).

ther the  $\text{Ca}^{2+}$  entry pathway during undershoot and recovery could occur through these channels. We noticed that total duration (drop and recovery) of the  $\text{Ca}^{2+}$  undershoot elicited by caffeine was not modified by D600 (30  $\mu\text{M}$ ;  $n = 8$ ) (Table 1). Substitution of 118 mM NaCl in normal PSS by 122.6 mM of KCl to induce inactivation of C by long-lasting depolarization and inversion of the  $\text{Ca}^{2+}$  exchanger did not modify the  $\text{Ca}^{2+}$  undershoot (4). Moreover, benzamil amiloride, (25  $\mu\text{M}$ ), an  $\text{Na}^+$ /exchanger blocker, added for 8 min in normal PSS did not affect the  $\text{Ca}^{2+}$  undershoot ( $n = 8$ ) (Table 1). Benzamil amiloride concentration was enough to inverse  $\text{Na}^+/\text{Ca}^{2+}$  exchanger reversal response induced by using NaCl with 143 mM of choline chloride ( $n = 4$ ); 5).

## Sision

In present experiments with ASM cells, we observed that caffeine induced a transient rise in  $[\text{Ca}^{2+}]_c$ , which rapidly

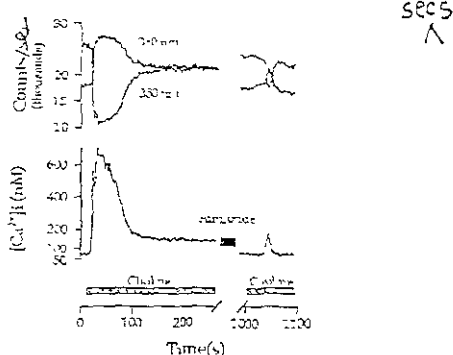


Figure 5. Typical recording of the effect of benzamil amiloride on the  $[\text{Ca}^{2+}]_c$  changes induced by the reversal mode of the  $\text{Na}^+/\text{Ca}^{2+}$  exchanger.  $\text{Na}^+$  bars show the substitution of 118 mM NaCl with choline chloride (143 mM) in normal PSS. Closed bar represents 8-min incubation with benzamil amiloride (25  $\mu\text{M}$ ), which nearly blocked the response to choline chloride.

returned to the initial baseline. The transient  $\text{Ca}^{2+}$  peak has been explained as an increase in the  $\text{Ca}^{2+}$  sensitivity of the CICR channels, i.e.,  $[\text{Ca}^{2+}]_c$  basal levels are sufficient to induce channel opening (10,24). Once caffeine was removed, an abrupt drop in  $[\text{Ca}^{2+}]_c$  (undershoot) was observed.

The  $\text{Ca}^{2+}$  undershoot has been documented in bullfrog sympathetic ganglia (13), in rat vascular and ventricular myocytes (10), and in guinea pig myenteric neurons (14), urinary bladder (11,12), and tracheal smooth muscle cells (9). Most of these authors concluded that this abrupt drop in  $[\text{Ca}^{2+}]_c$  is due to  $\text{Ca}^{2+}$  uptake by the empty SR (9–11,13). Our results are in agreement with this interpretation in that the undershoot was completely abolished by CPA.

The second component of the undershoot was the slow cytosolic  $\text{Ca}^{2+}$  recovery to baseline after the sudden drop in  $[\text{Ca}^{2+}]_c$ . It has been suggested that SR serves as a superficial buffer barrier (SBB) for the deeper myoplasm (25). In this model,  $\text{Ca}^{2+}$  reaches the subplasmalemmal space before it can diffuse and raise cytosolic  $\text{Ca}^{2+}$  in the deeper myoplasm. This hypothesis predicts that SR- $\text{Ca}^{2+}$  depletion produces a delay between the rise of  $[\text{Ca}^{2+}]_c$  and force development.

## Effect of voltage-operated $\text{Ca}^{2+}$ channels and $\text{Na}^+/\text{Ca}^{2+}$ exchanger in the $\text{Ca}^{2+}$ undershoot after caffeine withdrawal

	Control	D6000 30 $\mu\text{M}$	Benzamil amiloride 25 $\mu\text{M}$	Control	Substitution of NaCl by KCl
Time course of the undershoot (seconds)					
DoS	148.5 $\pm$ 15.4	171.0 $\pm$ 34.8	157.9 $\pm$ 41.3	140.0 $\pm$ 12.2	120.8 $\pm$ 6.6
II	22.5 $\pm$ 3.1	35.5 $\pm$ 7.3	16.1 $\pm$ 3.4	25.8 $\pm$ 2.1	20.0 $\pm$ 3.0
V	12.0 $\pm$ 1.3	13.7.0 $\pm$ 3.5	141.8 $\pm$ 40.4	133.6 $\pm$ 47.7	97.6 $\pm$ 8.3
Amplitude (electrode)	13.0 $\pm$ 2.0	6.7 $\pm$ 2.0	8.0 $\pm$ 1.0	8.0 $\pm$ 1.0	10.1 $\pm$ 2.2
$\text{Ca}^{2+}$ (nM)	120 $\pm$ 10	120 $\pm$ 10	120 $\pm$ 10	120 $\pm$ 10	120 $\pm$ 10

Justify

rule  
add  
5, #

ment (26). The SBB hypothesis may thus explain the slow rise in cytosolic  $\text{Ca}^{2+}$  during undershoot recovery, because the SR could be buffering the  $\text{Ca}^{2+}$  influx before it reaches the deeper myoplasm.

Our experiments in  $\text{Ca}^{2+}$ -free PSS showed that external  $\text{Ca}^{2+}$  removal leads to a slow but continuous decrement of baseline  $[\text{Ca}^{2+}]_i$ , until SR- $\text{Ca}^{2+}$  depletion is reached after 10 min. Such an observation was similar in both depolarized and nondepolarized cells, indicating that in these cells, the substantial  $\text{Ca}^{2+}$  leak does not depend on membrane potential. However, this  $\text{Ca}^{2+}$  leak seems to be more evident when SR- $\text{Ca}^{2+}$  stores were previously depleted by caffeine. One possible explanation for this phenomenon could be that in nondepleted cells, SR- $\text{Ca}^{2+}$  content is buffering the cytosolic  $\text{Ca}^{2+}$ , preventing a sudden drop in  $[\text{Ca}^{2+}]_i$ . Additionally, we observed that the  $\text{Ca}^{2+}$  source during undershoot recovery is mainly extracellular, because the undershoot recovery was abolished under  $\text{Ca}^{2+}$ -free conditions.

VDCC in ASM cells are one of the main  $\text{Ca}^{2+}$  entry pathways (27). In canine ASM, Bourreau and coworkers (7) reported that, during acetylcholine stimulation, a direct pathway occurs to allow SR- $\text{Ca}^{2+}$  refilling through L-type  $\text{Ca}^{2+}$  channels. Recently, on studying the same species, Janssen et al. (28) found that, during caffeine stimulation, there is an increase in subsarcolemmal  $[\text{Ca}^{2+}]_i$ , and membrane current activity, such as  $\text{Ca}^{2+}$ -dependent  $\text{Cl}^-$  and  $\text{K}^+$  currents, without activating VDCC. They also found that acetylcholine activates all previous mechanisms induced by caffeine, including VDCC.

Our results in bovine-isolated ASM cells suggest that VDCC are not involved, at least in SR- $\text{Ca}^{2+}$  refilling induced by caffeine depletion, because neither D-600 nor membrane depolarization by KCl changed the undershoot recovery. Why VDCC are not activated by caffeine is still unknown, and requires further investigation.

In excitable cells, the  $\text{Na}^+/\text{Ca}^{2+}$  exchanger has been implicated in cytoplasmic  $\text{Ca}^{2+}$  regulation in the subplasmalemmal space, inducing  $\text{Ca}^{2+}$  extrusion to maintain the  $\text{Ca}^{2+}$  homeostasis in this area (25), although the role of this extrusion mechanism in ASM cells is questioned by other researchers (27,29). In this context, the  $\text{Na}^+/\text{Ca}^{2+}$  exchanger inhibition with benzamil amiloride or reversal of the  $\text{Na}^+/\text{Ca}^{2+}$  exchanger by substituting  $\text{NaCl}$  with KCl did not modify the mechanisms involved in the undershoot recovery.

In nonexcitable cells, Putney (15) postulated a capacitative  $\text{Ca}^{2+}$  entry theory that suggests a mechanism that senses the  $\text{Ca}^{2+}$  content in the ER and generates a signal to activate  $\text{Ca}^{2+}$  influx after depletion. This unique  $\text{Ca}^{2+}$  entry pathway is only activated when ER- $\text{Ca}^{2+}$  stores are empty, and is functionally inactive when these stores are full. After emptying the intracellular stores from rat ileum smooth muscle (17) and human tracheal smooth muscle (18), a long-lasting cytosolic  $\text{Ca}^{2+}$  elevation and  $\text{Ca}^{2+}$  influx was observed in agreement with the capacitative  $\text{Ca}^{2+}$  entry theory. In our experiments with caffeine, we observed a complete

SR- $\text{Ca}^{2+}$  depletion; thus, it may be possible that a capacitative  $\text{Ca}^{2+}$  entry is involved in the undershoot recovery. However, further experiments are required to corroborate this hypothesis.

In conclusion, we observed that SR- $\text{Ca}^{2+}$  content plays an important role during the  $\text{Ca}^{2+}$  leak observed in  $\text{Ca}^{2+}$ -free medium, and does not depend on membrane potential. We additionally observed that recovery from undershoot after caffeine washout depends on extracellular  $\text{Ca}^{2+}$ , and that neither VDCC nor the  $\text{Na}^+/\text{Ca}^{2+}$  exchanger are involved. Finally, we observed that  $\text{Ca}^{2+}$  undershoot after caffeine removal appears to be a useful phenomenon to study some of the mechanisms involved in the regulation of  $[\text{Ca}^{2+}]_i$  by the SR.

#### Acknowledgments

The authors would also like to thank Dr. Bertina Sommer for her assistance in the English language, and Mr. E. Torres for technical assistance. This study was supported by grants from DGAPA, UNAM (No. IN202999), and PUIIS-UNAM (No. 394-446 17-X-94) to L. M.

Dr. Luis M.

#### References

- Baron CB, Cunningham M, Straub RF. Pharmacomechanical coupling in smooth muscle may involve phosphatidylinositol metabolism. *Proc Natl Acad Sci USA* 1984;81:6899.
- Bazán-Perkins B, Carballo V, Sommer B, Macías-Silva M, Gozález-Martínez M, Valenzuela F, Daniel EE, Moncayo LM. Involvement of different  $\text{Ca}^{2+}$  pools during the canine bronchial sustained contraction in  $\text{Ca}^{2+}$ -free medium: lack of effect of PKC inhibition. *Nauoy Schmidberger Arch Pharmacol* 1998;358:567.
- Yamaguchi H, Kajita J, Madison M. Isoproterenol increases peripheral  $[\text{Ca}^{2+}]_i$  and decreases  $[\text{Ca}^{2+}]_i$  in single airway smooth muscle cells. *Am J Physiol* 1995;268(Cell Physiol 37) C771.
- Wang Y-X, Fleischmann BK, Kotlikoff MI. M<sub>2</sub> receptor activation of nonselective cation channels in smooth muscle cells: calcium and G<sub>i</sub>/G<sub>o</sub> requirements. *Am J Physiol* 1997;273(Cell Physiol 42) C500.
- Kotlikoff MI. Calcium currents in isolated canine airway smooth muscle cells. *Am J Physiol* 1988;254(Cell Physiol 23) C793.
- Cuthbert NJ, Gardner PJ, Nash K, Poll CT. Roles of  $\text{Ca}^{2+}$  influx and intracellular  $\text{Ca}^{2+}$  release in agonist-induced contractions in guinea pig trachea. *Am J Physiol* 1994;266(Lung Cell Mol Physiol 10) L620.
- Bourreau J-P, Abela AP, Kwan CY, Daniel EE. Acetylcholine  $\text{Ca}^{2+}$  stores refilling directly involves a dihydropyridine-sensitive channel in dog trachea. *Am J Physiol* 1991;261(Cell Physiol 30) C497.
- Moncayo LM, Barajas-López C, Daniel EE. Canine bronchial sustained contraction in  $\text{Ca}^{2+}$ -free medium: role of intracellular  $\text{Ca}^{2+}$ . *Can J Physiol Pharmacol* 1996;74:1236.
- Sims MS, Jiao Y, Zheng ZG. Intracellular calcium stores in isolated tracheal smooth muscle cells. *Am J Physiol* 1996;271(Lung Cell Mol Physiol 15) L300.
- Baró I, O'Neill SC, Eisner DA. Changes of intracellular  $[\text{Ca}^{2+}]_i$  during refilling of sarcoplasmic reticulum in rat ventricular and vascular smooth muscle. *J Physiol (Lond)* 1993;493:21.
- Gantkevitch V, Isenberg G. Caffeine-induced release and reuptake of  $\text{Ca}^{2+}$  by  $\text{Ca}^{2+}$  stores in myocytes from guinea pig urinary bladder. *J Physiol (Lond)* 1992;489:99.
- Yoshikawa A, via Brzezina C, Isenberg G. Buffering of phosphate-activated  $\text{Ca}^{2+}$  entry by sarcoplasmic reticulum of guinea pig atrial myocardium. *Am J Physiol* 1996;271(Cell Physiol 40) C522.

- DD, Tsien RW. A caffeine- and ryanodine-sensitive  $\text{Ca}^{2+}$  store in rat sympathetic neurons modulates effects of  $\text{Ca}^{2+}$  entry on  $\text{K}^+$  current. *J Physiol* 1992;450:217.
- all BC, Yule DI, Mulholland MW. Caffeine- and ryanodine-sensitive  $\text{Ca}^{2+}$  stores in cultured guinea pig myenteric neurons. *Am J Physiol* 1996;270(Gastrointest Liver Physiol 33):G594.
- y JW Jr. A model for receptor-regulated calcium entry. *Cell Calcium* 1986;7:1.
- y JW Jr. General aspects of calcium signalling. In: Molecular Biology of the Cell. 4th ed. New York: Garland Publishing; 1999. p. 1-2.
- T, Kawai K, Ito S, Nakazato Y.  $\text{Ca}^{2+}$  entry activated by emptying sarcoplasmic  $\text{Ca}^{2+}$  stores in ileal smooth muscle of the rat. *Br J Pharmacol* 1995;114:1165.
- ni Y, Magnier C, Enouf J, Wuytack F, Brooker C.  $\text{Ca}^{2+}$  increase in  $\text{Ca}^{2+}$ -influx in human tracheal smooth muscle cells: role of  $\text{Ca}^{2+}$  controlled by sarco-endoplasmic reticulum  $\text{Ca}^{2+}$ -ATPase 2 isoforms. *Br J Pharmacol* 1995;115:1205.
- kiewicz G, Poenie M, Tsien RY. A new generation of  $\text{Ca}^{2+}$  indicators with greatly improved fluorescence properties. *J Biol Chem* 1990;260:3440.
- J, Yamaguchi H. Calcium mobilization by muscarinic cholinergic stimulation in bovine single airway smooth muscle. *Am J Physiol* 1994;266(Lung Cell Mol Physiol 8):L496.
- i M, Muraki K, Imaizumi Y, Watanabe M. Cyclopiazonic acid, inhibitor of the sarcoplasmic reticulum  $\text{Ca}^{2+}$ -pump, reduces  $\text{Ca}^{2+}$ -dependent  $\text{K}^+$  currents in guinea-pig smooth muscle cells. *Br J Pharmacol* 1992;107:134.
22. Plenge-Tellechea F, Soler F, Fernandez-Belda F. On the inhibitory mechanism of sarcoplasmic or endoplasmic reticulum  $\text{Ca}^{2+}$ -ATPases by cyclopiazonic acid. *J Biol Chem* 1997;272(5):2794.
23. Watanabe C, Yamamoto H, Hirado K, Kobayashi S, Kanade H. Mechanisms of caffeine-induced contraction and relaxation of rat aortic smooth muscle. *J Physiol* 1992;456:193.
24. Pessah IN, Stambuk RA, Casida JE.  $\text{Ca}^{2+}$ -activated ryanodine binding: mechanisms of sensitivity and intensity modulation by  $\text{Mg}^{2+}$ , caffeine and adenosine nucleotides. *Mol Pharmacol* 1987;31:232.
25. Van Breemen C, Chen Q, Laher I. Superficial buffer function of smooth muscle sarcoplasmic reticulum. *Trends in Pharmacol Sci* 1995;16:98.
26. Chen Q, Cannell M, van Breemen C. The superficial buffer barrier in vascular smooth muscle. *Can J Physiol Pharmacol* 1992;70:509.
27. Janssen LJ, Walters DK, Watie J. Regulation of  $[\text{Ca}^{2+}]_i$  in canine airway smooth muscle by  $\text{Ca}^{2+}$ -ATPase and  $\text{Na}^{+}/\text{Ca}^{2+}$  exchange mechanisms. *Am J Physiol* 1997;273(Lung Cell Mol Physiol 17):L322.
28. Janssen LJ, Bett PA, Netherton SJ, Walters DK. Superficial buffer barrier and preferentially directed release of  $\text{Ca}^{2+}$  in canine airway smooth muscle. *Am J Physiol* 1999;276(Lung Cell Mol Physiol 20):C744.
29. Fleschmann BK, Wang Y-X, Pring M, Kodikoff MI. Voltage-dependent calcium currents and cytosolic calcium in equine airway microcytes. *J Physiol* 1995;492(2):347.